



การทดลองสมรรถนะของโซลาร์เซลล์ที่แสงอาทิตย์ความเข้มข้นสูง

EXPERIMENTAL PERFORMANCE ASSESSMENT OF SOLAR CELLS USING
HIGHLY CONCENTRATED SOLAR ENERGY

พลพีร์ คงพินิจ

PONLAPEE KONGPINIT

ศิวกร วงศ์ช่วยสุข

SIVAKORN WONGCHUAYSUK

ปริญญาานิพนธ์นี้เป็นส่วนหนึ่งของการศึกษาตามหลักสูตรปริญญาวิศวกรรมศาสตรบัณฑิต

หลักสูตรวิศวกรรมเครื่องกลเกษตรและอาหาร

ภาควิชาวิศวกรรมศาสตร์

สถาบันเทคโนโลยีพระจอมเกล้าเจ้าคุณทหารลาดกระบัง

วิทยาเขตชุมพรเขตรอุดมศักดิ์ จังหวัดชุมพร

ปีการศึกษา 2565

เอกสารนี้เป็นเอกสารที่สงวนไว้สำหรับการใช้งานเพื่อการศึกษาเท่านั้น ไม่อนุญาตให้นำไปใช้ประโยชน์ด้านการค้า
ไม่ว่ากรณีใดๆ ทั้งสิ้น อีกทั้งห้ามมิให้ตัดแปลงเนื้อหาและต้องอ้างอิงถึงเจ้าของเอกสารทุกครั้งที่มีการนำไปใช้

การทดลองสมรรถนะของโซลาร์เซลล์ที่แสงอาทิตย์ความเข้มข้นสูง
EXPERIMENTAL PERFORMANCE ASSESSMENT OF SOLAR CELLS USING
HIGHLY CONCENTRATED SOLAR ENERGY



พลพีร์ คงพินิจ
PONLAPEE KONGPINIT
ศิวกร วงศ์ช่วยสุข
SIVAKORN WONGCHUAYSUK

ปริญญานิพนธ์นี้เป็นส่วนหนึ่งของการศึกษาตามหลักสูตรปริญญาวิศวกรรมศาสตรบัณฑิต
หลักสูตรวิศวกรรมเครื่องกลเกษตรและอาหาร
ภาควิชาวิศวกรรมศาสตร์
สถาบันเทคโนโลยีพระจอมเกล้าเจ้าคุณทหารลาดกระบัง
วิทยาเขตชุมพรเขตรอุดมศักดิ์ จังหวัดชุมพร
ปีการศึกษา 2565

เอกสารนี้เป็นเอกสารที่สงวนไว้สำหรับการใช้งานเพื่อการศึกษาเท่านั้น ไม่อนุญาตให้นำไปใช้ประโยชน์ด้านการค้า
ไม่ว่ากรณีใดๆ ทั้งสิ้น อีกทั้งห้ามมิให้ตัดแปลงเนื้อหาและต้องอ้างอิงถึงเจ้าของเอกสารทุกครั้งที่มีการนำไปใช้

EXPERIMENTAL PERFORMANCE ASSESSMENT OF SOLAR CELLS USING
HIGHLY CONCENTRATED SOLAR ENERGY



PONLAPEE KONGPINIT
SIVAKORN WONGCHUAYSUK

A PROJECT SUBMITTED IN PARTIAL FULFILLMENT OF THE REQUIREMENT
FOR THE DEGREE OF BACHELOR OF ENGINEERING IN AGRICULTURAL ENGINEERING
DEPARTMENT OF ENGINEERING
KING MONGKUT'S INSTITUTE OF TECHNOLOGY LADKRABANG
PRINCE OF CHUMPHON

2022

เอกสารนี้เป็นเอกสารที่สงวนไว้สำหรับการใช้งานเพื่อการศึกษาเท่านั้น ไม่อนุญาตให้นำไปใช้ประโยชน์ด้านการค้า
ไม่ว่ากรณีใดๆ ทั้งสิ้น อีกทั้งห้ามมิให้ตัดแปลงเนื้อหาและต้องอ้างอิงถึงเจ้าของเอกสารทุกครั้งที่มีการนำไปใช้



COPYRIGHT 2023

DEPARTMENT OF ENGINEERING

KING MONGKUT'S INSTITUTE OF TECHNOLOGY LADKRABANG

PRINCE OF CHUMPHON

เอกสารนี้เป็นเอกสารที่สงวนไว้สำหรับการใช้งานเพื่อการศึกษาเท่านั้น ไม่อนุญาตให้นำไปใช้ประโยชน์ด้านการค้า
ไม่ว่ากรณีใดๆ ทั้งสิ้น อีกทั้งห้ามมิให้ตัดแปลงเนื้อหาและต้องอ้างอิงถึงเจ้าของเอกสารทุกครั้งที่มีการนำไปใช้

ภาควิชาวิศวกรรมศาสตร์
สถาบันเทคโนโลยีพระจอมเกล้าเจ้าคุณทหารลาดกระบัง
วิทยาเขตชุมพรเขตรอุดมศักดิ์ จังหวัดชุมพร
ใบรับรองปริญญาานิพนธ์

หัวข้อปริญญาานิพนธ์ การทดลองสมรรถนะของโซลาร์เซลล์ที่แสงอาทิตย์ความเข้มข้นสูง
PROJECT TITLE Experimental performance assessment of Solar cells
using highly concentrated solar energy
ชื่อนักศึกษา นายพลพีร์ คงพินิจ รหัสประจำตัว 62201119
นายศิวกร วงศ์ช่วยสุข รหัสประจำตัว 62201121
ปริญญา วิศวกรรมศาสตรบัณฑิต
สาขาวิชา วิศวกรรมเครื่องกลเกษตรและอาหาร
อาจารย์ที่ปรึกษา ผศ.ดร.ศรียรัตน์ ช่วยบุญ
ปริญญาานิพนธ์

คณะกรรมการสอบปริญญาานิพนธ์			ลายมือชื่อ
ผศ.ดร.ปราโมทย์ กุศล	กรรมการสอบ		
ผศ.ดร.นารัตระพี นาคะวัจนะ	กรรมการสอบ		
รศ.ดร. ปัญญา แดงวิไลลักษณ์	กรรมการสอบ		
ดร.วิสิทธิ์ เอกวานิช	กรรมการสอบ		วิสิทธิ์ เอกวานิช
ผศ.ดร.ศรียรัตน์ ช่วยบุญ	อาจารย์ที่ปรึกษา		

วัน/เดือน/ปี ที่สอบ วันที่ 11 มิถุนายน พ.ศ. 2566 เวลา 11.00 น.

สถานที่สอบ ณ ห้องประชุมออนไลน์

ภาควิชาวิศวกรรมศาสตร์ รับรองแล้ว

(ผู้ช่วยศาสตราจารย์ ดร.ณัฐพงศ์ รัตนเดช)

หัวหน้าภาควิชาวิศวกรรมศาสตร์

วันที่ 11 มิถุนายน พ.ศ. 2566

เอกสารนี้เป็นเอกสารที่สงวนไว้สำหรับการใช้งานเพื่อการศึกษาเท่านั้น ไม่อนุญาตให้นำไปใช้ประโยชน์ด้านการค้า
ไม่ว่ากรณีใดๆ ทั้งสิ้น อีกทั้งห้ามมิให้ตัดแปลงเนื้อหาและต้องอ้างอิงถึงเจ้าของเอกสารทุกครั้งที่มีการนำไปใช้

ชื่อนักศึกษา	นายพลพีร์ คงพินิจ	รหัสประจำตัว 62201119
	นายศิวกร วงศ์ช่วยสุข	รหัสประจำตัว 62201121
ปริญญา	วิศวกรรมศาสตรบัณฑิต	
สาขาวิชา	วิศวกรรมเครื่องกลเกษตรและอาหาร	
อาจารย์ที่ปรึกษา	ผศ.ดร.ศรียรัตน์ ช่วยบุญ	
ปริญญานิพนธ์		

บทคัดย่อ

งานวิจัยนี้เป็นการทดลองเกี่ยวกับประสิทธิภาพการผลิตกระแสไฟฟ้าของโซลาร์เซลล์ที่มีการรวมความเข้มของรังสีที่สะท้อนจากเฮลิโอสแตท แสงที่สะท้อนจะผ่านการรวมแสงของเลนส์เฟรสเนล ความเข้มแสงที่ผ่านการรวมแสงจะตกกระทบบนพื้นผิวของแผงโซลาร์เซลล์ โดยจะทดลองเปรียบเทียบกันระหว่างโซลาร์เซลล์ที่แสงอาทิตย์ที่ความเข้มขั้นสูงและโซลาร์เซลล์ที่แสงอาทิตย์ที่ความเข้มขั้นปกติ พิจารณาจากเพาเวอร์เอาต์พุตและพลังงานความเข้มของรังสีแสงอาทิตย์ที่ตกกระทบบนพื้นผิวของโซลาร์เซลล์ ซึ่งผลการทดลองพบว่าเพาเวอร์เอาต์พุต และความเข้มของรังสีแสงอาทิตย์ที่ตกกระทบบนพื้นผิวของโซลาร์เซลล์ที่แสงอาทิตย์ที่ความเข้มขั้นสูงและโซลาร์เซลล์ที่แสงอาทิตย์ที่ความเข้มขั้นปกติมีความแตกต่างกัน สิ่งสำคัญที่เป็นผลให้เพาเวอร์เอาต์พุต และความเข้มของรังสีแสงอาทิตย์เพิ่มหรือลดลงมีอยู่หลายปัจจัย เช่น สภาพอากาศ ระยะห่างระหว่างเลนส์รวมแสงถึงโซลาร์เซลล์ อุณหภูมิบนพื้นผิวของโซลาร์เซลล์

Project Title	Experimental performance assessment of Solar cells using highly concentrated solar energy	
Student	Mr. Ponlapee Kongpinit	Student ID 62201119
	Mr. Sivakorn Wongchuaysuk	Student ID 62201121
Degree	Bachelor of Engineering	
Program	Agricultural Engineering	
Project Advisor	Assoc.Prof.Dr. Srirat Chuayboon	

ABSTRACT

This research is a study on the power efficiency of solar cells, combined with the intensity of radiation reflected by solar cells. Reflective light passes through a concentration lens. The intensity of the light passing through the suit drops to the surface of the solar panel. The experiment compares high-concentration solar cells with normal-concentration solar cells. Considering the output power and energy, the intensity of solar radiation on the surface of solar cells. Research results show that the strength and intensity of solar radiation in high-concentration and normal concentration solar cells are different. There are major factors that increase or decrease the power and intensity of solar radiation, including weather conditions, distance from lenses, including sunlight with solar cells, surface temperature on solar cells.

กิตติกรรมประกาศ

ปริญญาโทฉบับนี้ได้มีการเรียบเรียงความรู้และโครงการวิจัยซึ่งเกี่ยวข้องกับการทดลองสมรรถนะของโซล่าเซลล์ที่แสงอาทิตย์ความเข้มข้นสูงสำเร็จลุล่วงได้ด้วยความรู้จาก ผศ.ดร.ศรียรัตน์ ช่วยบุญ อาจารย์ที่ปรึกษาปริญญาโทฉบับนี้ ที่ให้คำปรึกษา คำแนะนำติดตาม ใ้แนวคิดตลอดซึ่งความรู้ต่างๆ ตลอดจนขั้นตอนและวิธีการในการทำปริญญาโทฉบับนี้

ขอขอบพระคุณครุคณาจารย์ทุกท่าน ที่คอยชี้แนะ สอนสั่งตลอดคณะผู้จัดทำจนสำเร็จการศึกษา

ขอขอบคุณ บิดาแลมารดา ผู้มีพระคุณและเป็นที่เคารพรัก ที่คอยให้การสนับสนุนและกำลังใจและอบรมสั่งสอนแก่คณะผู้จัดทำเสมอคณะผู้จัดทำขอกราบขอบพระคุณเป็นอย่างสูง

ขอขอบคุณ พี่ๆ เพื่อนๆ นักศึกษาที่คอยช่วยเหลือแนะนำและสนับสนุนในทุกๆ ด้าน รวมถึงกำลังใจซึ่งทำให้โครงการชิ้นนี้ลุล่วง คณะผู้จัดทำหวังว่าปริญญาโทฉบับนี้จะมีประโยชน์ไม่มากนัก้อยต่อผู้ที่สนใจศึกษาเกี่ยวกับสมรรถนะของโซล่าเซลล์ที่แสงอาทิตย์ความเข้มข้นสูง คุณค่าความรู้จากการเรียบเรียงปริญญาโทฉบับนี้ คณะผู้จัดทำขอขอบแต่ผู้มีพระคุณทุกท่าน

นายพลพีร์ คงพินิจ

นายศิวกร วงศ์ช่วยสุข

11 มิถุนายน 2566

สารบัญ

	หน้า
บทคัดย่อภาษาไทย	I
บทคัดย่อภาษาอังกฤษ	II
กิตติกรรมประกาศ	III
สารบัญ	IV
สารบัญรูป	VI
บทที่ 1 บทนำ	1
1.1 ที่มาและความสำคัญ	1
1.2 วัตถุประสงค์ของโครงการ	1
1.3 ขอบเขตของโครงการ	1
1.4 ขั้นตอนการดำเนินการ	2
1.5 ประโยชน์ที่คาดว่าจะได้รับ	2
บทที่ 2 ทฤษฎีและงานวิจัยที่เกี่ยวข้อง	3
2.1 ดวงอาทิตย์	3
2.1.1 พลังงานแสงอาทิตย์	3
2.1.2 พลังงานแสงอาทิตย์ในประเทศไทย	3
2.1.3 สเปกตรัมของแสงอาทิตย์	4
2.1.4 รังสีหรือการแผ่รังสี	6
2.2 การผลิตไฟฟ้าด้วยเซลล์แสงอาทิตย์	8
2.3 เซลล์สุริยะหรือเซลล์แสงอาทิตย์	10
2.3.1 ประเภทของเซลล์แสงอาทิตย์	11
2.3.2 ปัจจัยที่ส่งผลต่อประสิทธิภาพของแผงเซลล์แสงอาทิตย์	12
2.4 อินเวอร์เตอร์	13
2.5 แบตเตอรี่	14
2.6 เทคโนโลยีผลิตไฟฟ้าด้วยระบบรวมแสงอาทิตย์	15
บทที่ 3 อุปกรณ์และวิธีการทดลอง	17
3.1 บล็อกไดอะแกรม	17
3.1.1 บล็อกไดอะแกรมระบบการทดลองสมรรถนะของโซลาร์เซลล์ที่แสงอาทิตย์ที่	17
ความเข้มข้นสูง	
3.1.2 บล็อกไดอะแกรมระบบการทดลองสมรรถนะของโซลาร์เซลล์ที่แสงอาทิตย์ที่	18
ความเข้มข้นปกติ	

เอกสารนี้เป็นเอกสารที่สงวนไว้สำหรับการใช้งานเพื่อการศึกษาเท่านั้น ไม่อนุญาตให้นำไปใช้ประโยชน์ด้านการค้า
ไม่ว่ากรณีใดๆ ทั้งสิ้น อีกทั้งห้ามมิให้ตัดแปลงเนื้อหาและต้องอ้างอิงถึงเจ้าของเอกสารทุกครั้งที่มีการนำไปใช้

สารบัญ (ต่อ)

	หน้า
3.2 วัสดุและอุปกรณ์	18
3.3 วิธีการทดลอง	22
3.3.1 วิธีการทดลองระยะห่างระหว่างเลนส์รวมแสงกับโซล่าเซลล์ในการทดลอง การรวมแสง	22
3.3.2 วิธีการทดลองสมรรถนะของโซล่าเซลล์ที่แสงอาทิตย์ความเข้มข้นสูง	23
3.3.3 วิธีการทดลองสมรรถนะของโซล่าเซลล์ที่แสงอาทิตย์ความเข้มข้นปกติ	24
บทที่ 4 ผลการทดลองและวิเคราะห์ผล	25
4.1 ผลการทดลอง	25
4.1.1 ผลการทดลองแสดงการเปรียบเทียบค่าความสัมพันธ์ของการทดลองรวมแสง ของการทดลองในวันที่ 21 พฤษภาคม 2566	25
4.1.2 ผลการทดลองแสดงการเปรียบเทียบค่าความสัมพันธ์ของการทดลองรวมแสง ของการทดลองในวันที่ 24 พฤษภาคม 2566	28
4.1.3 ผลการทดลองแสดงการเปรียบเทียบค่าความสัมพันธ์ของการทดลองรวมแสง ของการทดลองในวันที่ 25 พฤษภาคม 2566	30
4.1.4 ผลการทดลองแสดงการเปรียบเทียบค่าความสัมพันธ์ของการทดลองรวมแสง ของการทดลองในวันที่ 26 พฤษภาคม 2566	32
4.1.5 ผลการทดลองแสดงการเปรียบเทียบค่าความสัมพันธ์ของการทดลองรวมแสง ของการทดลองในวันที่ 29 พฤษภาคม 2566	35
4.1.6 ผลการทดลองแสดงการเปรียบเทียบค่าความสัมพันธ์ของการทดลองรวมแสง ของการทดลองในวันที่ 02 มิถุนายน 2566	37
บทที่ 5 สรุปผลและข้อเสนอแนะ	41
5.1 สรุปผลการทดลอง	41
5.2 ข้อเสนอแนะ	42
เอกสารอ้างอิง	43
ภาคผนวก	45
ภาคผนวก ก ข้อมูลทางเทคนิค	45
ภาคผนวก ข ตารางบันทึกผล	51
ประวัติผู้จัดทำ	67

สารบัญรูป

รูปที่		หน้า
2.1	โรงผลิตกระแสไฟฟ้าจากพลังงานแสงอาทิตย์ของประเทศไทย	4
2.2	พลังงานแสงอาทิตย์ของประเทศไทย	4
2.3	สเปกตรัมของแสงอาทิตย์	5
2.4	การแผ่รังสีจากดวงอาทิตย์สู่พื้นผิวโลก	5
2.5	รังสีแสงอาทิตย์	7
2.6	มุมอะซิมุท มุมอัลติจูด มุมเซนิท	8
2.7	ระบบผลิตกระแสไฟฟ้าเซลล์แสงอาทิตย์แบบอิสระ (แบบจ่ายโหลดโดยตรง)	8
2.8	ระบบผลิตกระแสไฟฟ้าเซลล์แสงอาทิตย์แบบอิสระ (ทำงานร่วมกับแบตเตอรี่)	9
2.9	ระบบผลิตไฟฟ้าเซลล์แสงอาทิตย์แบบต่อกับระบบจำหน่ายไฟฟ้า	9
2.10	ระบบผลิตกระแสไฟฟ้าเซลล์แสงอาทิตย์แบบผสมผสาน	10
2.11	กลุ่มผลึกซิลิคอน	10
2.12	แผงเซลล์แสงอาทิตย์แบบโมโนคริสตัลไลน์ (Monocrystalline)	11
2.13	แผงเซลล์แสงอาทิตย์แบบฟิล์ม (Film)	12
2.14	แบตเตอรี่ลิเทียมไอออน (Li-ion)	14
2.15	แบตเตอรี่ตะกั่วกรด (Lead acid)	14
2.16	รางพาราโบลา เฟรสเนลแบบเส้นตรง ตัวรับศูนย์กลาง และจานสเตอริลิง	15
3.1	บล็อกไดอะแกรมระบบโซล่าเซลล์ความเข้มแสงสูง	17
3.2	บล็อกไดอะแกรมระบบโซล่าเซลล์ความเข้มแสงปกติ	18
3.3	แผงโซล่าเซลล์	18
3.4	เฮลิโอสแตท	19
3.5	เลนส์รวมแสง (Fresnel lens)	19
3.6	วัตต์มิเตอร์ (Watt meter)	20
3.7	โซล่าชาร์จเจอร์	20
3.8	แบตเตอรี่	21
3.9	อินเวอร์เตอร์	21
3.10	หลอดไฟ 75W	21
3.11	เครื่องวัดความเข้มแสง (TENMARS TM-208)	22
3.12	เครื่องวัดอุณหภูมิอินฟราเรด Benetech GM900	22
3.13	การทดลองสมรรถนะของโซล่าเซลล์ที่แสงอาทิตย์ความเข้มชั้นสูง	23

สารบัญรูป (ต่อ)

รูปที่		หน้า
3.14	การทดลองสมรรถนะโซล่าเซลล์แบบความเข้มแสงแบบปกติ	24
4.1	กราฟเปรียบเทียบความสัมพันธ์ระหว่าง เพาเวอร์เอาต์พุตกับค่าความเข้มแสง ที่เวลาใดๆ	26
4.2	กราฟแสดงค่าเปรียบเทียบความสัมพันธ์ระหว่างเพาเวอร์เอาต์พุตกับอุณหภูมิบนแผงโซล่าเซลล์ที่เวลาใดๆ	27
4.3	กราฟแสดงค่าเปรียบเทียบค่าความเข้มแสงขาเข้ากับค่าประสิทธิภาพของโซล่าเซลล์ที่เวลาใดๆ	27
4.4	กราฟแสดงค่าเปรียบเทียบความสัมพันธ์ระหว่างเพาเวอร์เอาต์พุตกับค่าความเข้มแสง (รังสีตรง) ที่เวลาใดๆ	28
4.5	กราฟแสดงค่าเปรียบเทียบความสัมพันธ์ระหว่างเพาเวอร์เอาต์พุตกับอุณหภูมิบนแผงโซล่าเซลล์ที่เวลาใดๆ	29
4.6	กราฟแสดงค่าเปรียบเทียบค่าความเข้มแสงขาเข้ากับค่าประสิทธิภาพของโซล่าเซลล์ที่เวลาใดๆ	30
4.7	กราฟแสดงค่าเปรียบเทียบความสัมพันธ์ระหว่าง เพาเวอร์เอาต์พุตกับค่าความเข้มแสง (รังสีตรง) ที่เวลาใดๆ	31
4.8	กราฟแสดงค่าเปรียบเทียบความสัมพันธ์ระหว่างเพาเวอร์เอาต์พุตกับอุณหภูมิบนแผงโซล่าเซลล์ที่เวลาใดๆ	31
4.9	กราฟแสดงค่าเปรียบเทียบค่าความเข้มแสงขาเข้ากับค่าประสิทธิภาพของโซล่าเซลล์ที่เวลาใดๆ	32
4.10	กราฟแสดงค่าเปรียบเทียบความสัมพันธ์ระหว่างเพาเวอร์เอาต์พุตกับค่าความเข้มแสง (รังสีตรง) ที่เวลาใดๆ	33
4.11	กราฟแสดงค่าเปรียบเทียบความสัมพันธ์ระหว่างเพาเวอร์เอาต์พุตกับอุณหภูมิบนแผงโซล่าเซลล์ที่เวลาใดๆ	34
4.12	กราฟแสดงค่าเปรียบเทียบค่าความเข้มแสงขาเข้ากับค่าประสิทธิภาพของโซล่าเซลล์ที่เวลาใดๆ	35
4.13	กราฟแสดงค่าเปรียบเทียบความสัมพันธ์ระหว่างเพาเวอร์เอาต์พุตกับค่าความเข้มแสง (รังสีตรง) ที่เวลาใดๆ	36
4.14	กราฟแสดงค่าเปรียบเทียบความสัมพันธ์ระหว่างเพาเวอร์เอาต์พุตกับอุณหภูมิบนแผงโซล่าเซลล์ที่เวลาใดๆ	36

สารบัญรูป (ต่อ)

รูปที่		หน้า
4.15	กราฟแสดงค่าเปรียบเทียบค่าความเข้มแสงขาเข้ากับค่าประสิทธิภาพของโซล่าเซลล์ที่เวลาใดๆ	37
4.16	กราฟเปรียบเทียบความสัมพันธ์ระหว่างเพาเวอร์เอาต์พุตกับค่าความเข้มแสงที่เวลาใดๆ	38
4.17	กราฟแสดงค่าเปรียบเทียบความสัมพันธ์ระหว่างเพาเวอร์เอาต์พุตกับอุณหภูมิบนแผงโซล่าเซลล์ที่เวลาใดๆ	39
4.18	กราฟแสดงค่าเปรียบเทียบค่าความเข้มแสงขาเข้ากับค่าประสิทธิภาพของโซล่าเซลล์ที่เวลาใดๆ	39



บทที่ 1

บทนำ

1.1 ที่มาและความสำคัญของปริญญานิพนธ์

ในปัจจุบันเทคโนโลยีที่มีความทันสมัย ซึ่งทำให้เกิดความต้องการพลังงานเป็นอย่างมาก โดยส่วนใหญ่พลังงานผลิตจากฟอสซิล ซึ่งก่อให้เกิดมลพิษต่อสิ่งแวดล้อม จึงได้เกิดพลังงานที่สามารถหมุนเวียนและเป็นพลังงานที่สะอาด นั่นคือพลังงานแสงอาทิตย์ เป็นการผลิตไฟฟ้าที่ได้รับความนิยมเป็นอย่างมาก ขั้นตอนการผลิตพลังงานนั้นไม่ซับซ้อน โดยใช้แผงโซลาร์เซลล์เป็นอุปกรณ์หลักในการผลิตไฟฟ้า โซลาร์เซลล์นั้นผลิตไฟฟ้าจากการเปลี่ยนพลังงานจากแสงอาทิตย์เป็นพลังงานไฟฟ้า ซึ่งจากการศึกษาการผลิตไฟฟ้าของแผงโซลาร์เซลล์นั้นขึ้นอยู่กับหลายปัจจัย โดยปัจจัยหลัก คือ แสงแดดหรือรังสีแสงอาทิตย์ตกกระทบ และพื้นที่แผงโซลาร์เซลล์

แสงแดดหรือรังสีแสงอาทิตย์ตกกระทบเป็นปัจจัยหลักของการผลิตพลังงานไฟฟ้าของแผงโซลาร์เซลล์ จึงได้เกิดการวิจัยขึ้น โดยใช้เลนส์เฟรสเนลในการโฟกัสแสงไปยังแผงโซลาร์เซลล์ เมื่อติดตั้ง และทดสอบตามสภาวะแวดล้อมจริง ค่ารังสีอาทิตย์ และอุณหภูมิ ซึ่งจะทำการทดลองเพื่อหาความแตกต่างระหว่างการใช้เลนส์รวมแสงและไม่ใช้เลนส์รวมแสง จากการวัดค่าประสิทธิภาพรวมและสมรรถนะของระบบที่มีการเปลี่ยนแปลงไป

โครงสร้างของเลนส์เฟรสเนล เป็นอุปกรณ์ที่มีลักษณะเป็นแบบแบนหรือโค้ง ผลิตจากพลาสติกอะคริลิก เนื่องจากขึ้นรูปได้ดีกว่าอีกทั้งยังเคลือบสารป้องกันการเสื่อมสภาพของพลาสติกจากแสงและความร้อน โครงสร้างภายในของเลนส์จะมีลักษณะเป็นร่อง ร่องเหล่านี้จะทำหน้าที่เป็นพื้นผิวการหักเหของแสงและโฟกัสแสงไปยังแผงโซลาร์เซลล์

1.2 วัตถุประสงค์ของโครงการ

1.2.1 ออกแบบและสร้างเครื่องโซลาร์เซลล์ โครงสร้างของเลนส์รวมแสง และม่านบังแสง

1.2.2 เพื่อทำการทดลองประสิทธิภาพการรับพลังงานแสงอาทิตย์ของแผงโซลาร์เซลล์ระหว่างใช้เลนส์รวมแสงและ ไม่มีเลนส์รวมแสง (Fresnel lens)

1.3 สมมติฐานของโครงการ

1.3.1 กล่าวถึงการตอบปัญหาล่วงหน้า จากวัตถุประสงค์ที่ตั้งไว้ โดยอ้างอิงหลักการทฤษฎีที่เกี่ยวข้อง

1.4 ขอบเขตของโครงการ

1.4.1 การทดลองว่าการเก็บพลังงานของโซลาร์เซลล์ระหว่างแบบการใช้เลนส์รวมแสงและแบบปกติ

1.4.2 ความคลาดเคลื่อนของประสิทธิภาพในแต่ละสภาพอากาศ

1.4.3 ตัวแปรที่ส่งผลกระทบต่อเครื่องโซลาร์เซลล์กับเลนส์รวมแสงและม่านบังแสง เช่น ระยะห่างระหว่างเครื่องโซลาร์เซลล์กับเลนส์รวมแสงและม่านบังแสง เป็นต้น

1.5 ประโยชน์ที่คาดว่าจะได้รับ

1.5.1 องค์ความรู้ที่ได้รับทางวิศวกรรมศาสตร์มาประยุกต์ใช้กับเครื่องโซลาร์เซลล์

1.5.2 เปลี่ยนพลังงานแสงอาทิตย์เป็นพลังงานไฟฟ้าเพื่อนำมาใช้ในชีวิตประจำวันได้

1.5.3 ได้รับเครื่องโซลาร์เซลล์

1.6 ขั้นตอนการดำเนินงาน

1.6.1 ศึกษาการทำงานของโซลาร์เซลล์และเลนส์รวมแสง

1.6.2 ออกแบบและสร้างเครื่องโซลาร์เซลล์และโครงสร้างเลนส์รวมแสง

1.6.3 ทดสอบเพื่อวัดพลังงานจากเครื่องโซลาร์เซลล์ระหว่างใช้เลนส์รวมแสงและแบบปกติ

1.6.4 วิเคราะห์ข้อมูลและสรุปผลการทดลอง

1.6.5 จัดทำรูปเล่มวิทยานิพนธ์

1.7 แผนการดำเนินงาน

ตารางที่ 1.1 ระยะเวลาในการดำเนินโครงการ

แผนการดำเนินงาน	ส.ค	ก.ย	ต.ค	พ.ย	ธ.ค	ม.ค	ก.พ	มี.ค	พ.ค
ศึกษาทฤษฎีที่เกี่ยวข้องกับโซลาร์เซลล์ เลนส์รวมแสงและอื่นๆ	←→								
ออกแบบและสร้างเครื่องโซลาร์เซลล์ โครงสร้างเลนส์รวมแสง		←→							
ทดสอบเพื่อวัดพลังงานจากเครื่องโซลาร์เซลล์ ระหว่างใช้เลนส์รวมแสงและแบบปกติ			←→						
วิเคราะห์ข้อมูลและสรุปผลการทดลอง						←→			
จัดทำรูปเล่มวิทยานิพนธ์							←→		

เอกสารนี้เป็นเอกสารที่สงวนไว้สำหรับการใช้งานเพื่อการศึกษาเท่านั้น ไม่อนุญาตให้นำไปใช้ประโยชน์ด้านการค้าไม่ว่ากรณีใดๆ ทั้งสิ้น อีกทั้งห้ามมิให้ตัดแปลงเนื้อหาและต้องอ้างอิงถึงเจ้าของเอกสารทุกครั้งที่มีการนำไปใช้

บทที่ 2

ทฤษฎีและงานวิจัยที่เกี่ยวข้อง

2.1 ดวงอาทิตย์

ดวงอาทิตย์ (Sun) เป็นดาวฤกษ์สีเหลือง มีอายุอยู่ประมาณ 5,000 ล้านปี นักวิชาการได้ศึกษาสเปกตรัมของแสงอาทิตย์ พบว่า ดวงอาทิตย์มีธาตุที่สำคัญ คือ ไฮโดรเจน 71 % ฮีเลียม 27 % ออกซิเจน และอื่นๆ อีก 2 % ดวงอาทิตย์เป็นแหล่งกำเนิดพลังงานในระบบสุริยะ ดวงอาทิตย์มีขนาดเส้นผ่าศูนย์กลาง 1,092,000 กิโลเมตร (109 เท่าของโลก) มีมวล 332,943 เท่าของโลกและมีความหนาแน่นเฉลี่ย 1,408 กิโลกรัมต่อลูกบาศก์เมตร ดวงอาทิตย์หมุนรอบตัวเอง 1 รอบ ที่เส้นศูนย์สูตรในเวลา 25.04 วัน อุณหภูมิที่พื้นผิวประมาณ 6000 เคลวิน

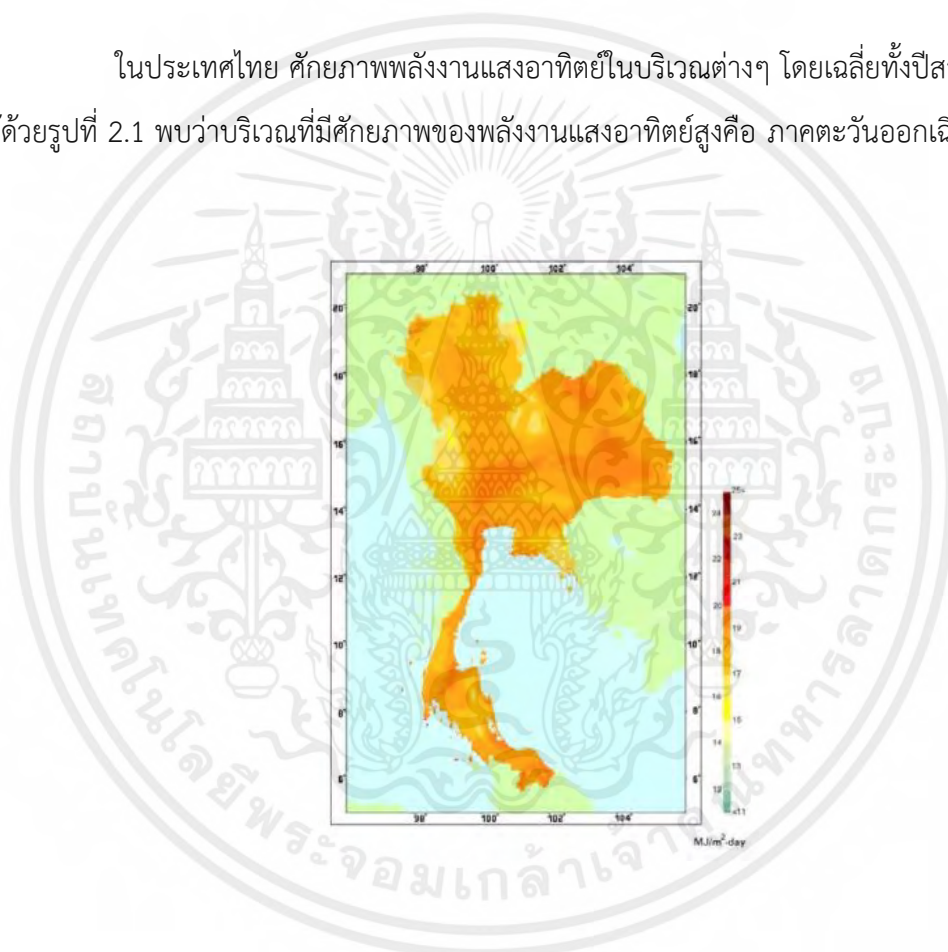
2.1.1 พลังงานแสงอาทิตย์ สิ่งสำคัญต่อการกำเนิดพลังงานนั้นคือ ดวงอาทิตย์ ถือเป็นจุดกำเนิดพลังงานทดแทนหรือพลังงานหมุนเวียนอื่นๆ เช่น พลังงานลม และพลังงานน้ำ เป็นต้น [1] พลังงานแสงอาทิตย์กับสิ่งมีชีวิตนั้นล้วนมีความสำคัญต่อกันเป็นเวลานานหลายล้านปี ตั้งแต่สิ่งมีชีวิตโบราณหรือพืชพรรณต่างๆ ที่สามารถสังเคราะห์แสงได้ สิ่งมีชีวิตดึกดำบรรพ์นั้นได้วิวัฒนาการตนเองคือ การนำพลังงานแสงจากดวงอาทิตย์เปลี่ยนเป็นพลังงานเคมี และสะสมพลังงานไว้ในเซลล์และทับถมมาเป็นเวลานาน จนทำให้เกิดเชื้อเพลิงที่เรารู้จักกันในชื่อ “เชื้อเพลิงฟอสซิล” เช่น น้ำมันและถ่านหิน ที่มนุษย์ใช้ในปัจจุบัน [2],[3] พลังงานแสงอาทิตย์จะมีแสงและความร้อนที่แผ่รังสีมาจากดวงอาทิตย์ พลังงานแสงอาทิตย์สามารถแบ่งออกเป็น 2 ส่วน คือ พลังงานที่เกิดจากแสงและพลังงานที่เกิดจากความร้อน

2.1.2 พลังงานแสงอาทิตย์ของประเทศไทย การริเริ่มรณรงค์เรื่องสภาวะโลกร้อน โดยเริ่มต้นจากการลดปริมาณการปล่อยก๊าซที่เป็นมลพิษต่างๆ อีกทั้งลดการนำเข้าพลังงานจากต่างประเทศ กระทรวงพลังงานกล่าวถึงโครงการที่จะนำพลังงานทดแทนมาใช้แทนการใช้เชื้อเพลิงที่ก่อให้เกิดมลพิษ หลังจากกระทรวงพลังงานมีนโยบายในการใช้พลังงานทดแทน ทำให้ปัจจุบันมีการจ่ายไฟฟ้าเข้าระบบประมาณ 329 เมกะวัตต์ [4]



รูปที่ 2.1 โรงผลิตกระแสไฟฟ้าจากพลังงานแสงอาทิตย์ของประเทศไทย

ในประเทศไทย ศักยภาพพลังงานแสงอาทิตย์ในบริเวณต่างๆ โดยเฉลี่ยทั้งปีสามารถแสดงได้ด้วยรูปที่ 2.1 พบว่าบริเวณที่มีศักยภาพของพลังงานแสงอาทิตย์สูงคือ ภาคตะวันออกเฉียงเหนือ



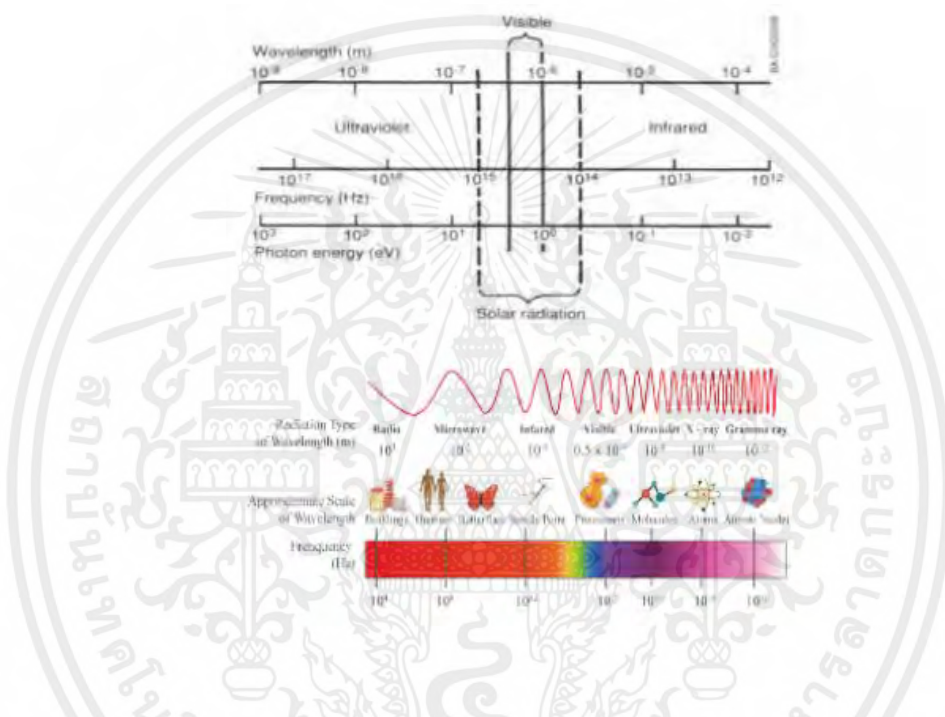
รูปที่ 2.2 พลังงานแสงอาทิตย์ของประเทศไทย (เฉลี่ยรายวัน/ปี)

2.1.3 สเปกตรัมของแสงอาทิตย์ พลังงานแสงอาทิตย์จะมีระดับพลังงานที่แตกต่างกัน แสงในส่วนที่มองเห็นได้ของสเปกตรัมแสงสีแดงจะมีพลังงานต่ำที่สุดและแสงสีม่วงพลังงานที่สูงสุด ในช่วงอัลตราไวโอเล็ต (Ultraviolet radiation) ที่ทำให้ผิวเป็นสีแทนจะมีพลังงานมากกว่าช่วงพลังงานที่สามารถมองเห็นได้ (Visible light) และแสงในช่วงอินฟราเรด (Infrared radiation) จะทำ

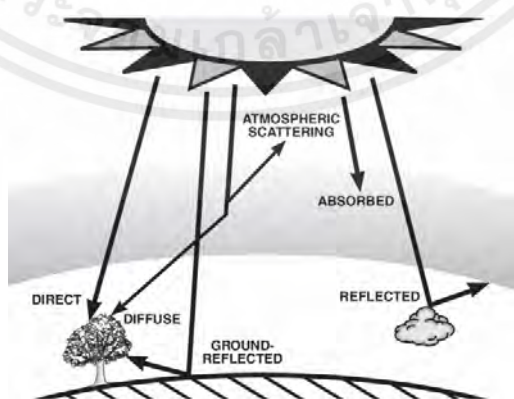
เอกสารนี้เป็นเอกสารที่สงวนไว้สำหรับการใช้งานเพื่อการศึกษาเท่านั้น ไม่อนุญาตให้นำไปใช้ประโยชน์ด้านการค้า ไม่ว่าจะกรณีใดๆ ทั้งสิ้น อีกทั้งห้ามมิให้ตัดแปลงเนื้อหาและต้องอ้างอิงถึงเจ้าของเอกสารทุกครั้งที่มีการนำไปใช้

ให้รู้สึกร้อนจะมีพลังงานน้อยกว่าช่วงพลังงานสามารถที่มองเห็นได้ ความยาวคลื่น (Wavelength) คือ ระยะทางระหว่างส่วนที่ซ้ำกันของคลื่น แสดงในรูปที่ 2.3

พลังงานที่ดวงอาทิตย์ปล่อยพลังงานออกมาเป็นรูปแบบของสเปกตรัมจะอยู่ในช่วง 2×10^{-7} ถึง 4×10^{-6} เมตร ซึ่งจะอยู่ในช่วงของแสงที่สามารถมองเห็นได้ โลกได้รับพลังงานความร้อนที่แผ่มาเฉลี่ย 1,367 วัตต์ต่อตารางเมตร ด้านนอกของชั้นบรรยากาศโลกชั้นบรรยากาศดูดซับและสะท้อนการแผ่รังสีนี้ ดังแสดงในรูปที่ 2.4 โดยรังสีส่วนใหญ่เป็นรังสีเอกซ์และรังสีอัลตราไวโอเล็ต



รูปที่ 2.3 สเปกตรัมของแสงอาทิตย์



รูปที่ 2.4 การแผ่รังสีจากดวงอาทิตย์สู่พื้นผิวโลก

เอกสารนี้เป็นเอกสารที่สงวนไว้สำหรับการใช้งานเพื่อการศึกษาเท่านั้น ไม่อนุญาตให้นำไปใช้ประโยชน์ด้านการค้า ไม่ว่ากรณีใดๆ ทั้งสิ้น อีกทั้งห้ามมิให้ดัดแปลงเนื้อหาและต้องอ้างอิงถึงเจ้าของเอกสารทุกครั้งที่มีการนำไปใช้

2.1.4 รังสีหรือการแผ่รังสี

รังสีแสงอาทิตย์ (Solar Radiation) เป็นพลังงานที่ดวงอาทิตย์ส่งออกมาในรูปแบบคลื่นแม่เหล็กไฟฟ้า ดังแสดงในรูปที่ 2.5 การแผ่รังสีโดยตรงจนถึงพื้นโลกโดยไม่มีการกระจายเรียกว่า รังสีตรง (Direct radiation) I_{Direct} การแผ่รังสีที่เคลื่อนที่สะท้อนกับชั้นนอกระบบบรรยากาศเช่น เมฆ เรียกว่า รังสีกระจาย (Diffuse radiation) I_{Diffuse} การแผ่รังสีโดยรวม (Global radiation) คือ ผลรวมของรังสีกระจายและรังสี การแผ่รังสีสามารถมาในรูปของรังสีอินฟราเรดหรือรังสีอัลตราไวโอเล็ต

$$I_{\text{Total}} = I_{\text{Direct}}(\cos \theta_z) + I_{\text{Diffuse}} \quad (2.1)$$

อัตราส่วนรวมของรังสีอาทิตย์ (Concentration ratio, C) การสะท้อนของรังสีอาทิตย์ จะขึ้นอยู่กับตัวกลางระหว่างตัวดูดรังสี ผิวสะท้อนรังสี และมุมรับรังสี [4] โดยพิจารณาจากพื้นที่ของเลนส์และพื้นที่รับแสง

$$C = \frac{A_{\text{lens}}}{A_{\text{recieve}}} \quad (2.2)$$

พลังงานความเข้มแสงขาเข้าที่โซล่าเซลล์ได้รับ (Q_{in}) สามารถคำนวณได้จาก

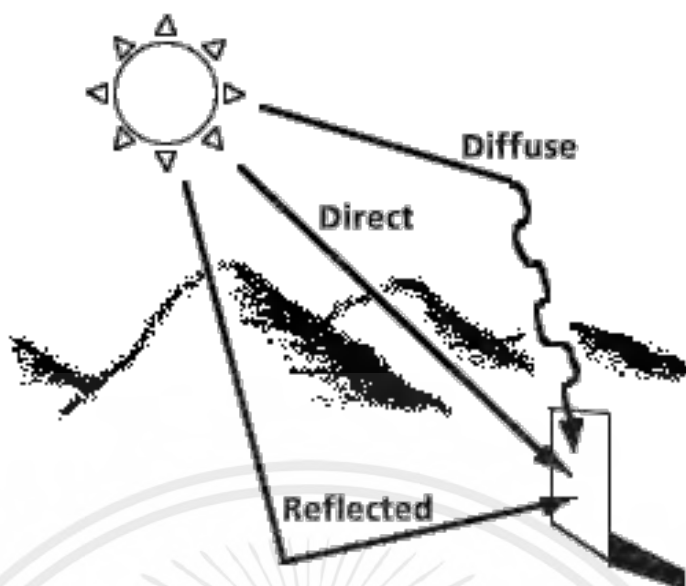
$$Q_{\text{in}} = I_{\text{Direct}} A_{\text{recieve}} \quad (2.3)$$

ประสิทธิภาพการผลิตกระแสไฟฟ้าของโซล่าเซลล์ (Efficiency, η) พิจารณาจากกำลังไฟฟ้าที่โซล่าเซลล์ผลิตได้และพลังงานของความเข้มแสงที่ได้รับ

$$\text{Efficiency } (\eta) = \frac{\text{Power output}}{Q_{\text{in}}} \quad (2.4)$$

มุมเดคลิเนชัน (Declination Angle, δ) คือ มุมระหว่างแนวลำแสงอาทิตย์เมื่อเที่ยงสุริยะกับระนาบศูนย์สูตร มุมเดคลิเนชันมีค่าเปลี่ยนไปทุกวันระหว่าง -23.45 องศา ถึง 23.45 องศา

$$\delta = 23.45 \sin(360 \times ((248 + n)/365)) \quad (2.5)$$



รูปที่ 2.5 รังสีแสงอาทิตย์

มุมอัลติจูด (Solar Altitude, α) คือมุมระหว่างพื้นราบกับแนวลำแสงอาทิตย์
มุมอัลติจูดดวงอาทิตย์ที่เวลาใดๆ สามารถคำนวณได้จากสมการ

$$\sin \alpha = \cos \phi \cos \delta \cos \omega + \sin \phi \sin \delta \quad (2.6)$$

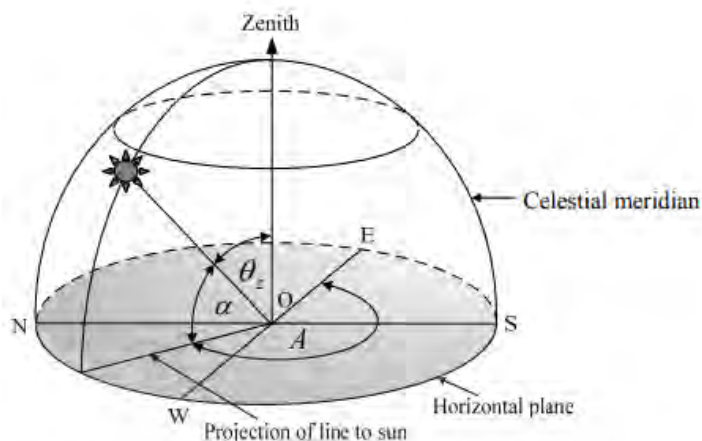
มุมอะซิมูท (Azimuth, ψ) มุมระหว่างทิศใต้กับทิศทางการหันหน้าของแผงรับแสง
มีค่าอยู่ในช่วง 180 องศา ถึง 180 องศา โดยจะมีค่าเป็นศูนย์เมื่อหันไปทางทิศใต้ กำหนดให้เป็นบวก
เมื่อหันไปทางทิศตะวันตก และเป็นลบเมื่อหันไปทางทิศตะวันออก

$$\sin \psi = \frac{\cos \delta \cdot \sin \omega}{\cos \gamma} \quad (2.7)$$

มุมเซนิท (Zenith, θ_z) เป็นมุมระหว่างแนวตั้งกระทำกับแนวรังสีจากดวงอาทิตย์
มุมเซนิทจะมีค่าระหว่าง 0-90 องศา คำนวณได้จาก

$$\theta_z = 90 - \alpha \quad (2.8)$$

เอกสารนี้เป็นเอกสารที่สงวนไว้สำหรับการใช้งานเพื่อการศึกษาเท่านั้น ไม่อนุญาตให้นำไปใช้ประโยชน์ด้านการค้า
ไม่ว่ากรณีใดๆ ทั้งสิ้น อีกทั้งห้ามมิให้ตัดแปลงเนื้อหาและต้องอ้างอิงถึงเจ้าของเอกสารทุกครั้งที่มีการนำไปใช้

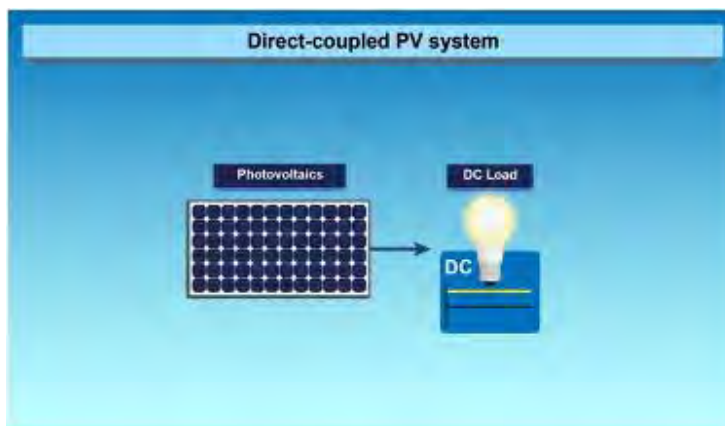


รูปที่ 2.6 มุมอะซิมุต มุมอัลติจูด และมุมเซนิท

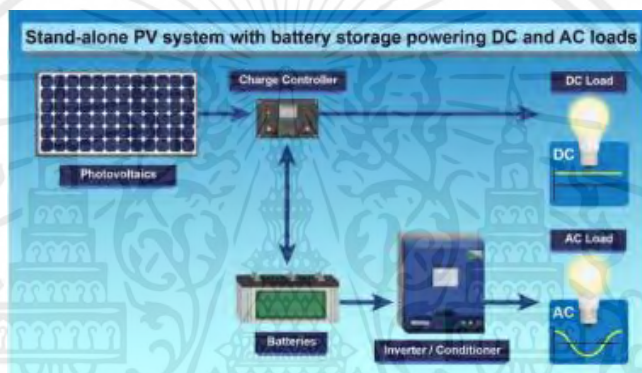
2.2 การผลิตไฟฟ้าด้วยโซลาร์เซลล์

ระบบผลิตกระแสไฟฟ้าด้วยโซลาร์เซลล์ที่ใช้กันในปัจจุบัน คือ 1.) ระบบผลิตไฟฟ้าด้วยโซลาร์เซลล์แบบอิสระ (Stand alone system) อุปกรณ์ของระบบที่สำคัญประกอบด้วยแผงโซลาร์เซลล์ ต่อตรงเข้ากับโหลดไฟฟ้าและอีกรูปแบบหนึ่งคือ การนำมาต่อให้ได้แรงดันตามความต้องการของ อุปกรณ์ควบคุมการประจุแบตเตอรี่ คำนึงจากกำลังไฟฟ้าที่ต้องการใช้งานของโหลด แสดงในรูปที่ 2.7 ในขณะที่เดียวกันแรงดันไฟฟ้าที่ได้จากอุปกรณ์ควบคุมประจุสามารถนำไปใช้งานได้โดยการต่อกับโหลดไฟฟ้ากระแสตรง 2.) ระบบผลิตกระแสไฟฟ้าของโซลาร์เซลล์แบบต่อกับระบบจำหน่ายไฟฟ้าต่างๆ (Grid connected system) โดยจะมีอุปกรณ์ของระบบ คือ แผงเซลล์แสงอาทิตย์ ที่นำมาต่อให้ได้แรงดันตามความต้องการของอินเวอร์เตอร์ โดยเชื่อมต่อกับเบรกเกอร์ไฟฟ้ากระแสตรงและกำลังไฟฟ้าตามความใช้งานของโหลด ซึ่งแรงดันไฟฟ้ากระแสตรงที่ได้สามารถนำไปใช้งานโดยตรง ด้วยการต่อกับโหลดไฟฟ้ากระแสตรง หรือแปลงผันกระแสไฟฟ้า 3) ระบบผสมผสานในการผลิตกระแสไฟฟ้าของโซลาร์เซลล์ (Hybrid system) ระบบออกแบบเพื่อการผลิตไฟฟ้ากับอุปกรณ์ผลิตไฟฟ้าชนิดอื่น ๆ โดยอุปกรณ์ที่มีในระบบประกอบด้วย เริ่มต้นที่แผงโซลาร์เซลล์ที่ต่อให้ได้แรงดันที่เพียงพอกับความต้องการของอุปกรณ์แปลงผันแบบผสมผสาน อีกทั้งระบบสามารถเชื่อมต่อกับระบบจำหน่ายไฟฟ้าของการไฟฟ้าได้ ดังแสดงในรูปที่ 2.9

เอกสารนี้เป็นเอกสารที่สงวนไว้สำหรับการใช้งานเพื่อการศึกษาเท่านั้น ไม่อนุญาตให้นำไปใช้ประโยชน์ด้านการค้าไม่ว่ากรณีใดๆ ทั้งสิ้น อีกทั้งห้ามมิให้ตัดแปลงเนื้อหาและต้องอ้างอิงถึงเจ้าของเอกสารทุกครั้งที่มีการนำไปใช้



รูปที่ 2.7 การผลิตไฟฟ้าด้วยโซลาร์เซลล์แบบอิสระ

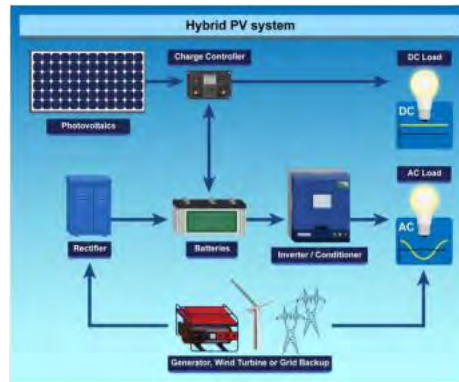


รูปที่ 2.8 การผลิตกระแสไฟฟ้าโซลาร์เซลล์แบบอิสระ (ทำงานร่วมกับแบตเตอรี่)



รูปที่ 2.9 การผลิตไฟฟ้าโซลาร์เซลล์แบบอุปกรณ์จำหน่ายกระแสไฟฟ้า

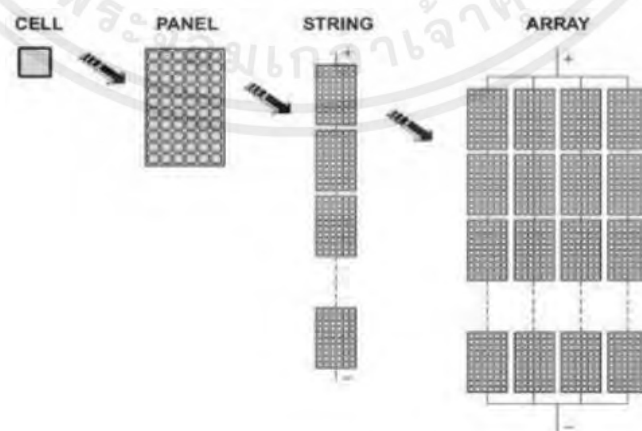
เอกสารนี้เป็นเอกสารที่สงวนไว้สำหรับการใช้งานเพื่อการศึกษาเท่านั้น ไม่อนุญาตให้นำไปใช้ประโยชน์ด้านการค้า ไม่ว่ากรณีใดๆ ทั้งสิ้น อีกทั้งห้ามมิให้ตัดแปลงเนื้อหาและต้องอ้างอิงถึงเจ้าของเอกสารทุกครั้งที่มีการนำไปใช้



รูปที่ 2.10 ระบบผลิตกระแสไฟฟ้าเซลล์แสงอาทิตย์แบบผสมผสาน

2.3 เซลล์สุริยะหรือเซลล์แสงอาทิตย์ (Solar Cell)

อุปกรณ์ที่สามารถเปลี่ยนรูปพลังงานแสงหรือความเข้มแสงให้เป็นพลังงานไฟฟ้า โดยการนำสารกึ่งตัวนำ เช่น ซิลิกอน ด้วยการผลิตเป็นแผ่นเซลล์ หน้าที่ที่แสงหรือความเข้มแสงกระทบบนแผ่นเซลล์ รังสีที่มีอนุภาคอยู่เรียกว่า โปรตอน (Proton) จะถ่ายเทพลังงานให้อิเล็กตรอนภายในของสารกึ่งตัวนำดังกล่าวทำให้เกิดพลังงานเพียงพอที่จะออกมาจากแรงดึงดูดของอะตอมและสามารถเคลื่อนที่ได้ อย่างอิสระ จากนั้นอิเล็กตรอนจะเคลื่อนที่ ทำให้เกิดไฟฟ้ากระแสตรง แรงเคลื่อนไฟฟ้าที่ผลิตขึ้นจากเซลล์แสงอาทิตย์เพียงเซลล์เดียวจะมีค่าต่ำ เป็นเหตุผลที่จะนำมานำเซลล์หลายเซลล์มาต่อกันเพื่อเพิ่มแรงดันไฟฟ้าให้สูงขึ้น เซลล์ที่นำมาต่อกันในจำนวนและขนาดที่เหมาะสมเรียกว่า แผงโซลาร์เซลล์ การนำพาเนลมาต่อแบบอนุกรมกันเรียกว่า สตริง (String) สตริงมาต่อแบบขนานกันจะเรียกว่าอาร์เรย์ (Array) แสดงในรูปที่ 2.10



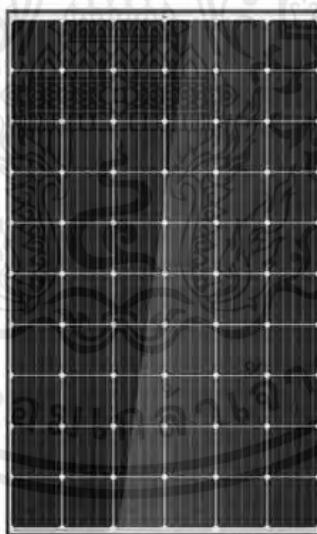
รูปที่ 2.11 กลุ่มผลึกซิลิคอน

เอกสารนี้เป็นเอกสารที่สงวนไว้สำหรับการใช้งานเพื่อการศึกษาเท่านั้น ไม่อนุญาตให้นำไปใช้ประโยชน์ด้านการค้า ไม่ว่ากรณีใดๆ ทั้งสิ้น อีกทั้งห้ามมิให้ตัดแปลงเนื้อหาและต้องอ้างอิงถึงเจ้าของเอกสารทุกครั้งที่มีการนำไปใช้

2.3.1 ประเภทของเซลล์แสงอาทิตย์

โดยในท้องตลาดมีเทคโนโลยีของโซลาร์เซลล์มีอยู่ 3 ประเภท คือ โมโนคริสตัลไลน์ (Monocrystalline) โพลีคริสตัลไลน์ (Polycrystalline) และฟิล์ม (Film)

1.) โมโนคริสตัลไลน์ (Monocrystalline) มีชนิดผลึกเดี่ยวซิลิกอน (Single Crystalline Silicon Solar Cell) และชนิดผลึกรวมซิลิกอน (Polycrystalline Silicon) มีราคาต้นทุนของวัสดุที่สูงกว่าโซลาร์เซลล์ชนิดผลึกเดี่ยวและโซลาร์เซลล์แสงชนิดผลึกรวม โซลาร์เซลล์ชนิดผลึกเดี่ยวมีประสิทธิภาพอยู่ที่ 14 - 22 โซลาร์เซลล์ชนิดโพลีคริสตัลไลน์จะมีประสิทธิภาพอยู่ที่ 13 - 20 โซลาร์เซลล์แบบโมโนคริสตัลไลน์มีลักษณะดังแสดงในรูปที่ 2.11 ข้อดีของโซลาร์เซลล์แบบโมโนคริสตัลไลน์คือประหยัดพื้นที่ เนื่องจากแผงชนิดนี้ผลิตพลังงานสูงสุด จึงใช้พื้นที่น้อยกว่าเมื่อเทียบกับชนิดอื่น โซลาร์เซลล์แบบโมโนคริสตัลไลน์ ผลิตพลังงานไฟฟ้าได้มากถึง 4 เท่าของการผลิตไฟฟ้าเป็นโซลาร์เซลล์แบบฟิล์ม (กรณีพื้นที่เท่ากัน) แบบโมโนคริสตัลไลน์จะมีอายุการใช้งานนาน อีกทั้งแบบโมโนคริสตัลไลน์จะมีแนวโน้มที่จะทำงานได้ดีกว่าแบบโพลีคริสตัลไลน์ โซลาร์เซลล์แบบโมโนคริสตัลไลน์นั้นมีราคาแพงกว่าโซลาร์เซลล์แบบโพลีคริสตัลไลน์และแบบฟิล์ม



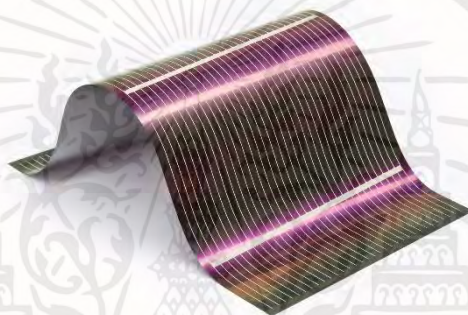
รูปที่ 2.12 โมโนคริสตัลไลน์ (Monocrystalline)

2.) โพลีคริสตัลไลน์ (Polycrystalline) ผลิตจากซิลิกอนแบบเดียวกับโมโนคริสตัลไลน์ แต่จะมีความบริสุทธิ์น้อยกว่า โซลาร์เซลล์โพลีคริสตัลไลน์จะมีประสิทธิภาพต่ำกว่าเล็กน้อย

เอกสารนี้เป็นเอกสารที่สงวนไว้สำหรับการใช้งานเพื่อการศึกษาเท่านั้น ไม่อนุญาตให้นำไปใช้ประโยชน์ด้านการค้าไม่ว่ากรณีใดๆ ทั้งสิ้น อีกทั้งห้ามมิให้ตัดแปลงเนื้อหาและต้องอ้างอิงถึงเจ้าของเอกสารทุกครั้งที่มีการนำไปใช้

ข้อดีเพิ่มเติมของโซล่าเซลล์แบบโพลีคริสตัลไลน์ คือ สามารถผลิตได้ง่ายและมีต้นทุนน้อยกว่า รวมไปถึงปริมาณของเสียในกระบวนการที่น้อยกว่า

3.) फिल्म (Film) กระบวนการผลิตนั้นจะแตกต่างกับโซล่าเซลล์แบบโมโนคริสตัลไลน์และแบบโพลีคริสตัลไลน์ โดยเริ่มจากฟิล์มที่มีซิลิคอนจะถูกพ่นจนทำให้กลายเป็นแผงโซล่าเซลล์ ดังแสดงในรูปที่ 2.12 ข้อดี คือ การผลิตจำนวนมากนั้นทำได้ง่าย ทำให้มีราคาถูกกว่าการผลิตกว่าโซล่าเซลล์ที่ใช้ผลึก รวมถึงใช้วัสดุในการผลิตน้อยในการผลิตแผง ทำงานได้ดีในพื้นที่ที่มีแสงน้อย แผงเซลล์แสงอาทิตย์แบบฟิล์มมีข้อเสีย คือ ในกระบวนการผลิตแผงเซลล์นั้นก่อเกิดมลพิษมากกว่าแบบอื่น และใช้เวลานานในการติดตั้ง



รูปที่ 2.13 फिल्म (Film)

2.3.2 ปัจจัยที่กระทบต่อประสิทธิภาพของแผงโซล่าเซลล์

สิ่งที่สำคัญที่ทำให้โซล่าเซลล์นั้นมีประสิทธิภาพการผลิตกระแสไฟฟ้า จะมีความแตกต่างกันจากพื้นที่ในการติดตั้ง ชนิดของแผงโซล่าเซลล์ และอื่นๆ

1.) ประเภทของโซล่าเซลล์ แผงโซล่าแบบโมโนคริสตัลไลน์ทำจากซิลิคอนที่มีความบริสุทธิ์สูงสุด ทำให้มีประสิทธิภาพที่สุด

2.) การติดตั้งแผง เป็นหนึ่งตัวแปรที่เกี่ยวข้องกับประสิทธิภาพ โดยทั่วไปในประเทศไทยจะติดตั้งให้ระนาบแผงเซลล์แสงอาทิตย์หันไปทางทิศใต้ หากมีการติดตั้งผิดพลาดจะทำให้กระแสไฟฟ้าที่โซล่าจะผลิตนั้นลดลง [5]

3.) ความเข้มแสง หากความเข้มของแสงสูง กระแสไฟฟ้าที่โซล่าเซลล์ผลิตได้นั้นจะสูงขึ้นเช่นกัน [6] แต่กลับกันหากแรงดันไฟฟ้าของโซล่าเซลล์ผลิตได้นั้นจะเปลี่ยนแปลงเพียงเล็กน้อยเท่านั้น [7]

เอกสารนี้เป็นเอกสารที่สงวนไว้สำหรับการใช้งานเพื่อการศึกษาเท่านั้น ไม่อนุญาตให้นำไปใช้ประโยชน์ด้านการค้าไม่ว่ากรณีใดๆ ทั้งสิ้น อีกทั้งห้ามมิให้คัดแปลงเนื้อหาและต้องอ้างอิงถึงเจ้าของเอกสารทุกครั้งที่มีการนำไปใช้

4.) อุณหภูมิ กระแสไฟฟ้าจะไม่เป็นผลต่ออุณหภูมิที่เปลี่ยนแปลง แต่ถ้าหากแรงดันไฟฟ้าที่สามารถผลิตได้นั้นลดลง อุณหภูมิสูงขึ้น แผงโซล่าเซลล์แสงอาทิตย์ที่มาตรฐานจะกำหนดอุณหภูมิไว้ที่ 25 องศาเซลเซียส [8]

5.) วัสดุประกอบแผง วัสดุที่นำมาผลิตแผงโซล่าเซลล์ เช่น กระจก การเลือกใช้วัสดุหรือกระจกที่นำมาใช้งานนั้น ไม่ควรมีการสะท้อนแสงหรือความเข้มแสง

6.) วัตถุหรือสิ่งที่ปกคลุมแผงโซล่าเซลล์ ระบบการผลิตไฟฟ้าของโซล่าเซลล์นั้นถูกออกแบบให้มีความเหมาะสมกับแรงดันไว้ และระบบทั้งหมดจะทำการต่อวงจรแบบอนุกรม ถ้าหากมีเงาบดบังแสงหรือมีเมฆปกคลุมเพียงแค่นี้แผงก็จะทำให้แผงโซล่าเซลล์นั้นหยุดการผลิตกระแสไฟฟ้าได้ [9]

7.) อายุการใช้งาน การเสื่อมประสิทธิภาพของแผงโซล่าเซลล์นั้นจะลดลงตามอายุการใช้งาน โดยปกติแล้ว แผงโซล่าเซลล์นั้นจะมีการเสื่อมสภาพลงตามระยะเวลาการใช้งาน

2.4 อินเวอร์เตอร์

การทำงานของอินเวอร์เตอร์ เป็นอุปกรณ์ไฟฟ้าที่แปลงกระแสไฟฟ้าจากกระแสตรง (DC) เป็นไฟฟ้ากระแสสลับ (AC) เนื่องจากเครื่องใช้ไฟฟ้าในบ้านเรือนใช้ไฟฟ้ากระแสสลับ ด้านขาเข้าของอินเวอร์เตอร์นั้นจะต่อกับโหนดกระแสตรง เช่น ต่อตรงกับแบตเตอรี่ หรือ อาร์เรย์เซลล์แสงอาทิตย์ ด้านขาออกจ่ายไฟ AC ให้กับโหนด ชนิดของอินเวอร์เตอร์ สามารถแบ่งได้ 2 ส่วนคือ

1.) แบ่งตามรูปแบบแรงดันไฟฟ้าขาเข้า

1.1) ชนิดกริดไทร์ เป็นอุปกรณ์ที่แปลงผันกระแสไฟฟ้าจากกระแสไฟฟ้ากระแสตรงที่ได้จากแผงโซล่าเซลล์จะถูกแปลงเป็นกระแสไฟฟ้ากระแสสลับ อินเวอร์เตอร์ชนิดกริดไทร์จะมีหน้าที่จ่ายไฟฟ้าให้กับโหนดโดยตรง

1.2) ชนิดแบตเตอรี่ ทำหน้าที่แปลงกระแสไฟฟ้ากระแสตรงที่ได้รับจากแบตเตอรี่จะถูกแปลงผันเป็นกระแสไฟฟ้ากระแสสลับ

2.) แบ่งตามรูปแบบแรงดันไฟฟ้าขาออก โดยจะมีรูปแบบของสัญญาณเอาต์พุตหลักๆ อยู่

3 แบบ

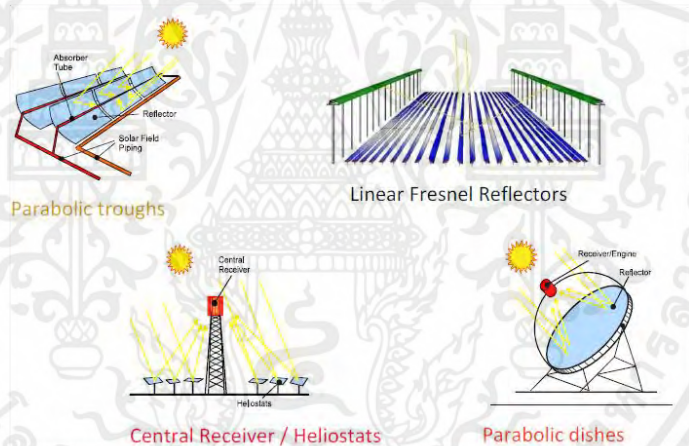
2.1) แบบคลื่นสี่เหลี่ยม (Square wave) โดยส่วนใหญ่เครื่องใช้ไฟฟ้าประเภทหลอดไฟ อีกทั้งยังมีราคาถูก

2.2) แบบคลื่นไซน์ (Pure sine wave) สามารถใช้งานร่วมกับอุปกรณ์ได้ทุกอย่าง แต่กลับมีราคาสูง

เอกสารนี้เป็นเอกสารที่สงวนไว้สำหรับการใช้งานเพื่อการศึกษาเท่านั้น ไม่อนุญาตให้นำไปใช้ประโยชน์ด้านการค้าไม่ว่ากรณีใดๆ ทั้งสิ้น อีกทั้งห้ามมิให้ตัดแปลงเนื้อหาและต้องอ้างอิงถึงเจ้าของเอกสารทุกครั้งที่มีการนำไปใช้

2.6 การผลิตกระแสไฟฟ้าชนิดรวมแสงอาทิตย์

สำหรับการเปลี่ยนรูปพลังงานจากดวงอาทิตย์นั้นมีอีกหลากหลายรูปแบบ เช่น การนำพลังงานจากดวงอาทิตย์เปลี่ยนไปอยู่ในรูปแบบของความร้อนและนำไปผลิตเป็นกระแสไฟฟ้าต่อไป ด้วยการรวมแสง ความเข้มแสง และความร้อน ไปเก็บในของเหลวที่นำความร้อนหรือของเหลวที่สามารถเก็บความร้อนได้สูง จากนั้นจึงนำไปใช้ในหมุ่กังหันเพื่อใช้ผลิตกระแสไฟฟ้า มีข้อดี คือ สามารถผลิตไฟฟ้าได้ทุกช่วงเวลารวมไปถึงเวลาที่ไม่มีความเข้มแสงอาทิตย์ ด้วยการใช้ของเหลวที่สามารถเก็บความร้อนความร้อนหรือนำความร้อน อีกทั้งยังสามารถเก็บไว้ด้วย [10], [11] การเปลี่ยนรูปพลังงานที่ได้รับจากดวงอาทิตย์เป็นพลังงานความร้อนที่มีนำกระจกหรือเลนส์ เพื่อรวมความเข้มแสงที่เดินทางลงพื้นโลก การผลิตกระแสไฟฟ้าชนิดรวมแสงโดยส่วนใหญ่จะมีการแบ่ง ซึ่งจะพิจารณาตามลักษณะของการรวมความเข้มแสง เช่น ระบบรวมความเข้มแสงแบบตามแนว และ ระบบรวมความเข้มแสงเป็นจุดศูนย์กลาง ดังแสดงในรูปที่ 2.16



รูปที่ 2.16 การผลิตกระแสไฟฟ้าแบบรวมแสงอาทิตย์ชนิดต่างๆ

2.6.1 แบบรางพาราโบลา วัตถุสะท้อนหรือวัตถุที่สามารถกักความร้อนได้ รวมไปถึงโครงสร้างที่รองรับ เริ่มจันจากการรวมความเข้มแสงหรือแสงไปยังวัตถุที่สามารถกักเก็บความร้อนได้ วัตถุดังกล่าวจะกักเก็บพลังงานไว้ โดยวัสดุของวัตถุนั้นจะสามารถถ่ายเทความร้อนได้ดี และส่งผ่านของเหลวที่นำความร้อนไปยังอุปกรณ์ที่เก็บพลังงานหรืออุปกรณ์ที่สามารถผลิตกระแสไฟฟ้าอื่นๆ การผลิตกระแสไฟฟ้าชนิดรวมแสงอาทิตย์ชนิดนี้ติดตั้งครั้งแรกที่ประเทศสเปนใน ปี พ.ศ.2543 ภายใต้โครงการโรงไฟฟ้าของ Andasol ซึ่งสามารถผลิตกระแสไฟฟ้าได้ 0.18 เทระวัตต์ต่อชั่วโมง [12]

2.6.2 แบบเฟรสเนลแบบเส้นตรง วัตถุที่ถูกติดตั้งตามแนวยาว และจะมีวัตถุที่สามารถสะท้อนแสงติดตั้งไว้ด้านบน เริ่มจากแสงที่สะท้อนจากวัตถุสะท้อนแสงกลับมายังวัตถุรับแสง การผลิตเอกสารนี้เป็นเอกสารที่สวอนไว้สำหรับการใช้งานเพื่อการศึกษาเท่านั้น ไม่อนุญาตให้นำไปใช้ประโยชน์ด้านการค้า ไม่ว่ากรณีใดๆ ทั้งสิ้น อีกทั้งห้ามมิให้คัดแปลงเนื้อหาและต้องอ้างอิงถึงเจ้าของเอกสารทุกครั้งที่มีการนำไปใช้

กระแสไฟฟ้าชนิดรวมแสงอาทิตย์ชนิดนี้ใช้ต้นทุนถูกกว่า และมีการสิ้นเปลืองพื้นที่การติดตั้ง เนื่องจากตัวสะท้อนแสงนั้นมีจำนวนมากกว่าวัตถุที่รับแสง ปัจจุบันการผลิตกระแสไฟฟ้าชนิดรวมแสงอาทิตย์ชนิดนี้มีการติดตั้งเป็นจำนวนมาก โดยเฉพาะอย่างยิ่งในประเทศสเปน ทำการติดตั้งเทคโนโลยีนี้ในปี พ.ศ.2555 สามารถผลิตกระแสไฟฟ้าได้ถึง 49 จิกะวัตต์ต่อชั่วโมง [13]

2.6.3 การรวมความเข้มแสงแบบจุดศูนย์กลาง ระบบการรวมความเข้มแสงชนิดนี้จะมีการติดตั้งวัตถุสะท้อนแสงเพื่อสะท้อนแสงไปยังวัตถุรับแสงไปยังที่สูง วัตถุรับแสงจะถูกติดตั้งไว้บนหอคอยหรือตึกสูง โดยวัตถุรับแสงดังกล่าวจะเก็บความร้อนที่ได้รับจากวัตถุสะท้อนไว้ และส่งต่อไปยังส่วนการผลิตไฟฟ้าต่อไป การรวมความเข้มแสงแบบจุดศูนย์กลางนี้สามารถกักเก็บความร้อนได้ดีกว่าระบบรวมความเข้มแสงแบบตามแนว โดยประสิทธิภาพการผลิตกระแสไฟฟ้าที่ระบบการรวมแสงชนิดนี้จะขึ้นอยู่กับอุณหภูมิที่วัตถุรับแสงที่ถูกติดตั้งไว้บนหอคอย จากการติดตั้งของบริษัท SEANER ประเทศสเปนสามารถผลิตกระแสไฟฟ้าได้ดีมาก [14]

2.6.4 แบบจานสเตอร์ลิง การรวมแสงชนิดนี้ จะมีจานดาวเทียมเพื่อเป็นวัตถุที่จะสะท้อนแสงหรือความเข้มแสงไปยังวัตถุรับแสงและส่งต่อไปยังเครื่องจักรสเตอร์ลิง ซึ่งเป็นอุปกรณ์ที่สามารถเปลี่ยนแปลงความร้อนที่ได้รับมาจากวัตถุรับแสงนั้นให้เป็นกระแสไฟฟ้า มีการติดตั้งในประเทศสหรัฐอเมริกา รัฐแคลิฟอร์เนีย ปี พ.ศ.2555 ใช้จานทั้งหมด 20,000 ชุด ทำให้มีกำลังการผลิตกระแสไฟฟ้าในปริมาณ 800 เมกะวัตต์ [15]

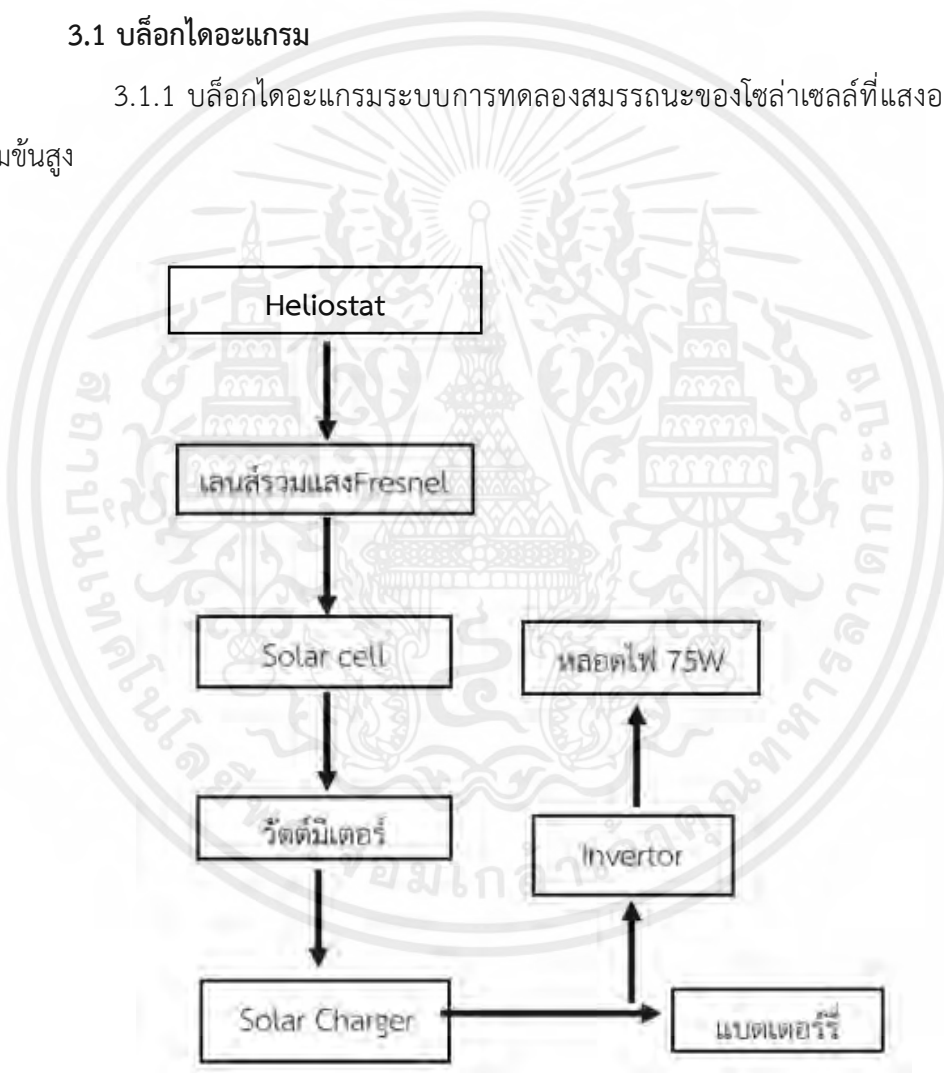
บทที่ 3

อุปกรณ์และวิธีการทดลอง

ในบทนี้จะกล่าวถึงวัสดุและอุปกรณ์ในการทดลองสมรรถนะของโซลาร์เซลล์ที่แสงอาทิตย์ความเข้มสูงและการทดลองสมรรถนะของโซลาร์เซลล์ที่แสงอาทิตย์ความเข้มสูงแบบปกติ ผู้จัดทำโครงการจึงขออธิบายรายละเอียดการทำงานดังนี้

3.1 บล็อกไดอะแกรม

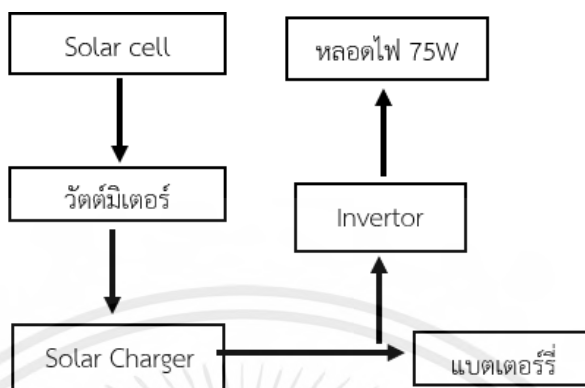
3.1.1 บล็อกไดอะแกรมระบบการทดลองสมรรถนะของโซลาร์เซลล์ที่แสงอาทิตย์ความเข้มสูง



รูปที่ 3.1 ไดอะแกรม การทดลองสมรรถนะของโซลาร์เซลล์ที่แสงอาทิตย์ความเข้มสูง

เอกสารนี้เป็นเอกสารที่สงวนไว้สำหรับการใช้งานเพื่อการศึกษาเท่านั้น ไม่อนุญาตให้นำไปใช้ประโยชน์ด้านการค้า ไม่ว่าจะกรณีใดๆ ทั้งสิ้น อีกทั้งห้ามมิให้ตัดแปลงเนื้อหาและต้องอ้างอิงถึงเจ้าของเอกสารทุกครั้งที่มีการนำไปใช้

3.1.2 บล็อกไดอะแกรมระบบการทดลองสมรรถนะของโซลาร์เซลล์ที่แสงอาทิตย์ที่ความเข้มชั้นปกติ



รูปที่ 3.2 ไดอะแกรมระบบการทดลองสมรรถนะของโซลาร์เซลล์ที่แสงอาทิตย์ที่ความเข้มชั้นปกติ

จากรูปที่ 3.1 และ 3.2 นั้นอธิบายถึงการทำงานและหน้าที่ของอุปกรณ์ที่ใช้เก็บค่าของการทดลองสมรรถนะของโซลาร์เซลล์ที่แสงอาทิตย์ความเข้มชั้นสูงและการทดลองเพื่อเปรียบเทียบประสิทธิภาพที่ได้กับโซลาร์เซลล์แบบรวมแสงซึ่งเหมือนกับแบบรวมแสง แตกต่างกันที่ไม่มีการรวมแสง

3.2 วัสดุและอุปกรณ์

3.2.1 โซลาร์เซลล์ (Solar cell) ได้รับความเข้มแสงที่ได้รับเพื่อผลิตกระแสไฟฟ้า เป็นการเอาเซลล์หลายๆ ตัวมาต่อเรียงกันเป็นแผ่นเดียวกันเพื่อผลิตกระแสไฟฟ้าได้ทันที ซึ่งกระแสไฟฟ้าที่ผลิตได้คือไฟฟ้ากระแสตรง (DC) ชุดการทดลองจะใช้โซลาร์เซลล์จำนวน 1 แผง เพื่อเก็บผล มีขนาดความกว้าง 1.2 เมตร ความยาว 0.54 เมตร (Poly-crystalline Module 60W 17.2V 4A)



รูปที่ 3.3 แสดงแผงโซลาร์เซลล์

เอกสารนี้เป็นเอกสารที่สงวนไว้สำหรับการใช้งานเพื่อการศึกษาเท่านั้น ไม่อนุญาตให้นำไปใช้ประโยชน์ด้านการค้าไม่ว่ากรณีใดๆ ทั้งสิ้น อีกทั้งห้ามมิให้ตัดแปลงเนื้อหาและต้องอ้างอิงถึงเจ้าของเอกสารทุกครั้งที่มีการนำไปใช้

3.2.2 เฮลิโอสแตท (Heliostat) เป็นอุปกรณ์ทำหน้าที่รับและสะท้อนรังสีดวงอาทิตย์ (ความเข้มแสง) ให้ส่องไปที่เลนส์รวมแสง (มีความกว้าง 2.2 เมตร ความยาว 2.2 เมตร ความสูงจากฐาน 2.7 เมตร และติดตั้งกระจกเงาขนาด 1.1 เมตร มีความหนา 6 มิลลิเมตร จำนวน 4 แผ่น)



รูปที่ 3.4 เฮลิโอสแตท

3.2.3 เลนส์เฟรสเนล (Fresnel) ผลิตจากวัสดุชนิดอะคริลิกหรือแก้ว ทำหน้าที่คล้ายแว่นขยาย เป็นการรวมแสงที่กระจายบนพื้นโลกให้กลายเป็นลำแสงที่เกิดจากการรวมแสง (จุดโฟกัสที่ 1.2 M) เพื่อรวมแสงไปยังผิวหน้าของโซล่าเซลล์ ตัวเลนส์เฟรสเนลมีขนาดความกว้าง 1.4 เมตร ความยาว 1.05 เมตร ความหนา 3 มิลลิเมตร



รูปที่ 3.5 เลนส์รวมแสง (Fresnel lens)

3.2.4 วัตต์มิเตอร์ (Watt meter) คือ เครื่องมือวัดค่าเพาเวอร์เอาต์พุตคือค่าวัตต์ (W) (Module 130A)

เอกสารนี้เป็นเอกสารที่สงวนไว้สำหรับการใช้งานเพื่อการศึกษาเท่านั้น ไม่อนุญาตให้นำไปใช้ประโยชน์ด้านการค้าไม่ว่ากรณีใดๆ ทั้งสิ้น อีกทั้งห้ามมิให้ตัดแปลงเนื้อหาและต้องอ้างอิงถึงเจ้าของเอกสารทุกครั้งที่มีการนำไปใช้



รูปที่ 3.6 วัดวัตต์มิเตอร์ (Watt meter)

3.2.5 โซล่าชาร์จเจอร์ (Solar Charger) ใช้ควบคุมการชาร์จพลังงานที่ได้เข้าสู่แบตเตอรี่ เป็นอุปกรณ์อิเล็กทรอนิกส์ชนิดหนึ่งที่มีคุณสมบัติและหน้าที่ในการควบคุมการชาร์จไฟที่สามารถผลิตได้เข้าสู่แบตเตอรี่ เพื่อเก็บไว้ใช้ภายหลัง (Module 20A 12V/24V Auto)



รูปที่ 3.7 โซล่าชาร์จเจอร์

3.2.6 แบตเตอรี่ (Battery) เป็นอุปกรณ์ที่หน้าที่เก็บพลังงานประด้วยเซลล์ไฟฟ้าเคมี หนึ่งหน่วยเซลล์หรือมากกว่าหนึ่ง อาศัยการการแปลงพลังงานเคมีเป็นพลังงานไฟฟ้า โดยใช้เซลล์กัลวานิก (Galvanic cell) ที่ขั้วบวกขั้วลบพร้อมทั้งสารละลายอิเล็กโทรไลต์ (Electrolyte) ในแบตเตอรี่

เอกสารนี้เป็นเอกสารที่สงวนไว้สำหรับการใช้งานเพื่อการศึกษาเท่านั้น ไม่อนุญาตให้นำไปใช้ประโยชน์ด้านการค้า ไม่ว่าจะกรณีใดๆ ทั้งสิ้น อีกทั้งห้ามมิให้ตัดแปลงเนื้อหาและต้องอ้างอิงถึงเจ้าของเอกสารทุกครั้งที่มีการนำไปใช้



รูปที่ 3.8 แบตเตอรี่

3.2.7 อินเวอร์เตอร์ (Inverter) คือ อุปกรณ์ทางไฟฟ้าสำหรับการแปลงกระแสไฟฟ้าเพาเวอร์เอ๊าต์พุตคือ ค่าวัตต์ (W) ที่ได้จากการผลิตไฟฟ้าที่เป็นกระแสตรง (DC) ให้เป็นกระแสสลับ (AC)



รูปที่ 3.9 อินเวอร์เตอร์

3.2.8 หลอดไฟ 75W (LED) อุปกรณ์ทำหน้าที่ให้แสงสว่าง



รูปที่ 3.10 หลอดไฟ 75W

เอกสารนี้เป็นเอกสารที่สงวนไว้สำหรับการใช้งานเพื่อการศึกษาเท่านั้น ไม่อนุญาตให้นำไปใช้ประโยชน์ด้านการค้าไม่ว่ากรณีใดๆ ทั้งสิ้น อีกทั้งห้ามมิให้ตัดแปลงเนื้อหาและต้องอ้างอิงถึงเจ้าของเอกสารทุกครั้งที่มีการนำไปใช้

3.2.9 เครื่องวัดความเข้มแสง (TENMARS TM-208) เป็นอุปกรณ์ที่ใช้สำหรับเก็บค่าความเข้มแสงของพื้นที่ขณะที่ทำการทดลอง เพื่อนำมาใช้ในการวิเคราะห์ผลในการทดลอง



รูปที่ 3.11 เครื่องวัดความเข้มแสง (TENMARS TM-208)

3.2.10 เครื่องวัดอุณหภูมิอินฟราเรด Benetech GM900 เป็นอุปกรณ์ที่ใช้สำหรับวัดอุณหภูมิบนแผงโซลาร์เซลล์



รูปที่ 3.12 เครื่องยิงอินฟราเรด

3.3 วิธีการทดลองสมรรถนะของโซลาร์เซลล์ความเข้มแสงสูง

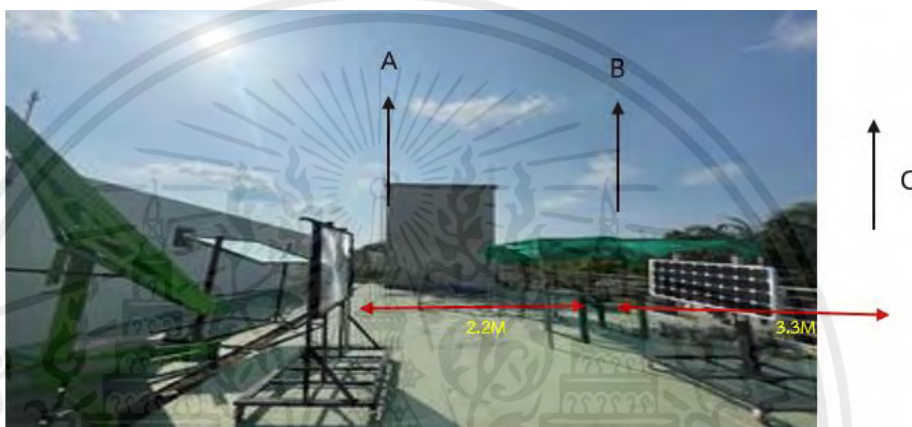
3.3.1 วิธีการทดลองระยะห่างระหว่างเลนส์รวมแสงกับโซลาร์เซลล์ในการทดลองการรวมแสง

ทดลองระยะห่างระหว่างเลนส์รวมแสงกับโซลาร์เซลล์ โดยเลนส์รวมแสงมีจุดโฟกัส ที่ 1.2 เมตร ที่เวลาเดียวกันคือ 12.00 นาฬิกา จึงทำการทดลองระยะดังนี้

เอกสารนี้เป็นเอกสารที่สงวนไว้สำหรับการใช้งานเพื่อการศึกษาเท่านั้น ไม่อนุญาตให้นำไปใช้ประโยชน์ด้านการค้าไม่ว่ากรณีใดๆ ทั้งสิ้น อีกทั้งห้ามมิให้ตัดแปลงเนื้อหาและต้องอ้างอิงถึงเจ้าของเอกสารทุกครั้งที่มีการนำไปใช้

1. ระยะห่างจากเลนส์รวมแสงกับโซลาร์เซลล์ ที่ระยะ 2 เมตร
2. ระยะห่างจากเลนส์รวมแสงกับโซลาร์เซลล์ ที่ระยะ 2.5 เมตร
3. ระยะห่างจากเลนส์รวมแสงกับโซลาร์เซลล์ ที่ระยะ 3 เมตร
4. ระยะห่างจากเลนส์รวมแสงกับโซลาร์เซลล์ ที่ระยะ 3.3 เมตร
5. ระยะห่างจากเลนส์รวมแสงกับโซลาร์เซลล์ ที่ระยะ 3.5 เมตร

3.3.2 วิธีการทดลองสมรรถนะของโซลาร์เซลล์ที่แสงอาทิตย์ความเข้มแสงสูง



รูปที่ 3.13 แสดงลักษณะการทดลองสมรรถนะของโซลาร์เซลล์ที่แสงอาทิตย์ความเข้มสูง โดยใช้เลนส์เฟรสเนล

การทดลองสมรรถนะของโซลาร์เซลล์ที่แสงอาทิตย์ความเข้มสูงโดยใช้เลนส์เฟรสเนล ดังแสดงในรูปที่ 3.13 มีวิธีการทดลองดังต่อไปนี้

1. จัดสถานที่โดยการพิจารณาของชุดการทดลอง โดยระยะห่างของเฮลิโอสแตทและเลนส์รวมแสงเฟรสเนล มีระยะห่าง 2.2 เมตรและระยะห่างระหว่างเลนส์รวมแสงและแผงโซลาร์เซลล์มีระยะห่าง 3.3 เมตร (เป็นระยะที่ลำแสงจากการรวมแสงสัมผัสกับโซลาร์เซลล์ทั่วทั้งแผ่น)
2. คอยปรับเฮลิโอสแตทเพื่อสะท้อนแสงไปยังเลนส์รวมแสงเฟรสเนลเพื่อทำการรวมแสงและส่งไปยังโซลาร์เซลล์ที่ระยะห่าง 3.3 เมตร
3. อ่านค่าและเก็บบันทึกข้อมูล ซึ่งมีค่าความเข้ม เพาเวอร์เอาต์พุต คือ กำลังไฟฟ้าที่ผลิตได้ (วัตต์) อุณหภูมิบนแผงโซลาร์เซลล์

เอกสารนี้เป็นเอกสารที่สงวนไว้สำหรับการใช้งานเพื่อการศึกษาเท่านั้น ไม่อนุญาตให้นำไปใช้ประโยชน์ด้านการค้าไม่ว่ากรณีใดๆ ทั้งสิ้น อีกทั้งห้ามมิให้ตัดแปลงเนื้อหาและต้องอ้างอิงถึงเจ้าของเอกสารทุกครั้งที่มีการนำไปใช้

3.3.3 วิธีการทดลองสมรรถนะโซลาร์เซลล์แบบความเข้มแสงแบบปกติ



รูปที่ 3.14 แสดงการทดลองสมรรถนะโซลาร์เซลล์แบบความเข้มแสงแบบปกติ

การทดลองสมรรถนะโซลาร์เซลล์แบบความเข้มแสงแบบปกติ ดังแสดงในรูปที่ 3.14 มีวิธีการทดลองดังต่อไปนี้

1. ติดตั้งโซลาร์เซลล์แบบแนวตั้ง 90 องศา
2. ทำการอ่านและเก็บบันทึกข้อมูล ซึ่งมีค่าความเข้มแสง เพาเวอร์เอาต์พุต (วัตต์)

อุณหภูมิบนแผงโซลาร์เซลล์

บทที่ 4

ผลการทดลอง

4.1 ผลการทดลอง

ผลการทดลองสมรรถนะแสงอาทิตย์ที่ความเข้มข้นสูงซึ่งเปรียบกับการทดลองสมรรถนะแสงอาทิตย์ที่ความเข้มข้นปกติเพื่อหาประสิทธิภาพที่เพิ่มขึ้นของการทดลองความเข้มแสงสูงโดยแสดงโดยกราฟอธิบายความสัมพันธ์ของความเข้มแสง (รังสีตรง) ที่มีผลต่อการผลิตกระแสไฟฟ้าของโซลาร์เซลล์และความสัมพันธ์ของอุณหภูมิ (องศาเซลเซียส) ที่ส่งผลกับประสิทธิภาพการผลิตกระแสไฟฟ้าของแผงโซลาร์เซลล์ที่สามารถผลิตได้ในแต่ละวันของการทดลองที่เวลา 10.00 - 15.00 นาฬิกา โดยแสดงค่าทุกๆ 15 นาที (ตารางแสดงผลการทดลองอยู่ใน ภาคผนวก ข.) และสรุปค่า

ผลการทดลองระยะห่างระหว่างเลนส์รวมแสงกับโซลาร์เซลล์ที่ระยะต่างๆในการรับแสงจากเลนส์เฟรสเนลพบว่าเมื่อผลดังนี้ (ตารางแสดงผลอยู่ในภาคผนวกข.)

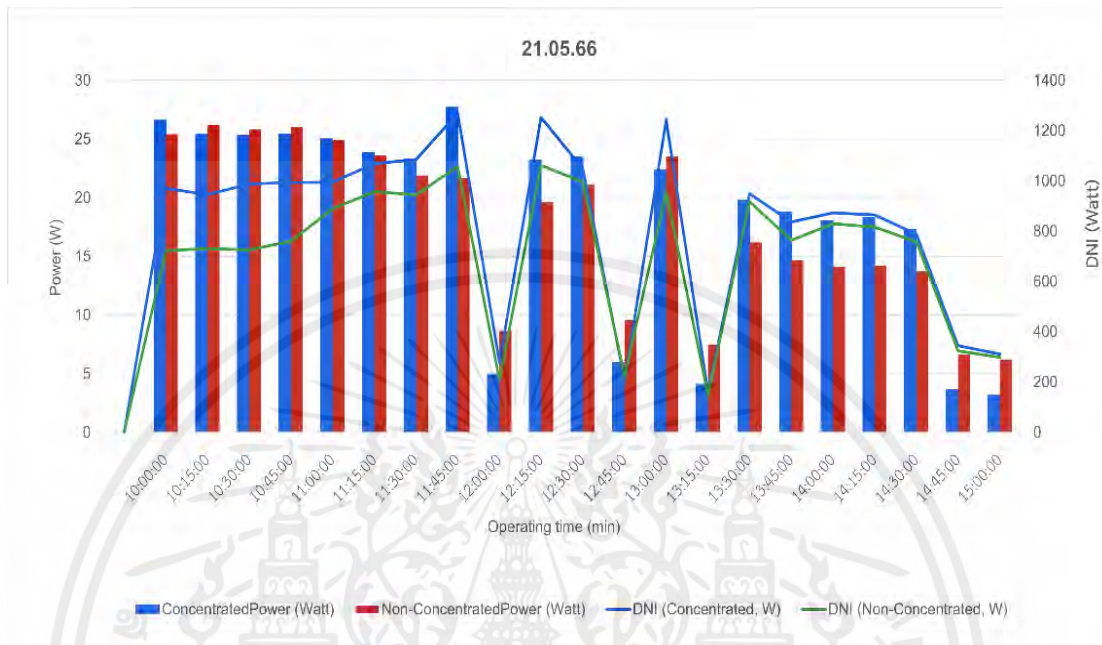
1. ระยะห่างจากเลนส์รวมแสงกับโซลาร์เซลล์ ที่ระยะ 2 เมตร พบว่าแสงจากการรวมแสงส่องไปยังโซลาร์เซลล์โดยมีลักษณะ เป็นจุดตรงกลางแผ่น ที่ให้อุณหภูมิที่สูงเฉพาะจุด
2. ระยะห่างจากเลนส์รวมแสงกับโซลาร์เซลล์ ที่ระยะ 2.5 เมตร พบว่าลำแสงจากการรวมแสงที่กระทบโซลาร์เซลล์ มีลักษณะเป็นจุดตรงกลางแผ่นเช่นเดียวกับ 2 เมตร แต่มีขนาดที่กว้างกว่าโดยมีค่าอุณหภูมิที่น้อยกว่า
3. ระยะห่างจากเลนส์รวมแสงกับโซลาร์เซลล์ ที่ระยะ 3 เมตร พบว่าลำแสงจากการรวมแสงมีขนาดที่กว้างจนเกือบทั่วทั้งแผ่นโซลาร์เซลล์และอุณหภูมิมีน้อยกว่า ระยะที่ 2, 2.5 เมตร
4. ระยะห่างจากเลนส์รวมแสงกับโซลาร์เซลล์ ที่ระยะ 3.3 เมตร พบว่าลำแสงที่ได้จากการรวมแสงมีความกว้างที่พอดีกับขนาดของโซลาร์เซลล์และอุณหภูมิเท่ากันทั่วทั้งแผ่น
5. ระยะห่างจากเลนส์รวมแสงกับโซลาร์เซลล์ ที่ระยะ 3.5 เมตร พบว่าลำแสงจากการรวมแสงมีขนาดที่กว้างกว่าโซลาร์เซลล์ทำให้ค่าความเข้มแสงที่ได้จากการรวมแสงสูญเสียไป

4.1.1 ผลการทดลองแสดงการเปรียบเทียบค่าความสัมพันธ์ของการทดลองรวมแสงของการทดลองในวันที่ 21 พฤษภาคม 2566

จากรูปที่ 4.1 ผลการทดลองมีการเปรียบเทียบค่าความเข้มแสง (รังสีตรง) กับเพาเวอร์เอาต์พุต ในเวลา 10.00 - 15.00 นาฬิกา ซึ่งแสดงค่าทุก 15 นาที พบว่าค่าความเข้มแสง (รังสีตรง) ของการทดลองความเข้มแสงสูงสามารถรับความเข้มแสง (รังสีตรง) ได้มากกว่าแบบความเข้มแสงปกติและยังพบว่าค่าเพาเวอร์เอาต์พุตในบางช่วงเวลาของความเข้มแสงสูงไม่สอดคล้องกับความเข้มที่ได้รับ โดยช่วงค่าที่เก็บได้ของแบบความเข้มแสงสูงมีค่าความเข้มแสง (รังสีตรง) ที่เก็บได้มีค่าอยู่ที่ 160 - 1270 วัตต์

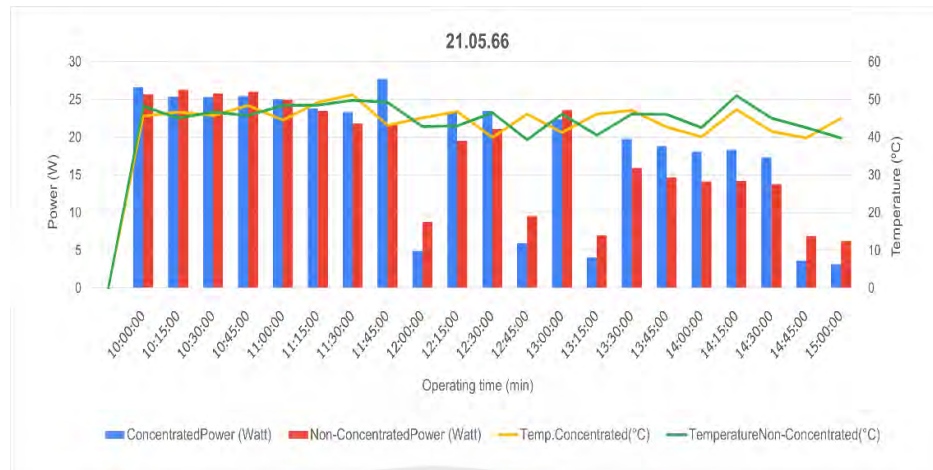
เอกสารนี้เป็นเอกสารที่สงวนไว้สำหรับการใช้งานเพื่อการศึกษาเท่านั้น ไม่อนุญาตให้นำไปใช้ประโยชน์ด้านการค้าไม่ว่ากรณีใดๆ ทั้งสิ้น อีกทั้งห้ามมิให้ดัดแปลงเนื้อหาและต้องอ้างอิงถึงเจ้าของเอกสารทุกครั้งที่มีการนำไปใช้

และค่าเพาเวอร์เอาต์พุตอยู่ที่ 3.17 – 27.70 วัตต์ และแบบความเข้มแสงปกติมีค่าช่วงความเข้มแสงที่เก็บได้มีค่าอยู่ที่ 148 – 1062 วัตต์ และค่าเพาเวอร์เอาต์พุตอยู่ที่ 6.20 - 26.20 วัตต์



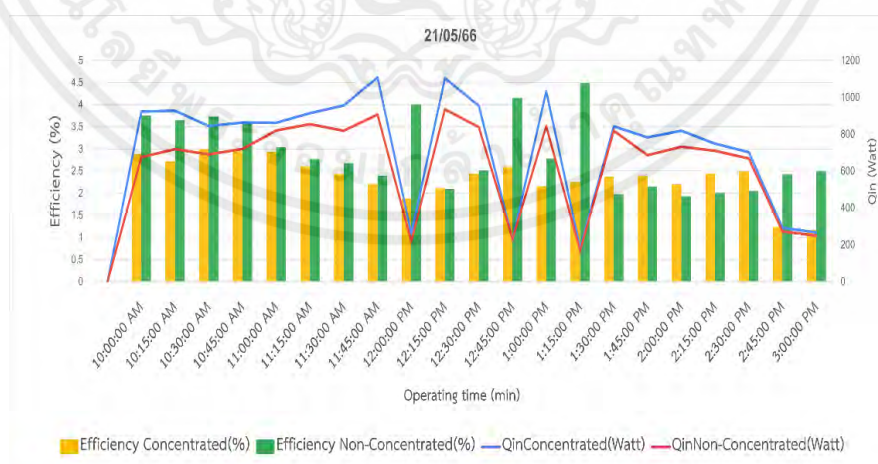
รูปที่ 4.1 แสดงค่าเปรียบเทียบความสัมพันธ์ระหว่างเพาเวอร์เอาต์พุต (วัตต์) กับค่าความเข้มแสง (รังสีตรง) (วัตต์) ที่เวลาใดๆ

รูปที่ 4.2 ผลการทดลองเปรียบเทียบค่าอุณหภูมิ (องศาเซลเซียส) กับค่าเพาเวอร์เอาต์พุต ในเวลา 10.00 - 15.00 นาฬิกา ซึ่งแสดงค่าทุก 15 นาที พบว่าอุณหภูมิ (องศาเซลเซียส) ของแผงโซลาร์เซลล์นั้นมีผลต่อค่าเพาเวอร์เอาต์พุต จากรูปแสดงให้เห็นว่าแผงโซลาร์เซลล์นั้นเกิดการสะสมความร้อนจากการรับความเข้มแสงของดวงอาทิตย์ จากค่าความเข้มแสงที่ได้รับทำให้ให้อุณหภูมิของแผงแบบความเข้มสูงมีอุณหภูมิที่สูงกว่าและเป็นผลให้ประสิทธิภาพที่ได้น้อยลง โดยช่วงค่าที่เก็บได้ของแบบความเข้มสูงมีค่าอุณหภูมิ (องศาเซลเซียส) ที่เก็บได้มีค่าอยู่ที่ 39.8 - 51.2 องศา และค่าเพาเวอร์เอาต์พุตอยู่ที่ 3.10 – 27.70 วัตต์ และแบบความเข้มแสงปกติมีค่าอุณหภูมิ (องศาเซลเซียส) อยู่ที่ 39.3 – 51.0 องศา และค่าเพาเวอร์เอาต์พุตอยู่ที่ 6.2 - 26.20 วัตต์



รูปที่ 4.2 แสดงค่าเปรียบเทียบความสัมพันธ์ระหว่างเพาเวอร์เอาต์พุต (วัตต์) กับอุณหภูมิบนแผงโซลาร์เซลล์ (องศาเซลเซียส) ที่เวลาใดๆ

รูปที่ 4.3 ผลการทดลองความสัมพันธ์ระหว่างค่าความเข้มแสงขาเข้า (Q_{in}) กับค่าประสิทธิภาพ (เปอร์เซ็นต์) ในเวลา 10.00 - 15.00 นาฬิกา ซึ่งแสดงค่าทุก 15 นาที พบว่าค่าความเข้มแสงขาเข้า (Q_{in}) ที่ได้รับของการทดลองแบบความเข้มสูงมากกว่าแบบความเข้มแสงปกติตลอดการทดลองแต่ค่าประสิทธิภาพในช่วงเวลามีค่าน้อยซึ่งเป็นผลจากอุณหภูมิที่โซลาร์เซลล์ได้รับจากการรวมแสงโดยช่วงค่าที่เก็บได้ของแบบความเข้มสูงมีค่าความเข้มแสงขาเข้า (Q_{in}) สูงสุดที่เก็บได้มีค่าอยู่ที่ 260.92 - 1107.62 วัตต์ และค่าประสิทธิภาพอยู่ที่ 1.16 - 2.99 เปอร์เซ็นต์ และแบบความเข้มแสงปกติมีค่าความเข้มแสงต่อพื้นที่ (Q_{in}) อยู่ที่ 167 - 907.41 วัตต์ และค่าประสิทธิภาพอยู่ที่ 1.93 - 4.48 เปอร์เซ็นต์

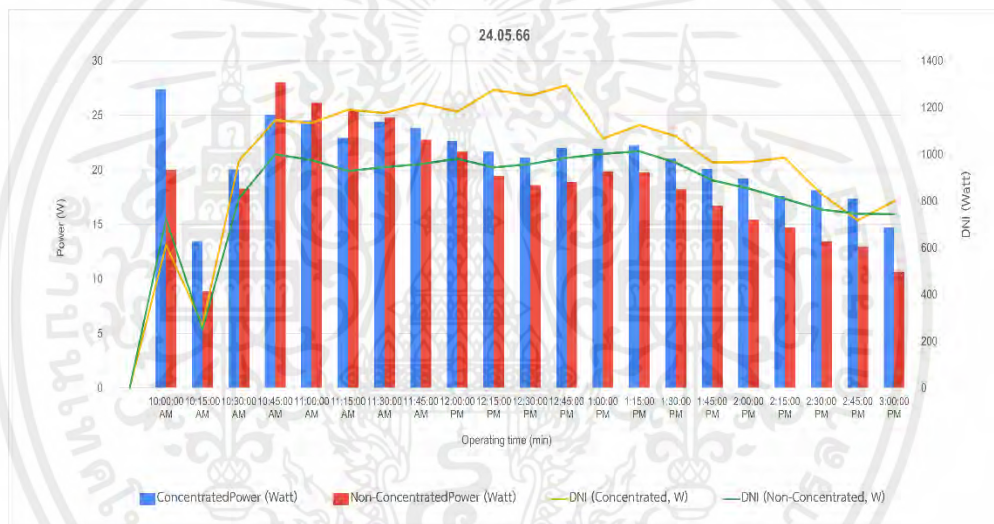


รูปที่ 4.3 แสดงค่าเปรียบเทียบค่าความเข้มแสงขาเข้า (Q_{in} , วัตต์) กับค่าประสิทธิภาพ (เปอร์เซ็นต์) ของโซลาร์เซลล์ที่เวลาใดๆ

เอกสารนี้เป็นเอกสารที่สงวนไว้สำหรับการใช้งานเพื่อการศึกษาเท่านั้น ไม่อนุญาตให้นำไปใช้ประโยชน์ด้านการค้าไม่ว่ากรณีใดๆ ทั้งสิ้น อีกทั้งห้ามมิให้คัดแปลงเนื้อหาและต้องอ้างอิงถึงเจ้าของเอกสารทุกครั้งที่มีการนำไปใช้

4.1.2 ผลการทดลองแสดงการเปรียบเทียบค่าความสัมพันธ์ของการทดลองรวมแสงของการทดลองในวันที่ 24 พฤษภาคม 2566

จากรูปที่ 4.4 ผลการทดลองมีการเปรียบเทียบค่าความเข้มแสง (รังสีตรง) กับเพาเวอร์เอาต์พุต ในเวลา 10.00 - 15.00 นาฬิกา ซึ่งแสดงค่าทุก 15 นาที พบว่าค่าความเข้มแสง (รังสีตรง) ของการทดลองความเข้มแสงสูงสามารถรับความเข้มแสง (รังสีตรง) ได้มากกว่าแบบความเข้มแสงปกติและยังพบว่าค่าเพาเวอร์เอาต์พุตในช่วงเวลา 10.45 - 11.30 นาฬิกา ของความเข้มแสงสูงไม่สอดคล้องกับเพาเวอร์เอาต์พุตที่ได้รับ โดยช่วงค่าที่เก็บได้ของแบบความเข้มแสงสูงมีค่าความเข้มแสง (รังสีตรง) ที่เก็บได้มีค่าอยู่ที่ 270 - 1295 วัตต์ และค่าเพาเวอร์เอาต์พุตอยู่ที่ 13.42 - 27.39 วัตต์ และแบบความเข้มแสงปกติมีค่าช่วงความเข้มแสงที่เก็บได้อยู่ที่ 250 - 1013 วัตต์ และค่าเพาเวอร์เอาต์พุตอยู่ที่ 8.85 - 28.01 วัตต์

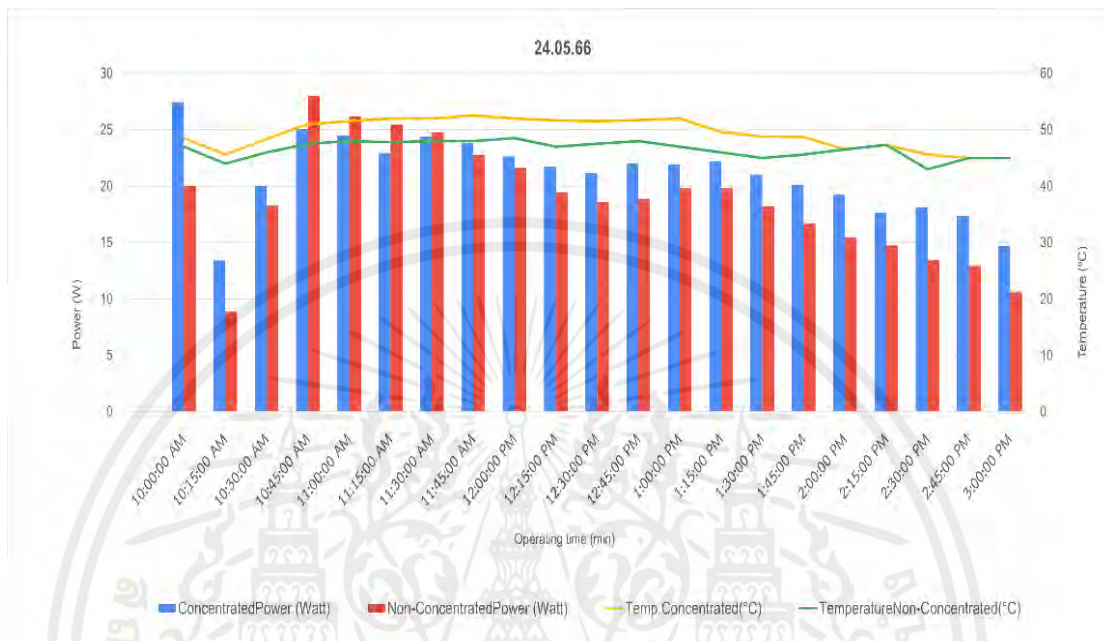


รูปที่ 4.4 แสดงค่าเปรียบเทียบความสัมพันธ์ระหว่างเพาเวอร์เอาต์พุต (วัตต์) กับค่าความเข้มแสง (รังสีตรง) (วัตต์) ที่เวลาใดๆ

รูปที่ 4.5 ผลการทดลองเปรียบเทียบค่าอุณหภูมิ (องศาเซลเซียส) กับค่าเพาเวอร์เอาต์พุต ในเวลา 10.00 - 15.00 นาฬิกา ซึ่งแสดงค่าทุก 15 นาที พบว่าค่าอุณหภูมิ (องศาเซลเซียส) ของการทดลองความเข้มแสงสูงมีอุณหภูมิ (องศาเซลเซียส) สูงมากกว่าแบบความเข้มแสงปกติ และยังพบว่าค่าเพาเวอร์เอาต์พุตในช่วงเวลา 10.45 - 11.30 นาฬิกา ของความเข้มแสงสูงไม่สอดคล้องกับเพาเวอร์เอาต์พุตที่ได้รับเนื่องจากมีอุณหภูมิที่เพิ่มขึ้นทำให้อุณหภูมิของแผงแบบความเข้มสูงมีอุณหภูมิที่สูงกว่าและเป็นผลให้ประสิทธิภาพที่ได้น้อยลง โดยช่วงค่าที่เก็บได้ของแบบความเข้มแสงสูงมีค่าอุณหภูมิ

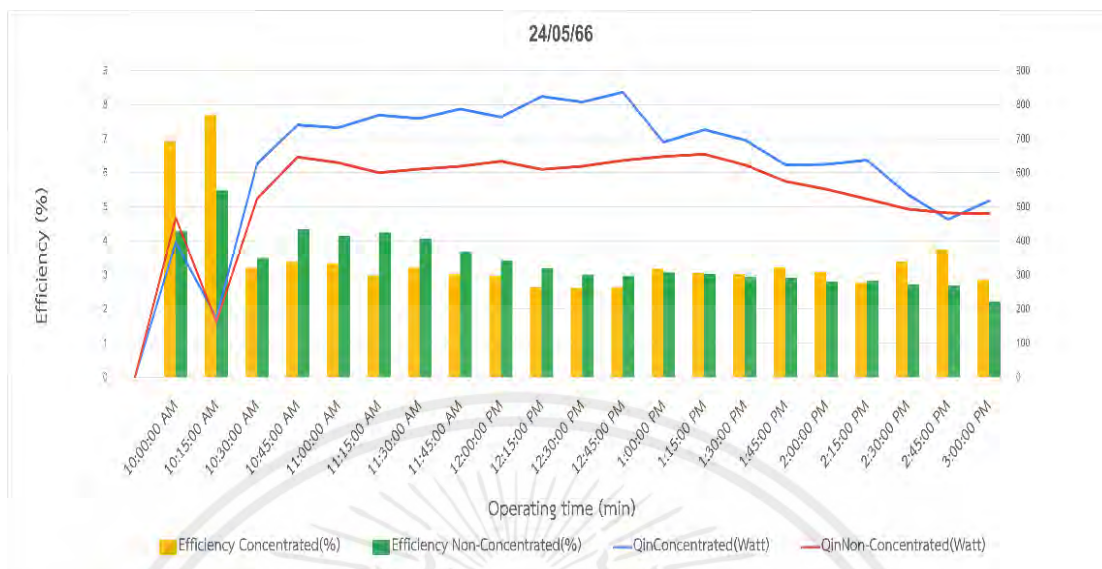
เอกสารนี้เป็นเอกสารที่สงวนไว้สำหรับการใช้งานเพื่อการศึกษาเท่านั้น ไม่อนุญาตให้นำไปใช้ประโยชน์ด้านการค้าไม่ว่ากรณีใดๆ ทั้งสิ้น อีกทั้งห้ามมิให้คัดแปลงเนื้อหาและต้องอ้างอิงถึงเจ้าของเอกสารทุกครั้งที่มีการนำไปใช้

(องศาเซลเซียส) ที่เก็บได้มีค่าอยู่ที่ 45 - 52.50 องศา และค่าเพาเวอร์เอาต์พุตอยู่ที่ 13.42 – 27.39 วัตต์ และแบบความเข้มแสงปกติมีค่าอุณหภูมิ (องศาเซลเซียส) อยู่ที่ 43.00 – 48.5 องศา และค่าเพาเวอร์เอาต์พุตอยู่ที่ 8.85 – 28.01 วัตต์



รูปที่ 4.5 แสดงค่าเปรียบเทียบความสัมพันธ์ระหว่างเพาเวอร์เอาต์พุต (วัตต์) กับอุณหภูมิบนแผงโซลาร์เซลล์ (องศาเซลเซียส) ที่เวลาใดๆ

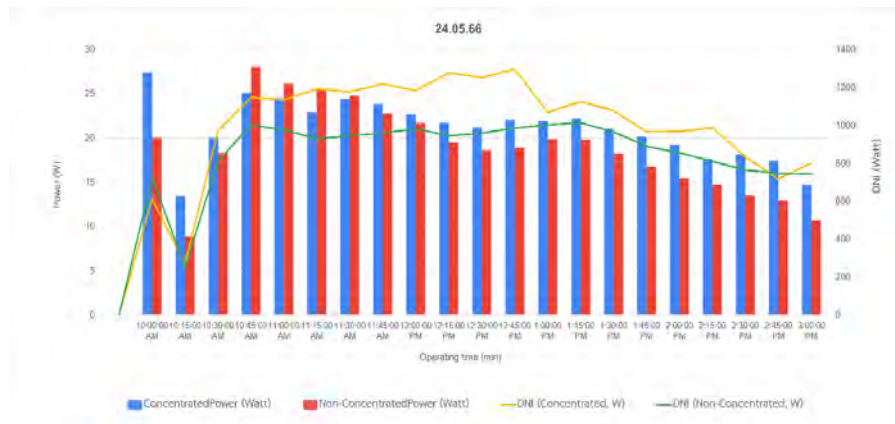
รูปที่ 4.6 ผลการทดลองความสัมพันธ์ระหว่างค่าความเข้มแสงขาเข้า (Qin) กับค่าประสิทธิภาพ (เปอร์เซ็นต์) ในเวลา 10.00 - 15.00 นาฬิกา ซึ่งแสดงค่าทุก 15 นาที พบว่าค่าความเข้มแสงขาเข้า (Qin) ที่ได้รับของการทดลองแบบความเข้มสูงมากกว่าแบบความเข้มปกติตลอดการทดลองแต่ค่าประสิทธิภาพในบางเวลา 10.30 นาฬิกา ค่าประสิทธิภาพไม่สอดคล้องกันกับค่าความเข้มแสงขาเข้ามีผลมาจากอุณหภูมิที่สูงขึ้นตามความเข้มแสงขาเข้า โดยช่วงค่าที่เก็บได้ของแบบความเข้มสูงมีค่าความเข้มแสงขาเข้า (Qin) สูงสุดที่เก็บได้มีค่าอยู่ที่ 174 - 836 วัตต์ และค่าประสิทธิภาพ (เปอร์เซ็นต์) อยู่ที่ 2.62 - 7.69 เปอร์เซ็นต์ และแบบความเข้มแสงปกติมีค่าความเข้มแสงต่อพื้นที่ (Qin) อยู่ที่ 161.46 – 654 วัตต์ และค่าประสิทธิภาพ (เปอร์เซ็นต์) อยู่ที่ 2.22 - 5.48 เปอร์เซ็นต์



รูปที่ 4.6 แสดงค่าเปรียบเทียบค่าความเข้มแสงขาเข้า (Q_{in} , วัตต์) กับค่าประสิทธิภาพ (เปอร์เซ็นต์) ของโซล่าเซลล์ที่เวลาใดๆ

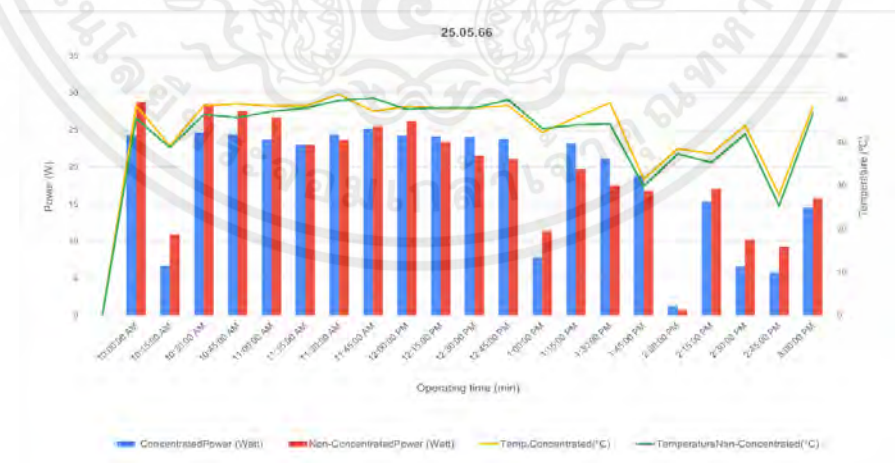
4.1.3 ผลการทดลองแสดงการเปรียบเทียบค่าความสัมพันธ์ของการทดลองรวมแสงของการทดลองในวันที่ 25 พฤษภาคม 2566

จากรูปที่ 4.7 ผลการทดลองมีการเปรียบเทียบค่าความเข้มแสง (รังสีตรง) กับเพาเวอร์เอาต์พุต ในเวลา 10.00 - 15.00 นาฬิกา ซึ่งแสดงค่าทุก 15 นาที พบว่าค่าความเข้มแสง (รังสีตรง) ของการทดลองความเข้มแสงสูงสามารถรับความเข้มแสง (รังสีตรง) ได้มากกว่าแบบความเข้มแสงปกติ ในช่วงเวลา 10.30 - 11.00 นาฬิกา เพาเวอร์เอาต์พุตไม่สอดคล้องกันกับค่าความเข้มแสง โดยช่วงค่าที่เก็บได้ของแบบความเข้มแสงสูงมีค่าความเข้มแสง (รังสีตรง) ที่เก็บได้มีค่าอยู่ที่ 214 - 1391 วัตต์ และค่าเพาเวอร์เอาต์พุตอยู่ที่ 1.26 - 25.18 วัตต์ และแบบความเข้มแสงปกติมีค่าช่วงความเข้มแสงที่เก็บได้มีค่าอยู่ที่ 250 - 1013 วัตต์ และค่าเพาเวอร์เอาต์พุตอยู่ที่ 8.85 - 28.01 วัตต์



รูปที่ 4.7 แสดงค่าเปรียบเทียบความสัมพันธ์ระหว่าง เพาเวอร์เอาต์พุต (วัตต์) กับค่าความเข้มแสง (รังสีตรง) (วัตต์) ที่เวลาใดๆ

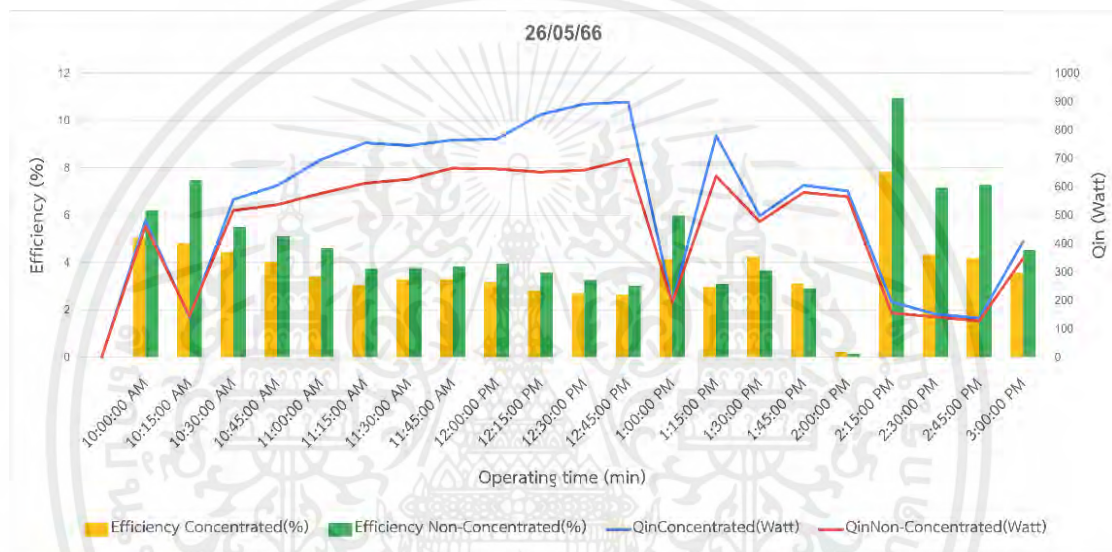
รูปที่ 4.8 ผลการทดลองเปรียบเทียบอุณหภูมิ (องศาเซลเซียส) กับค่าเพาเวอร์เอาต์พุต ในเวลา 10.00 - 15.00 นาฬิกา ซึ่งแสดงค่าทุก 15 นาที พบว่าอุณหภูมิ (องศาเซลเซียส) ของการทดลองความเข้มแสงสูงมีอุณหภูมิ (องศาเซลเซียส) สูงมากกว่าแบบความเข้มแสงปกติ ในช่วงเวลา 10.30 - 11.00 พบว่าค่าช่วงนี้แสดงอุณหภูมิของแผงที่เพิ่มสูงขึ้น จึงสามารถสรุปได้ว่า อุณหภูมิเป็นผลให้กำลังไฟฟ้าที่ได้จากโซลาร์เซลล์ลดลง โดยช่วงค่าที่เก็บได้ของแบบความเข้มแสงสูงมีค่าอุณหภูมิ (องศาเซลเซียส) ที่เก็บได้มีค่าอยู่ที่ 27.90 – 51.10 องศา และค่าเพาเวอร์เอาต์พุตอยู่ที่ 1.26 – 24.62 วัตต์ และแบบความเข้มแสงปกติมีค่าอุณหภูมิ (องศาเซลเซียส) อยู่ที่ 25.3 – 50.2 องศา และค่าเพาเวอร์เอาต์พุตอยู่ที่ 0.78 - 28.74 วัตต์



รูปที่ 4.8 แสดงค่าเปรียบเทียบความสัมพันธ์ระหว่างเพาเวอร์เอาต์พุต (วัตต์) กับอุณหภูมิบนแผงโซลาร์เซลล์ (องศาเซลเซียส) ที่เวลาใดๆ

เอกสารนี้เป็นเอกสารที่สงวนไว้สำหรับการใช้งานเพื่อการศึกษาเท่านั้น ไม่อนุญาตให้นำไปใช้ประโยชน์ด้านการค้าไม่ว่ากรณีใดๆ ทั้งสิ้น อีกทั้งห้ามมิให้คัดแปลงเนื้อหาและต้องอ้างอิงถึงเจ้าของเอกสารทุกครั้งที่มีการนำไปใช้

รูปที่ 4.9 ผลการทดลองความสัมพันธ์ระหว่างค่าความเข้มแสงขาเข้า (Q_{in}) กับค่าประสิทธิภาพ (เปอร์เซ็นต์) ในเวลา 10.00 - 15.00 นาฬิกา ซึ่งแสดงค่าทุก 15 นาที พบว่าค่าความเข้มแสงขาเข้า (Q_{in}) ที่ได้รับของการทดลองแบบความเข้มสูงมากกว่าแบบความเข้มแสงปกติตลอดการทดลอง โดยช่วงเวลา 10.00 - 11.00 นาฬิกา ค่าประสิทธิภาพที่ได้ไม่เป็นไปตามค่าความเข้มแสงขาเข้าที่เพิ่มขึ้น โดยช่วงค่าที่เก็บได้ของแบบความเข้มสูงมีค่าความเข้มแสงขาเข้า (Q_{in}) สูงสุดที่เก็บได้มีค่าอยู่ที่ 138.21 - 898.36 วัตต์ และค่าประสิทธิภาพ (เปอร์เซ็นต์) อยู่ที่ 0.21 - 7.82 เปอร์เซ็นต์ และแบบความเข้มแสงปกติมีค่าความเข้มแสงต่อพื้นที่ (Q_{in}) อยู่ที่ 127.88 - 697.51 วัตต์ และค่าประสิทธิภาพอยู่ที่ 0.14 - 10.95 เปอร์เซ็นต์

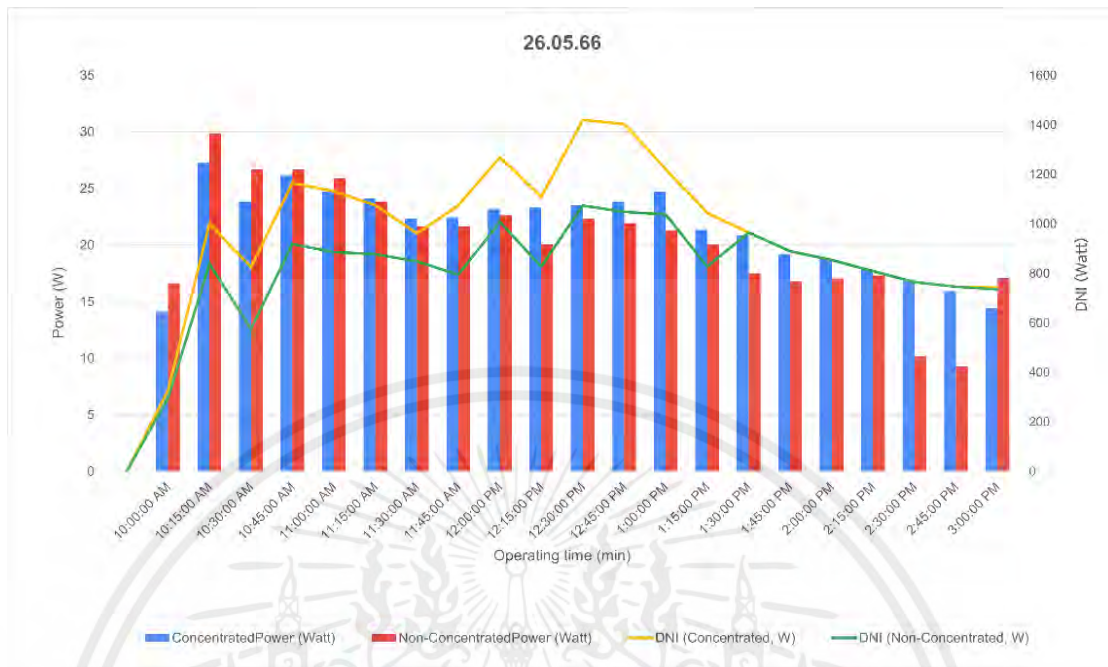


รูปที่ 4.9 แสดงค่าเปรียบเทียบค่าความเข้มแสงขาเข้า (Q_{in} , วัตต์) กับค่าประสิทธิภาพ (เปอร์เซ็นต์) ของโซลาร์เซลล์ที่เวลาใดๆ

4.1.4 ผลการทดลองแสดงการเปรียบเทียบค่าความสัมพันธ์ของการทดลองรวมแสงของการทดลองในวันที่ 26 พฤษภาคม 2566

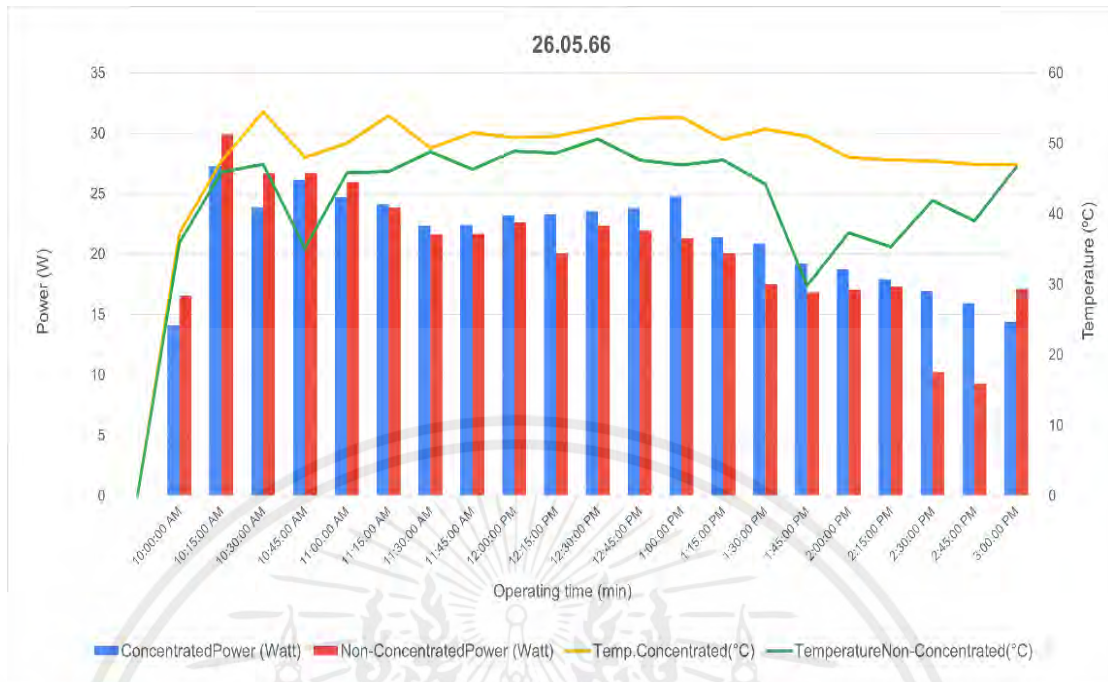
จากรูปที่ 4.10 ผลการทดลองมีการเปรียบเทียบค่าความเข้มแสง (รังสีตรง) กับเพาเวอร์เอาต์พุต ในเวลา 10.00 - 15.00 นาฬิกา ซึ่งแสดงค่าทุก 15 นาที พบว่าค่าความเข้มแสง (รังสีตรง) ของการทดลองความเข้มแสงสูงสามารถรับความเข้มแสง (รังสีตรง) ได้มากกว่าแบบความเข้มแสงปกติเป็นแบบนี้ตลอดทั้งโดยพบว่าทุกครั้งที่ค่าความเข้มแสงเพิ่มขึ้นพลังงานที่ได้ของแบบความเข้มสูงจะมีประสิทธิภาพน้อยกว่าแบบความเข้มปกติ โดยช่วงค่าที่เก็บได้ของแบบความเข้มสูงมีค่าความเข้มแสง (รังสีตรง) ที่เก็บได้มีค่าอยู่ที่ 328 - 1420 วัตต์ และค่าเพาเวอร์เอาต์พุตอยู่ที่ 14.08 - 27.26 วัตต์ และแบบความเข้มแสงปกติมีค่าช่วงความเข้มแสงที่เก็บได้อยู่ที่ 296 - 1074 วัตต์ และค่าเพาเวอร์เอาต์พุตอยู่ที่ 9.30 - 29.88 วัตต์

เอกสารนี้เป็นเอกสารที่สงวนไว้สำหรับการใช้งานเพื่อการศึกษาเท่านั้น ไม่อนุญาตให้นำไปใช้ประโยชน์ด้านการค้าไม่ว่ากรณีใดๆ ทั้งสิ้น อีกทั้งห้ามมิให้คัดแปลงเนื้อหาและต้องอ้างอิงถึงเจ้าของเอกสารทุกครั้งที่มีการนำไปใช้



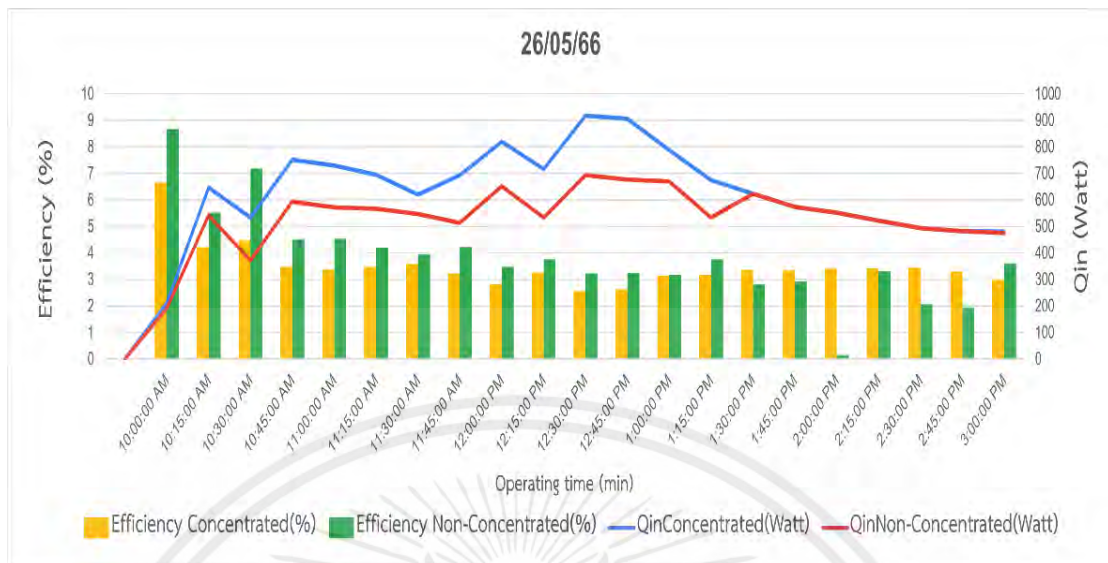
รูปที่ 4.10 แสดงค่าเปรียบเทียบความสัมพันธ์ระหว่าง เพาเวอร์เอาต์พุต (วัตต์) กับค่าความเข้มแสง (รังสีตรง) (วัตต์) ที่เวลาใดๆ

รูปที่ 4.11 ผลการทดลองเปรียบเทียบค่าอุณหภูมิ (องศาเซลเซียส) กับค่าเพาเวอร์เอาต์พุต ในเวลา 10.00 - 15.00 นาฬิกา ซึ่งแสดงค่าทุก 15 นาที พบว่าอุณหภูมิ (องศาเซลเซียส) ของการทดลองความเข้มแสงสูงมีอุณหภูมิ (องศาเซลเซียส) สูงกว่าแบบความเข้มแสงปกติ อีกทั้งพบว่า ช่วงเวลาที่อุณหภูมิส่งผลกระทบต่อการผลิตไฟฟ้าที่ไม่สอดคล้องกับค่ารังสีที่ได้รับคือ 10.15 - 11.00 นาฬิกา ซึ่งมาจากอุณหภูมิที่พุ่งสูงขึ้นอย่างรวดเร็ว จึงเป็นที่มาของค่าเพาเวอร์เอาต์พุตน้อยลง โดยช่วงค่าที่เก็บได้ของแบบความเข้มแสงสูงมีค่าอุณหภูมิ (องศาเซลเซียส) ที่เก็บได้มีค่าอยู่ที่ 37.20 - 53.9 องศา และค่าเพาเวอร์เอาต์พุตอยู่ที่ 14.08 - 27.26 วัตต์ และแบบความเข้มแสงปกติมีค่าอุณหภูมิ (องศาเซลเซียส) อยู่ที่ 29.8 - 50 องศา และค่าเพาเวอร์เอาต์พุตอยู่ที่ 9.30 - 29.88 วัตต์



รูปที่ 4.11 แสดงค่าเปรียบเทียบความสัมพันธ์ระหว่างเพาเวอร์เอาต์พุต (วัตต์) กับอุณหภูมิบนแผงโซลาร์เซลล์ (องศาเซลเซียส) ที่เวลาใดๆ

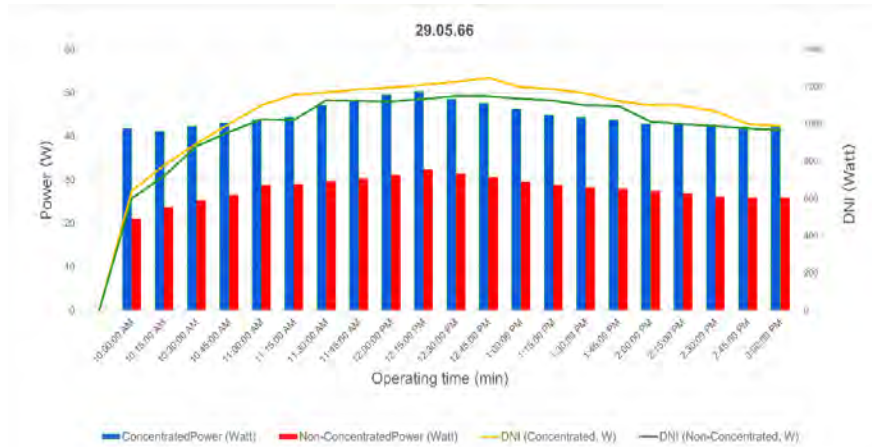
รูปที่ 4.12 ผลการทดลองความสัมพันธ์ระหว่างค่าความเข้มแสงขาเข้า (Q_{in}) กับค่าประสิทธิภาพ (เปอร์เซ็นต์) ในเวลา 10.00 - 15.00 นาฬิกา ซึ่งแสดงค่าทุก 15 นาที พบว่าค่าความเข้มแสงขาเข้า (Q_{in}) ที่ได้รับของการทดลองแบบความเข้มสูงมากกว่าแบบความเข้มแสงปกติตลอดการทดลองจนกระทั่งถึงเวลา 13.30 นาฬิกา พบว่าค่าความเข้มแสงขาเข้ามีค่าเท่ากันแต่ประสิทธิภาพที่ได้มีความแตกต่างกัน จึงสามารถสรุปได้ชัดว่า อุณหภูมิเป็นที่มาของค่าประสิทธิภาพที่ลดลงโดยช่วงค่าที่เก็บได้ของแบบความเข้มสูงมีค่าความเข้มแสงขาเข้า (Q_{in}) สูงสุดที่เก็บได้มีค่าอยู่ที่ 211.84 - 917 วัตต์ และค่าประสิทธิภาพอยู่ที่ 2.57 - 6.65 เปอร์เซ็นต์ และแบบความเข้มแสงปกติมีค่าความเข้มแสงต่อพื้นที่ (Q_{in}) อยู่ที่ 191.17 - 693.63 วัตต์ และค่าประสิทธิภาพอยู่ที่ 1.93 - 8.67 เปอร์เซ็นต์



รูปที่ 4.12 แสดงค่าเปรียบเทียบค่าความเข้มแสงขาเข้า (Q_{in} , วัตต์) กับค่าประสิทธิภาพ (เปอร์เซ็นต์) ของโซลาร์เซลล์ที่เวลาใดๆ

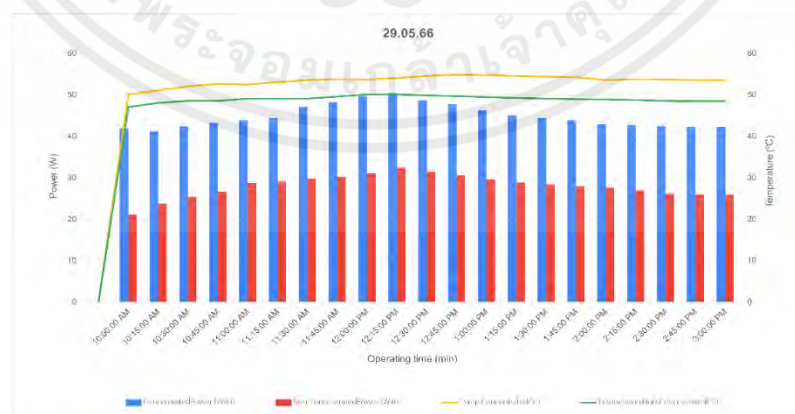
4.1.5 ผลการทดลองแสดงการเปรียบเทียบค่าความสัมพันธ์ของการทดลองรวมแสงของการทดลองในวันที่ 29 พฤษภาคม 2566

จากรูปที่ 4.13 ผลการทดลองมีการเปรียบเทียบค่าความเข้มแสง (รังสีตรง) กับเพาเวอร์เอาต์พุต ในเวลา 10.00 - 15.00 นาฬิกา ซึ่งแสดงค่าทุก 15 นาที พบว่าค่าความเข้มแสง (รังสีตรง) ของการทดลองความเข้มแสงสูงสามารถรับความเข้มแสง (รังสีตรง) ได้มากกว่าแบบความเข้มแสงปกติเป็นแบบนี้ตลอดทั้งวันพบว่าเวลา 10.00 - 15 นาฬิกา ค่าความเข้มแสงมีค่าเพิ่มขึ้น และหลังจากนั้นค่าความเข้มแสงจะลดลงตามลำดับ และค่าเพาเวอร์อินพุตที่ได้มีความสอดคล้องและเป็นไปตามรังสีของดวงอาทิตย์ที่ได้รับ โดยช่วงค่าที่เก็บได้ของแบบความเข้มแสงสูงมีค่าความเข้มแสง (รังสีตรง) ที่เก็บได้มีค่าอยู่ที่ 641 - 1248 วัตต์ และค่าเพาเวอร์เอาต์พุตอยู่ที่ 41.18 - 50.35 วัตต์ และแบบความเข้มแสงปกติมีค่าช่วงความเข้มแสงที่เก็บได้มีค่าอยู่ที่ 600 - 1150 วัตต์ และค่าเพาเวอร์เอาต์พุตอยู่ที่ 21.04 - 32.39 วัตต์



รูปที่ 4.13 แสดงค่าเปรียบเทียบความสัมพันธ์ระหว่างเพาเวอร์เอาต์พุต (วัตต์) กับค่าความเข้มแสง (รังสีตรง) (วัตต์) ที่เวลาใดๆ

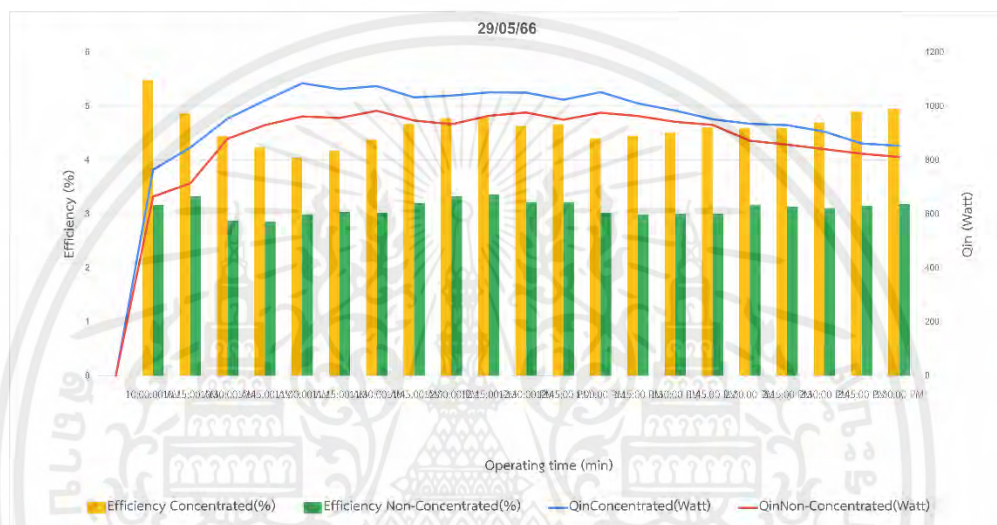
รูปที่ 4.14 ผลการทดลองเปรียบเทียบค่าอุณหภูมิ (องศาเซลเซียส) กับค่าเพาเวอร์เอาต์พุต ในเวลา 10.00 - 15.00 นาฬิกา ซึ่งแสดงค่าทุก 15 นาที พบว่าในสภาพอากาศลมพัดตลอดทั้งวันและค่าอุณหภูมิ (องศาเซลเซียส) ของการทดลองความเข้มแสงสูงมีอุณหภูมิ (องศาเซลเซียส) สูงมากกว่าแบบความเข้มแสงปกติโดยพบว่า ลมจากสภาพอากาศช่วยพาความร้อนของโซล่าเซลล์ออกมีผลทำให้เมื่ออุณหภูมิเย็นลงทำให้กำลังไฟฟ้าของโซล่าเซลล์ดีขึ้น โดยช่วงค่าที่เก็บได้ของแบบความเข้มแสงสูงมีค่าอุณหภูมิ (องศาเซลเซียส) ที่เก็บได้มีค่าอยู่ที่ 50 - 54.8 องศา และค่าเพาเวอร์เอาต์พุตอยู่ที่ 41.18 - 50.35 วัตต์ และแบบความเข้มแสงปกติมีค่าอุณหภูมิ (องศาเซลเซียส) อยู่ที่ 47.0 - 50.0 องศา และค่าเพาเวอร์เอาต์พุตอยู่ที่ 21.04 - 32.39 วัตต์



รูปที่ 4.14 แสดงค่าเปรียบเทียบความสัมพันธ์ระหว่างเพาเวอร์เอาต์พุต (วัตต์) กับอุณหภูมิบนแผงโซล่าเซลล์ (องศาเซลเซียส) ที่เวลาใดๆ

เอกสารนี้เป็นเอกสารที่สงวนไว้สำหรับการใช้งานเพื่อการศึกษาเท่านั้น ไม่อนุญาตให้นำไปใช้ประโยชน์ด้านการค้าไม่ว่ากรณีใดๆ ทั้งสิ้น อีกทั้งห้ามมิให้คัดแปลงเนื้อหาและต้องอ้างอิงถึงเจ้าของเอกสารทุกครั้งที่มีการนำไปใช้

รูปที่ 4.15 ผลการทดลองความสัมพันธ์ระหว่างค่าความเข้มแสงขาเข้า (Q_{in}) กับค่าประสิทธิภาพ (เปอร์เซ็นต์) ในเวลา 10.00 - 15.00 นาฬิกา ซึ่งแสดงค่าทุก 15 นาที พบว่าค่าความเข้มแสงขาเข้า (Q_{in}) ที่ได้รับของการทดลองแบบความเข้มสูงมากกว่าแบบความเข้มแสงปกติตลอดการทดลองและค่าประสิทธิภาพสอดคล้องกับค่าความเข้มแสงขาเข้า โดยช่วงค่าที่เก็บได้ของแบบความเข้มแสงสูงมีค่าความเข้มแสงขาเข้า (Q_{in}) สูงสุดที่เก็บได้มีค่าอยู่ที่ 763.38 - 1084 วัตต์ และค่าประสิทธิภาพอยู่ที่ 4.04-5.48 เปอร์เซ็นต์ และแบบความเข้มแสงปกติมีค่าความเข้มแสงต่อพื้นที่ (Q_{in}) อยู่ที่ 663.92 - 982.97 วัตต์ และค่าประสิทธิภาพอยู่ที่ 2.85 - 3.36 เปอร์เซ็นต์

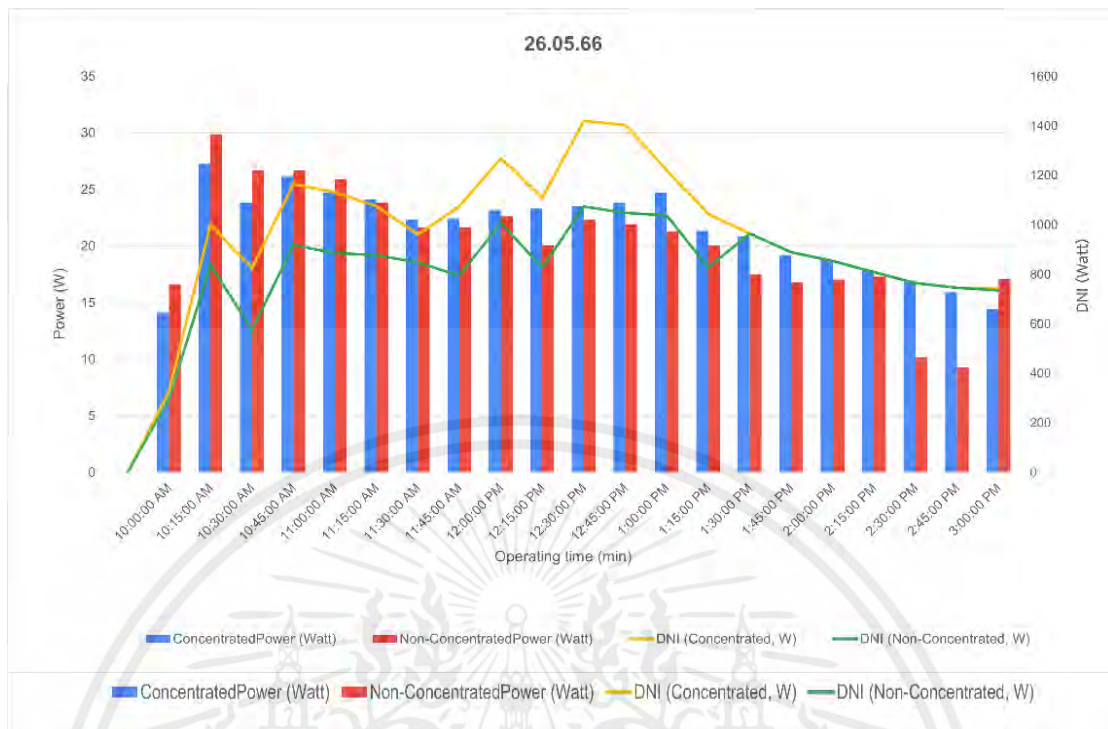


รูปที่ 4.15 แสดงค่าเปรียบเทียบค่าความเข้มแสงขาเข้า (Q_{in} , วัตต์) กับค่าประสิทธิภาพ (เปอร์เซ็นต์) ของโซล่าเซลล์ที่เวลาใดๆ

4.1.6 ผลการทดลองแสดงการเปรียบเทียบค่าความสัมพันธ์ของการทดลองรวมแสงของการทดลองในวันที่ 02 มิถุนายน 2566

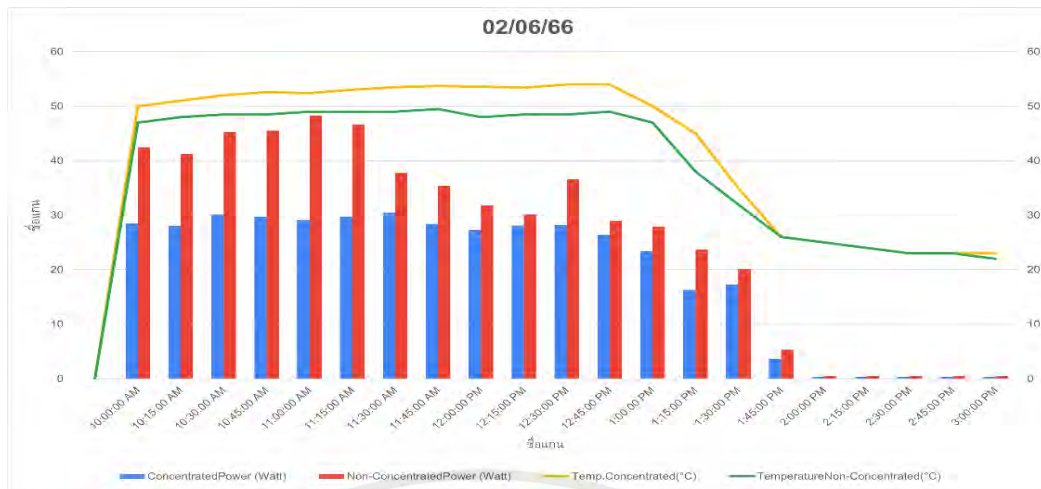
จากรูปที่ 4.16 ผลการทดลองมีการเปรียบเทียบค่าความเข้มแสง (รังสีตรง) กับเพาเวอร์เอาต์พุต ในเวลา 10.00 - 15.00 นาฬิกา ซึ่งแสดงค่าทุก 15 นาที พบว่าค่าความเข้มแสง (รังสีตรง) ของการทดลองความเข้มแสงสูงสามารถรับความเข้มแสง (รังสีตรง) ได้มากกว่าแบบความเข้มแสงปกติและมีความไม่สอดคล้องกันของค่าความเข้มแสงที่ได้รับของแบบความเข้มสูงและเพาเวอร์เอาต์พุตที่ได้ ซึ่งเป็นผลจากความเข้มแสงสูงที่มากพร้อมกับอุณหภูมิที่สูงเช่นกัน จึงเป็นผลให้ค่าประสิทธิภาพการผลิตไฟฟ้าไม่สอดคล้องกันจากนั้นหลังจาก 14.00 นาฬิกา เป็นต้นไปมีฝนตกจึงไม่มีค่าที่สามารถเก็บได้ โดยช่วงค่าที่เก็บได้ของแบบความเข้มแสงสูงมีค่าความเข้มแสง (รังสีตรง) ที่เก็บได้มีค่าอยู่ที่ 0 - 1248 วัตต์ และค่าเพาเวอร์เอาต์พุตอยู่ที่ 0.36 - 30.50 วัตต์ และแบบความเข้มแสงปกติมีค่าช่วงความเข้มแสงที่เก็บได้มีค่าอยู่ที่ 600 - 1150 วัตต์ และค่าเพาเวอร์เอาต์พุตอยู่ที่ 0.53 - 48.27 วัตต์

เอกสารนี้เป็นเอกสารที่สงวนไว้สำหรับการใช้งานเพื่อการศึกษาเท่านั้น ไม่อนุญาตให้นำไปใช้ประโยชน์ด้านการค้าไม่ว่ากรณีใดๆ ทั้งสิ้น อีกทั้งห้ามมิให้คัดแปลงเนื้อหาและต้องอ้างอิงถึงเจ้าของเอกสารทุกครั้งที่มีการนำไปใช้

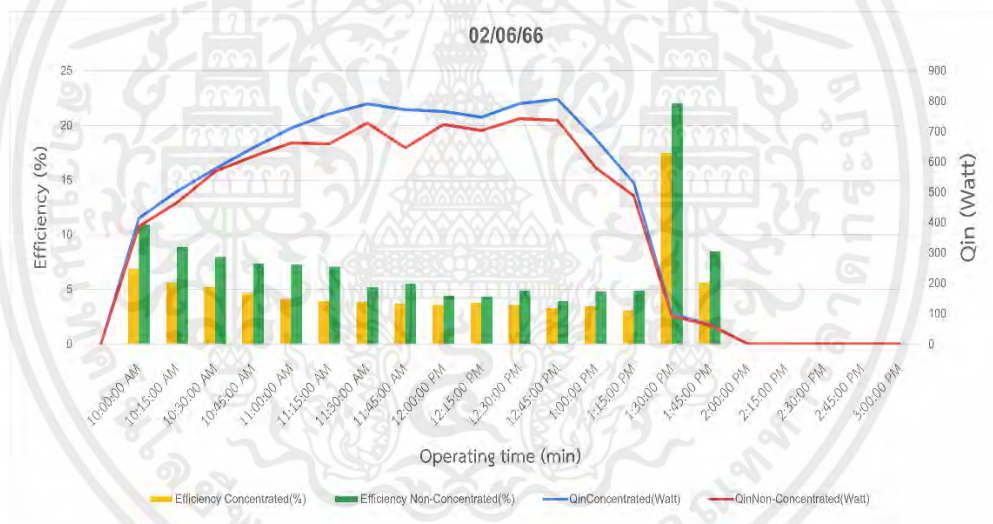


รูปที่ 4.16 แสดงค่าเปรียบเทียบความสัมพันธ์ระหว่าง เพาเวอร์เอาต์พุต (วัตต์) กับค่าความเข้มแสง (รังสีตรง) (วัตต์) ที่เวลาใดๆ

รูปที่ 4.17 ผลการทดลองเปรียบเทียบค่าอุณหภูมิ (องศาเซลเซียส) กับค่าเพาเวอร์เอาต์พุต ในเวลา 10.00 - 15.00 นาฬิกา ซึ่งแสดงค่าทุก 15 นาที พบว่าในสภาพอากาศลมพัดตลอดทั้งวันและค่าอุณหภูมิ (องศาเซลเซียส) ของการทดลองความเข้มแสงสูงมีอุณหภูมิ (องศาเซลเซียส) สูงมากกว่าแบบความเข้มแสงที่ปกติซึ่งค่าพลังงานที่ได้ไม่เป็นไปตามความเข้มแสงที่เพิ่มขึ้นเป็นผลจากอุณหภูมิที่เพิ่มขึ้นผลของกำลังไฟฟ้าที่ได้จึงลดลงจากผลกระทบนี้ โดยช่วงค่าที่เก็บได้ของแบบความเข้มแสงสูงมีค่าอุณหภูมิ (องศาเซลเซียส) ที่เก็บได้มีค่าอยู่ที่ 23.0 - 54.0 องศา และค่าเพาเวอร์เอาต์พุตอยู่ที่ 0.36 - 30.50 วัตต์ และแบบความเข้มแสงปกติมีค่าอุณหภูมิ (องศาเซลเซียส) อยู่ที่ 22.0 - 49.50 องศา และค่าเพาเวอร์เอาต์พุตอยู่ที่ 0.53 - 48.27 วัตต์



รูปที่ 4.17 แสดงค่าเปรียบเทียบความสัมพันธ์ระหว่างเพาเวอร์เอาต์พุต (วัตต์) กับอุณหภูมิบนแผงโซลาร์เซลล์ (องศาเซลเซียส) ที่เวลาใดๆ



รูปที่ 4.18 แสดงค่าเปรียบเทียบค่าความเข้มแสงขาเข้า (Q_{in} , วัตต์) กับค่าประสิทธิภาพ (เปอร์เซ็นต์) ของโซลาร์เซลล์ที่เวลาใดๆ

รูปที่ 4.18 ผลการทดลองความสัมพันธ์ระหว่างค่าความเข้มแสงขาเข้า (Q_{in}) กับค่าประสิทธิภาพ (เปอร์เซ็นต์) ในเวลา 10.00 - 15.00 นาฬิกา ซึ่งแสดงค่าทุก 15 นาที พบว่าค่าความเข้มแสงขาเข้า (Q_{in}) ที่ได้รับของการทดลองแบบความเข้มสูงมากกว่าแบบความเข้มแสงปกติตลอดการทดลองและค่าประสิทธิภาพสอดคล้องกับค่าความเข้มแสงขาเข้า จากค่าประสิทธิภาพในการทดลองของแบบความเข้มสูงมีค่าน้อยกว่า เพราะจากการที่ความเข้มแสงขาเข้าที่เยอะมีผลให้เกิด

เอกสารนี้เป็นเอกสารที่สงวนไว้สำหรับการใช้งานเพื่อการศึกษาเท่านั้น ไม่อนุญาตให้นำไปใช้ประโยชน์ด้านการค้าไม่ว่ากรณีใดๆ ทั้งสิ้น อีกทั้งห้ามมิให้คัดแปลงเนื้อหาและต้องอ้างอิงถึงเจ้าของเอกสารทุกครั้งที่มีการนำไปใช้

อุณหภูมิบนแผง ทำให้แผงมีการสะสมความร้อนส่งผลให้พลังงานที่ได้ลดน้อยลงตามไปด้วยจึงไม่ไปตามค่าความเข้มแสงขาเข้าที่ได้รับมา โดยช่วงค่าที่เก็บได้ของแบบความเข้มแสงสูงมีค่าความเข้มแสงขาเข้า (Qin) สูงสุดที่เก็บได้มีค่าอยู่ที่ 0 - 806.01 วัตต์ และค่าประสิทธิภาพอยู่ที่ 0.0 - 17.48 เปอร์เซ็นต์ และแบบความเข้มแสงปกติมีค่าความเข้มแสงต่อพื้นที่ (Qin) อยู่ที่ 0 - 742 วัตต์ และ ค่าประสิทธิภาพอยู่ที่ 0 - 21.99 เปอร์เซ็นต์



เอกสารนี้เป็นเอกสารที่สงวนไว้สำหรับการใช้งานเพื่อการศึกษาเท่านั้น ไม่อนุญาตให้นำไปใช้ประโยชน์ด้านการค้า ไม่ว่าจะกรณีใดๆ ทั้งสิ้น อีกทั้งห้ามมิให้ตัดแปลงเนื้อหาและต้องอ้างอิงถึงเจ้าของเอกสารทุกครั้งที่มีการนำไปใช้

บทที่ 5

สรุปผล

5.1 สรุปผลการทดลอง

- 1.) ผลการทดลองของการทดลองสมรรถนะความเข้มแสงของวันที่ 21/05/66 พบว่า
 - การทดลองความเข้มแสงสูง มีค่ารังสีความเข้มแสงขาเข้าสูงสุดอยู่ที่ 1107.2 วัตต์ และค่าประสิทธิภาพสูงสุดอยู่ที่ 2.99 เปอร์เซ็นต์
 - การทดลองความเข้มแสงปกติ มีค่ารังสีความเข้มแสงขาเข้าสูงสุดอยู่ที่ 907.41 วัตต์ และค่าประสิทธิภาพสูงสุดอยู่ที่ 4.48 เปอร์เซ็นต์
- 2.) ผลการทดลองของการทดลองสมรรถนะความเข้มแสงของวันที่ 24/05/66 พบว่า
 - การทดลองความเข้มแสงสูง มีค่ารังสีความเข้มแสงขาเข้าสูงสุดอยู่ที่ 836 วัตต์ และค่าประสิทธิภาพสูงสุดอยู่ที่ 7.69 เปอร์เซ็นต์
 - การทดลองความเข้มแสงปกติ มีค่ารังสีความเข้มแสงขาเข้าสูงสุดอยู่ที่ 654 วัตต์ และค่าประสิทธิภาพสูงสุดอยู่ที่ 5.48 เปอร์เซ็นต์
- 3.) ผลการทดลองของการทดลองสมรรถนะความเข้มแสงของวันที่ 25/05/66 พบว่า
 - การทดลองความเข้มแสงสูง มีค่ารังสีความเข้มแสงขาเข้าสูงสุดอยู่ที่ 898.36 วัตต์ และค่าประสิทธิภาพสูงสุดอยู่ที่ 7.82 เปอร์เซ็นต์
 - การทดลองความเข้มแสงปกติ มีค่ารังสีความเข้มแสงขาเข้าสูงสุดอยู่ที่ 697.51 วัตต์ และค่าประสิทธิภาพสูงสุดอยู่ที่ 10.95 เปอร์เซ็นต์
- 4.) ผลการทดลองของการทดลองสมรรถนะความเข้มแสงของวันที่ 26/05/66 พบว่า
 - การทดลองความเข้มแสงสูง มีค่ารังสีความเข้มแสงขาเข้าสูงสุดอยู่ที่ 917 วัตต์ และค่าประสิทธิภาพสูงสุดอยู่ที่ 6.65 เปอร์เซ็นต์
 - การทดลองความเข้มแสงปกติ มีค่ารังสีความเข้มแสงขาเข้าสูงสุดอยู่ที่ 693.63 วัตต์ และค่าประสิทธิภาพสูงสุดอยู่ที่ 8.67 เปอร์เซ็นต์

เอกสารนี้เป็นเอกสารที่สงวนไว้สำหรับการใช้งานเพื่อการศึกษาเท่านั้น ไม่อนุญาตให้นำไปใช้ประโยชน์ด้านการค้า ไม่ว่ากรณีใดๆ ทั้งสิ้น อีกทั้งห้ามมิให้ตัดแปลงเนื้อหาและต้องอ้างอิงถึงเจ้าของเอกสารทุกครั้งที่มีการนำไปใช้

5.) ผลการทดลองของการทดลองสมรรถนะความเข้มแสงของวันที่ 29/05/66 พบว่า

- การทดลองความเข้มแสงสูง มีค่ารังสีความเข้มแสงขาเข้าสูงสุดอยู่ที่ 1084 วัตต์ และค่าประสิทธิภาพสูงสุดอยู่ที่ 5.48 เปอร์เซ็นต์
- การทดลองความเข้มแสงปกติ มีค่ารังสีความเข้มแสงขาเข้าสูงสุดอยู่ที่ 982.97 วัตต์ และค่าประสิทธิภาพสูงสุดอยู่ที่ 3.36 เปอร์เซ็นต์

6.) ผลการทดลองของการทดลองสมรรถนะความเข้มแสงของวันที่ 02/06/66 พบว่า

- การทดลองความเข้มแสงสูง มีค่ารังสีความเข้มแสงขาเข้าสูงสุดอยู่ที่ 806.01 วัตต์ และค่าประสิทธิภาพสูงสุดอยู่ที่ 17.48 เปอร์เซ็นต์
- การทดลองความเข้มแสงปกติ มีค่ารังสีความเข้มแสงขาเข้าสูงสุดอยู่ที่ 742 วัตต์ และค่าประสิทธิภาพสูงสุดอยู่ที่ 21.99 เปอร์เซ็นต์

ผลการทดลองพบว่า การทดลองสมรรถนะแสงอาทิตย์ความเข้มชั้นสูงโดยใช้เลนส์เฟรสเนลการทดลองแบบความเข้มชั้นสูงสามารถเพิ่มประสิทธิภาพได้จริง แต่จากการทดลองมีประสิทธิภพน้อยกว่าแบบความเข้มชั้นปกติอยู่ที่ 8.01 ต่อ 9.15 เปอร์เซ็นต์ เนื่องจากผลของระยะรับแสงและอุณหภูมิสะสมของแผงโซลาร์เซลล์

5.2 ข้อเสนอแนะ

- 1.) ขนาดของโซลาร์เซลล์ที่เล็กลงมาใช้ในการทดลองนี้จะแก้ปัญหาเรื่องระยะได้
- 2.) ควรมีดาต้าล็อกเกอร์เพื่อลดความคลาดเคลื่อน
- 3.) หากต้องการพลังงานสูงสุดควรมีตัวระบายความร้อนของแผงโซลาร์เซลล์จะช่วยให้เพิ่มประสิทธิภาพของโซลาร์เซลล์ขึ้นได้

เอกสารอ้างอิง

- [1] A. R. Jha. (2010). **Solar Cell Technology and Applications**. Boca Raton: Taylor & Francis Group
- [2] M. J. Y. Tayebjee, D. R. McCamey, and T. W. Schmidt, “Beyond Shockley–Queisser: **Molecular Approaches to High-Efficiency Photovoltaics**,” *J. Phys. Chem. Lett.*, vol. 6, no. 12, pp. 2367–2378, 2015.
- [3] Pinto ES, Serra LM, Lazaro A. **Energy communities approach applied to optimize polygeneration systems** in residential buildings: case study in Zaragoza, Spain. *Sustain Cities Soc* 2022; 82:103885.
- [4] Duffie, J.A. & Beckman, W.A. (2013). **Solar engineering of thermal processes**. John Wiley & Sons
- [5] D. Chemisana; and Chr. Lamnatou. (2014, April). **Photovoltaic-green roofs: Experimental evaluation of system performance**. *Applied Energy*. 119: 246-256.
- [6] Gunawan, A; Hiralal, P; Amaratunga, G.A. J; Tan, K.T; and Elmes, S. (2014, June). The effect of building integration on the temperature and performance of photovoltaic modules. **In The 2014 IEEE 40th Photovoltaic Specialist Conference (PVSC)**. pp. 0776-0781.
- [7] Jayasekara, N; and Wolfs, P. (2010, December). Analysis of power quality impact of high penetration PV in residential feeders. **In The 20th Australasian Universities Power Engineering Conference (AUPEC)**. pp. 1-8
- [8] Chattariya Sirisamphanwong; and Nipon Ketjoy. (2012, February). Impact of spectral irradiance distribution on the outdoor performance of photovoltaic system under Thai climatic conditions. **Renewable Energy**. 38(1): 69-74
- [9] คณะกรรมการกำกับกิจการพลังงาน. (2556). การรับซื้อไฟฟ้าจากการผลิตไฟฟ้าพลังงานแสงอาทิตย์ที่ติดตั้งบนหลังคา. สืบค้นเมื่อ 20 ธันวาคม 2559, จาก <http://www.erc.or.th>
- [10] Moreno, L. E. G. (2011). Concentrated Solar Power (CSP) in DESERTEC - Analysis of Technologies to Secure and Affordable Energy Supply. Paper presented at **the**

6th IEEE International Conference on Intelligent Data Acquisition and Advanced Computing Systems.

- [11] Gil, A., Medrano, M., Martorell, I., Lázaro, A., Dolado, P., Zalba, B., & Cabeza, L. F. (2010). State of the Art on High Temperature Thermal Energy Storage for Power Generation. Part 1- Concepts, Materials and Modellization. **Renewable and Sustainable Energy Reviews**, 14(1), 31-55
- [12] International Energy Agency (IEA). (2005). **The Parabolic Trough Power Plants Andasol 1 to 3. The Largest Solar Power Plants in the World - Technology Premiere in Europe**
- [13] SOLAR, N. (2009). **Puerto Errado 2 in Spain**. Retrieved 23 July, 2015, from <http://www.novatecsolar.com/56-1-PE-2.html>
- [14] SENER Ingeniería y Sistemas. (2007). **First Commercial Moten Salt Central Reveiver Plant 17 MW, 15 hrs Storage, 6500 hrs/yr. NREL CSP Technology Workshop**.
- [15] Power-Technology Team. (2015). **Victorville Solar Power Generating Station, California, United States of America**. Retrieved 23 July, 2015, from <http://www.power-technology.com/projects/victorville/>



ภาคผนวก ก.
ข้อมูลทางเทคนิค

เอกสารนี้เป็นเอกสารที่สงวนไว้สำหรับการใช้งานเพื่อการศึกษาเท่านั้น ไม่อนุญาตให้นำไปใช้ประโยชน์ด้านการค้า
ไม่ว่ากรณีใดๆ ทั้งสิ้น อีกทั้งห้ามมิให้ตัดแปลงเนื้อหาและต้องอ้างอิงถึงเจ้าของเอกสารทุกครั้งที่มีการนำไปใช้

1. ข้อมูลทางเทคนิคของโซลาร์เซลล์ (Solar cell)

Rated peak power	60 W
Voltage at maximum power	17.4 V
Current at maximum power	4 A
Open circuit voltage	21.6 V
Short circuit current	4.6 A



รูปที่ ก.1 แผงโซลาร์เซลล์

2. ข้อมูลทางเทคนิคของหลอดไฟ (Light bulb)

PAE-9975 (75W)	
อัตราแรงดันไฟ	AC 220 V ~ 50 Hz
อัตราการใช้พลังงาน	75 W
ขนาด	20 x 10 ซม.
รุ่นแบบขั้ว	E27
Short circuit current	4.6 A

เอกสารนี้เป็นเอกสารที่สงวนไว้สำหรับการใช้งานเพื่อการศึกษาเท่านั้น ไม่อนุญาตให้นำไปใช้ประโยชน์ด้านการค้า
ไม่ว่ากรณีใดๆ ทั้งสิ้น อีกทั้งห้ามมิให้ตัดแปลงเนื้อหาและต้องอ้างอิงถึงเจ้าของเอกสารทุกครั้งที่มีการนำไปใช้



รูปที่ ก.2 หลอดไฟ

3. ข้อมูลทางเทคนิคของเครื่องวัดความเข้มแสง (UV Light meter)

TENMARS TM-208

Resolution 0.01, 0.1, 1 W/m²

Wavelength 400~1100 nm

Accuracy 0.01, 0.1, 1 W/m²

Frequency range 400~1100 nm

Total Weight 1,200 g

Power Supply 9V battery

Battery life 100 hr.

Sample Time 4 times per second

USB datalogger 45,000 records

Sensor probe 80(L) X 55(W) X 25(H)mm

Data Output USB PC serial interface

เอกสารนี้เป็นเอกสารที่สงวนไว้สำหรับการใช้งานเพื่อการศึกษาเท่านั้น ไม่อนุญาตให้นำไปใช้ประโยชน์ด้านการค้า
ไม่ว่ากรณีใดๆ ทั้งสิ้น อีกทั้งห้ามมิให้ตัดแปลงเนื้อหาและต้องอ้างอิงถึงเจ้าของเอกสารทุกครั้งที่มีการนำไปใช้



รูปที่ ก.3 เครื่องวัดความเข้มแสง (UV Light meter)

4. ข้อมูลทางเทคนิคของอินเวอร์เตอร์ (Inverter)

Output Voltage	220 VAC
Output frequency	50 Hz +/- 2 Hz
Output waveform	modified sine wave
Input voltage range	10.0-15.0 V / 20.0-28.0 V DC
Low battery alarm	10.4-11.0 V / 19.0-21.0 V
Low battery shutdown point	9.7-10.3 V / 17.0-18.0 V
High battery shutdown point	14.5-15.5 V / 28.0-30.0 V
Continues AC output power	400 W
Maximum AC output power	800W

เอกสารนี้เป็นเอกสารที่สงวนไว้สำหรับการใช้งานเพื่อการศึกษาเท่านั้น ไม่อนุญาตให้นำไปใช้ประโยชน์ด้านการค้า
ไม่ว่ากรณีใดๆ ทั้งสิ้น อีกทั้งห้ามมิให้ตัดแปลงเนื้อหาและต้องอ้างอิงถึงเจ้าของเอกสารทุกครั้งที่มีการนำไปใช้



รูปที่ ก.4 อินเวอร์เตอร์ (Inverter)

5. ข้อมูลทางเทคนิคของวัตต์มิเตอร์ (Watt meter)

Resistance	0.0010 Ω
Rated voltage	4.0 V–60 V
Size	8.3 ซม. X 4.7 ซม. X 2 ซม.
Input voltage range	10.0-15.0 V / 20.0-28.0 V DC
หน้าจอแสดงผล	1602 STN LCD



รูปที่ ก.5 วัตต์มิเตอร์ (Watt meter)

เอกสารนี้เป็นเอกสารที่สงวนไว้สำหรับการใช้งานเพื่อการศึกษาเท่านั้น ไม่อนุญาตให้นำไปใช้ประโยชน์ด้านการค้า
ไม่ว่ากรณีใดๆ ทั้งสิ้น อีกทั้งห้ามมิให้ตัดแปลงเนื้อหาและต้องอ้างอิงถึงเจ้าของเอกสารทุกครั้งที่มีการนำไปใช้

6. ข้อมูลทางเทคนิคของ โขล่าชาร์จเจอร์ (Solar Charge Controller)

KONEZE STC-C20

model EPIP20-H, 12/24V, 20A

Rated Voltage 12 V/24 V

Rated Current 20 A

Weight 9.70 oz (275g)



รูปที่ ก.6 โขล่าชาร์จเจอร์ (Solar Charge Controller)

เอกสารนี้เป็นเอกสารที่สงวนไว้สำหรับการใช้งานเพื่อการศึกษาเท่านั้น ไม่อนุญาตให้นำไปใช้ประโยชน์ด้านการค้า
ไม่ว่ากรณีใดๆ ทั้งสิ้น อีกทั้งห้ามมิให้ตัดแปลงเนื้อหาและต้องอ้างอิงถึงเจ้าของเอกสารทุกครั้งที่มีการนำไปใช้



เอกสารนี้เป็นเอกสารที่สงวนไว้สำหรับการใช้งานเพื่อการศึกษาเท่านั้น ไม่อนุญาตให้นำไปใช้ประโยชน์ด้านการค้า
ไม่ว่ากรณีใดๆ ทั้งสิ้น อีกทั้งห้ามมิให้ตัดแปลงเนื้อหาและต้องอ้างอิงถึงเจ้าของเอกสารทุกครั้งที่มีการนำไปใช้

ตารางที่ ข.1 แสดงผลการทดลองระยะการรวมแสงของเลนส์และโซลล่าเซลล์ ในวันที่ 21/05/66
กำหนดเวลา 12.00–12.05 น. แสดงผลทุก 1 นาที (ระยะโฟกัสของการรวมแสงของเลนส์เฟรสเนล
ที่ระยะ 1.2 เมตร)

ระยะ (ม)	แรงดันไฟฟ้า (โวลต์)	กระแสไฟฟ้า (แอมป์)	กำลังไฟฟ้า (วัตต์)	ความเข้มแสงออกจากเลนส์ (วัดจาก ตำแหน่งของเลนส์ (วัดต่อตารางเมตร)			อุณหภูมิ (องศาเซลเซียส)	มุมอัตติจูด (องศา)	มุมศนิต (องศา)	อัตราส่วนรวม รังสี	พื้นที่เลนส์ (ตารางเมตร)	พื้นที่แสง (ตารางเมตร)	พลังงานขาเข้า (วัตต์)	ประสิทธิภาพการผลิตไฟฟ้า (เปอร์เซ็นต์)
				รังสีตรง	รังสีกระจาย	รังสีรวม								
2	12.68	1.32	16.7	1465	800	2265	55.30	77.72	12.28	2.28	1.47	0.65	946.16	1.77
2.5	12.00	1.59	19.1	1416	721	2137	54.50	77.72	12.28	2.28	1.47	0.65	914.51	2.09
3	13.00	2.00	26.0	1374	567	1941	51.50	77.72	12.28	2.28	1.47	0.65	887.38	2.93
3.3	13.66	2.27	31.0	1269	456	1725	49.50	77.72	12.28	2.28	1.47	0.65	819.57	3.78
3.5	13.26	2.24	29.7	1041	271	1312	48.00	77.72	12.28	2.28	1.47	0.65	672.32	4.42

เอกสารนี้เป็นเอกสารที่สงวนไว้สำหรับการใช้งานเพื่อการศึกษาเท่านั้น ไม่อนุญาตให้นำไปใช้ประโยชน์ด้านการค้า
ไม่ว่ากรณีใดๆ ทั้งสิ้น อีกทั้งห้ามมิให้คัดแปลงเนื้อหาและต้องอ้างอิงถึงเจ้าของเอกสารทุกครั้งที่มีการนำไปใช้

ตารางที่ ข.2 แสดงค่าการทดลองโซล่าเซลล์ความเข้มแสงสูง ในวันที่ 21/05/66

เวลา	แรงดันไฟฟ้า (โวลต์)	กระแสไฟฟ้า (แอมแปร์)	กำลังไฟฟ้า (วัตต์)	ความเข้มแสงออกจากระบบ (วัดจากตำแหน่งของเซลล์)			อุณหภูมิ (องศาเซลเซียส)	มุมเอียง (องศา)	มุมเงย (องศา)	อัตราส่วนรวมรังสี	พื้นที่แผง (ตารางเมตร)	พื้นที่ผิง (ตารางเมตร)	พลังงานขาเข้า (Wh) (วัตต์)	ประสิทธิภาพการติดตั้ง (เปอร์เซ็นต์)
				รังสีตรง	รังสีกระจาย	รังสีรวม								
10:00 น.	12.61	2.11	26.60	970	460	1430	47.50	53.32	36.68	2.28	1.47	0.65	626.46	4.25
10:15 น.	12.76	1.99	25.30	946	490	1436	45.60	58.77	31.23	2.28	1.47	0.65	610.96	4.14
10:30 น.	12.59	2.01	25.30	988	320	1308	46.60	62.18	27.82	2.28	1.47	0.65	638.09	3.96
10:45 น.	12.58	2.02	25.40	993	343	1336	45.70	65.54	24.46	2.28	1.47	0.65	641.32	3.96
11:00 น.	12.57	1.99	25.30	995	339	1334	48.40	68.49	21.51	2.28	1.47	0.65	642.61	3.94
11:15 น.	12.54	1.90	23.80	1069	346	1415	44.50	41.67	48.33	2.28	1.47	0.65	690.40	3.45
11:30 น.	12.53	1.86	23.30	1085	396	1481	49.20	74.65	15.35	2.28	1.47	0.65	700.74	3.33
11:45 น.	12.59	2.20	24.40	1270	445	1715	51.20	77.31	12.69	2.28	1.47	0.65	820.22	2.97
12:00 น.	12.27	0.40	4.90	178	126	304	43.10	79.39	10.61	2.28	1.47	0.65	114.96	4.26
12:15 น.	12.70	1.83	23.20	1252	456	1708	45.10	80.5	9.50	2.28	1.47	0.65	808.59	2.87
12:30 น.	12.68	1.85	23.30	1048	430	1478	46.80	80.31	9.69	2.28	1.47	0.65	676.84	3.44
12:45 น.	12.13	0.49	5.90	205	148	353	39.90	78.89	11.11	2.28	1.47	0.65	132.40	4.46
13:00 น.	12.50	1.79	22.30	1242	359	1601	46.10	76.61	13.39	2.28	1.47	0.65	802.13	2.78
13:15 น.	12.28	0.33	4.10	160	122	282	41.20	73.85	16.15	2.28	1.47	0.65	103.33	3.97
13:30 น.	12.52	1.58	20.00	949	355	1304	46.10	70.8	19.20	2.28	1.47	0.65	612.90	3.26
13:45 น.	12.45	1.51	18.70	837	376	1213	47.10	67.59	22.41	2.28	1.47	0.65	540.57	3.46
14:00 น.	12.55	1.44	18.00	873	394	1267	42.70	64.27	25.73	2.28	1.47	0.65	563.82	3.19
14:15 น.	12.54	1.46	18.30	865	293	1158	40.10	60.89	29.11	2.28	1.47	0.65	558.65	3.28
14:30 น.	12.34	1.40	17.50	704	300	1004	47.30	57.47	32.53	2.28	1.47	0.65	508.92	3.44
14:45 น.	12.14	0.30	3.60	145	107	252	41.50	54.01	35.99	2.28	1.47	0.65	222.81	1.62
15:00 น.	12.18	0.26	3.10	153	102	255	39.80	50.53	39.47	2.28	1.47	0.65	200.86	1.54

เอกสารนี้เป็นเอกสารที่สงวนไว้สำหรับการใช้งานเพื่อการศึกษาเท่านั้น มิอนุญาตให้นำไปใช้ประโยชน์ด้านการค้า
ไม่ว่ากรณีใดๆ ทั้งสิ้น อีกทั้งห้ามมิให้คัดแปลงเนื้อหาและต้องอ้างอิงถึงเจ้าของเอกสารทุกครั้งที่มีการนำไปใช้

ตารางที่ ข.3 แสดงค่าการทดลองโซล่าเซลล์ความเข้มแสงสูง ในวันที่ 24/05/66

เวลา	แรงดันไฟฟ้า (โวลต์)	กระแสไฟฟ้า (แอมป์)	กำลังไฟฟ้า (วัตต์)	ความเข้มแสงออกจากรังสี (วัดจากด้านบน)			อุณหภูมิ (องศาเซลเซียส)	มุมติดตั้ง (องศา)	มุมเงย (องศา)	อัตราส่วนรวมรังสี	พื้นที่เลนส์ (ตารางเมตร)	พื้นที่แผง (ตารางเมตร)	พลังงานขาเข้า (Qin) (วัตต์)	ประสิทธิภาพการผลิตไฟฟ้า (เปอร์เซ็นต์)
				รังสีตรง	รังสีกระจาย	รังสีรวม								
10:00 น.	12.68	2.16	27.4	612	530	1142	48.50	55.15	34.85	2.28	1.47	0.65	395.25	0.07
10:15 น.	1.04	12.90	13.4	270	200	470	45.60	58.58	31.42	2.28	1.47	0.65	174.38	0.08
10:30 น.	13.25	1.51	20.0	970	497	1467	48.40	61.96	28.04	2.28	1.47	0.65	626.46	0.03
10:45 น.	12.52	2.00	25.0	1146	494	1640	51.00	65.29	24.71	2.28	1.47	0.65	740.13	0.03
11:00 น.	12.75	1.92	24.5	1134	490	1624	51.50	68.53	21.47	2.28	1.47	0.65	732.38	0.03
11:15 น.	13.10	1.75	22.9	1191	413	1604	52.00	71.64	18.36	2.28	1.47	0.65	769.20	0.03
11:30 น.	12.64	1.93	24.4	1176	430	1606	52.00	74.53	15.47	2.28	1.47	0.65	759.51	0.03
11:45 น.	12.61	1.89	23.8	1218	489	1707	52.50	77.07	12.93	2.28	1.47	0.65	786.63	0.03
12:00 น.	12.58	1.80	22.6	1182	370	1552	52.00	79	11.00	2.28	1.47	0.65	763.38	0.03
12:15 น.	12.47	1.74	21.7	1276	350	1626	51.67	79.96	10.04	2.28	1.47	0.65	824.09	0.03
12:30 น.	12.51	1.69	21.1	1251	417	1668	51.50	79.67	10.33	2.28	1.47	0.65	807.95	0.03
12:45 น.	12.44	1.77	22.0	1295	400	1695	51.70	78.23	11.77	2.28	1.47	0.65	836.36	0.03
13:00 น.	12.52	1.75	21.9	1067	390	1457	52.00	75.99	14.01	2.28	1.47	0.65	689.11	0.03
13:15 น.	12.48	1.78	22.2	1125	383	1508	49.60	73.27	16.73	2.28	1.47	0.65	726.57	0.03
13:30 น.	12.51	1.68	21.0	1077	390	1467	48.80	70.27	19.73	2.28	1.47	0.65	695.57	0.03
13:45 น.	12.49	1.61	20.1	965	368	1333	48.70	67.09	22.91	2.28	1.47	0.65	623.24	0.03
14:00 น.	12.40	1.55	19.2	967	331	1298	46.50	63.81	26.19	2.28	1.47	0.65	624.53	0.03
14:15 น.	12.33	1.43	17.6	986	285	1271	47.30	60.45	29.55	2.28	1.47	0.65	636.80	0.03
14:30 น.	12.42	1.46	18.1	831	283	1114	45.60	57.05	32.95	2.28	1.47	0.65	536.69	0.03
14:45 น.	12.32	1.41	17.4	717	380	1097	45.00	53.61	36.39	2.28	1.47	0.65	463.07	0.04
15:00 น.	12.27	1.20	14.7	801	310	1111	45.00	50.51	39.49	2.28	1.47	0.65	517.32	0.03

เอกสารนี้เป็นเอกสารที่สงวนไว้สำหรับการใช้งานเพื่อการศึกษาเท่านั้น ไม่อนุญาตให้นำไปใช้ประโยชน์ด้านการค้า
ไม่ว่ากรณีใดๆ ทั้งสิ้น อีกทั้งห้ามมิให้คัดแปลงเนื้อหาและต้องอ้างอิงถึงเจ้าของเอกสารทุกครั้งที่มีการนำไปใช้

ตารางที่ ข.4 แสดงค่าการทดลองโซล่าเซลล์ความเข้มแสงสูง ในวันที่ 25/05/66

เวลา	แรงดันไฟฟ้า (โวลต์)	กระแสไฟฟ้า (แอมป์)	กำลังไฟฟ้า (วัตต์)	ความเข้มแสงออกจากเลนส์ (วัดจากด้านบน)			อุณหภูมิ (องศาเซลเซียส)	มุมอับจุด (องศา)	มุมเงย (องศา)	อัตรา ส่วนรวมรังสี	พื้นที่เลนส์ (ตารางเมตร)	พื้นที่แผง (ตารางเมตร)	พลังงานขาเข้า (J/s)	ประสิทธิภาพการแปลงไฟฟ้า (เปอร์เซ็นต์)
				รังสีตรง	รังสีกระจาย	รังสีรวม								
10:00 น.	12.81	1.90	24.3	746	430	1176	48.40	55.1	34.90	2.28	1.47	0.65	481.80	5.05
10:15 น.	12.27	0.55	6.7	216	176	392	39.20	58.51	31.49	2.28	1.47	0.65	139.50	4.84
10:30 น.	12.69	1.94	24.6	859	452	1311	48.50	61.89	28.11	2.28	1.47	0.65	554.78	4.44
10:45 น.	12.59	1.94	24.4	936	479	1415	48.90	65.2	24.80	2.28	1.47	0.65	604.51	4.04
11:00 น.	13.64	1.74	23.7	1078	486	1564	48.40	68.43	21.57	2.28	1.47	0.65	696.22	3.41
11:15 น.	13.37	1.72	23.0	1168	503	1671	48.40	71.52	18.48	2.28	1.47	0.65	754.34	3.05
11:30 น.	12.71	1.92	24.4	1154	458	1612	51.10	74.4	15.60	2.28	1.47	0.65	745.30	3.27
11:45 น.	12.59	2.00	25.2	1184	503	1687	47.10	76.92	13.08	2.28	1.47	0.65	764.67	3.29
12:00 น.	12.45	1.95	24.3	1189	332	1521	48.30	78.82	11.18	2.28	1.47	0.65	767.90	3.16
12:15 น.	12.62	1.91	24.1	1323	500	1823	47.90	79.77	10.23	2.28	1.47	0.65	854.45	2.82
12:30 น.	12.78	1.88	24.0	1380	450	1830	47.9	79.5	10.50	2.28	1.47	0.65	891.26	2.70
12:45 น.	12.52	1.90	23.8	1391	371	1762	48.5	78.09	11.91	2.28	1.47	0.65	898.36	2.65
13:00 น.	0.65	12.12	7.9	294	200	494	42.3	75.88	14.12	2.28	1.47	0.65	189.88	4.15
13:15 น.	12.48	1.86	23.2	1207	422	1629	45.7	73.19	16.81	2.28	1.47	0.65	779.53	2.98
13:30 น.	10.50	2.01	21.1	770.0	359	1129	49.2	70.2	19.80	2.28	1.47	0.65	497.30	4.24
13:45 น.	12.43	1.52	18.9	938	352	1290	51.5	67.04	22.96	2.28	1.47	0.65	605.80	3.12
14:00 น.	0.08	15.7	1.3	907	371	1278	38.5	63.77	26.23	2.28	1.47	0.65	585.78	0.21
14:15 น.	12.24	1.25	15.3	303	271	574	37.4	60.43	29.57	2.28	1.47	0.65	195.69	7.82
14:30 น.	0.93	7.10	6.6	236	175	411	43.9	57.03	32.97	2.28	1.47	0.65	152.42	4.33
14:45 น.	11.84	0.49	5.8	214	184	398	27.9	53.6	36.40	2.28	1.47	0.65	138.21	4.20
15:00 น.	12.18	1.19	14.5	630	630	1260	48.2	50.15	39.85	2.28	1.47	0.65	406.88	3.56

เอกสารนี้เป็นเอกสารที่สงวนไว้สำหรับการใช้งานเพื่อการศึกษาเท่านั้น ไม่อนุญาตให้นำไปใช้ประโยชน์ด้านการค้า
ไม่ว่ากรณีใดๆ ทั้งสิ้น อีกทั้งห้ามมิให้คัดแปลงเนื้อหาและต้องอ้างอิงถึงเจ้าของเอกสารทุกครั้งที่มีการนำไปใช้

ตารางที่ ข.5 แสดงค่าการทดลองโซล่าเซลล์ความเข้มแสงสูง ในวันที่ 26/05/66

เวลา	แรงดันไฟฟ้า (โวลต์)	กระแสไฟฟ้า (แอมแปร์)	กำลังไฟฟ้า (วัตต์)	ความเข้มแสงออกจากรังสี (วัดจากด้านบน)			อุณหภูมิ (องศาเซลเซียส)	มุมอาทิตย์ (องศา)	มุมเงย (องศา)	อัตรา ส่วนรังสี	พื้นที่เซลล์ (ตารางเมตร)	พื้นที่แผง (ตารางเมตร)	พลังงานขาเข้า (Qin) (วัตต์)	ประสิทธิภาพการผลิตไฟฟ้า (เปอร์เซ็นต์)
				รังสีตรง	รังสีกระจาย	รังสีรวม								
10:00 น.	12.14	1.16	14.1	328	136	464	37.2	55.04	34.96	2.28	1.47	0.65	211.84	6.65
10:15 น.	12.74	2.14	27.3	1001	571	1572	47.5	58.44	31.56	2.28	1.47	0.65	646.49	4.22
10:30 น.	13.31	1.79	23.8	825	451	1276	54.5	61.81	28.19	2.28	1.47	0.65	532.82	4.47
10:45 น.	13.01	2.01	26.2	1164	524	1688	48.0	65.12	24.88	2.28	1.47	0.65	751.76	3.48
11:00 น.	12.54	1.97	24.7	1131	477	1608	50.0	68.33	21.67	2.28	1.47	0.65	730.45	3.88
11:15 น.	12.49	1.93	24.1	1075	737	1812	53.9	71.41	18.59	2.28	1.47	0.65	694.28	3.47
11:30 น.	12.47	1.79	22.3	961	389	1350	49.3	74.27	15.73	2.28	1.47	0.65	620.65	3.60
11:45 น.	12.44	1.80	22.4	1074	337	1411	51.5	76.76	13.24	2.28	1.47	0.65	693.63	3.23
12:00 น.	12.46	1.86	23.2	1269	456	1725	50.8	78.65	11.35	2.28	1.47	0.65	819.57	2.83
12:15 น.	12.40	1.88	23.3	1109	468	1577	51.0	79.59	10.41	2.28	1.47	0.65	716.24	3.25
12:30 น.	12.45	1.89	23.5	1420	488	1908	52.2	79.33	10.67	2.28	1.47	0.65	917.09	2.57
12:45 น.	12.46	1.91	23.8	1403	445	1848	53.5	77.95	12.05	2.28	1.47	0.65	906.11	2.63
13:00 น.	12.50	1.98	24.8	1221	457	1678	53.7	75.77	14.23	2.28	1.47	0.65	788.57	3.14
13:15 น.	12.43	1.72	21.4	1044	368	1412	50.5	73.1	16.90	2.28	1.47	0.65	674.26	3.17
13:30 น.	12.20	1.71	20.9	964.0	382	1346	52.0	70.14	19.86	2.28	1.47	0.65	622.59	3.55
13:45 น.	12.00	1.60	19.2	889	323	1212	51.0	67	23.00	2.28	1.47	0.65	574.15	3.34
14:00 น.	12.50	1.5	18.8	854	320	1174	48.0	63.74	26.26	2.28	1.47	0.65	551.55	3.40
14:15 น.	12.10	1.48	17.9	809	283	1092	47.6	60.4	29.60	2.28	1.47	0.65	522.48	3.43
14:30 น.	12.10	1.40	16.9	764	241	1005	47.5	57.02	32.98	2.28	1.47	0.65	493.42	3.43
14:45 น.	12.08	1.32	15.9	746	263	1009	47.0	53.6	36.40	2.28	1.47	0.65	481.80	3.31
15:00 น.	12.00	1.20	14.4	744	246	990	47.0	50.15	39.85	2.28	1.47	0.65	480.50	3.00

เอกสารนี้เป็นเอกสารที่สงวนไว้สำหรับการใช้งานเพื่อการศึกษาเท่านั้น ไม่อนุญาตให้นำไปใช้ประโยชน์ด้านการค้า
ไม่ว่ากรณีใดๆ ทั้งสิ้น อีกทั้งห้ามมิให้คัดแปลงเนื้อหาและต้องอ้างอิงถึงเจ้าของเอกสารทุกครั้งที่มีการนำไปใช้

ตารางที่ ข.6 แสดงค่าการทดลองโซล่าเซลล์ความเข้มแสงสูง ในวันที่ 29/05/66

เวลา	แรงดันไฟฟ้า (โวลต์)	กระแสไฟฟ้า (แอมแปร์)	กำลังไฟฟ้า (วัตต์)	ความเข้มแสงออกจากเลนส์ (วัดจากด้านบน)			อุณหภูมิ (องศาเซลเซียส)	มุมเอียงจุด (องศา)	มุมเงย (องศา)	อัตรา ส่วนบรรจุ	พื้นที่ เซลล์ (ตารางเมตร)	พื้นที่ แผง (ตารางเมตร)	พลังงาน ขาเข้า (Qin) (วัตต์)	ประสิทธิภาพการ ผลิตไฟฟ้า (เปอร์เซ็นต์)
				รังสีตรง	รังสีกระจาย	รังสีรวม								
10:00 น.	13.06	2.18	41.85	641	541	1182	50.00	54.58	35.42	2.28	1.47	0.65	413.98	10.11
10:15 น.	13.03	2.15	41.18	778	533	1311	51.00	57.95	32.05	2.28	1.47	0.55	502.46	8.20
10:30 น.	13.17	2.19	42.40	894	582	1476	52.00	61.26	28.74	2.28	1.47	0.65	577.38	7.34
10:45 น.	13.28	2.21	43.14	1000	580	1580	52.60	64.51	25.49	2.28	1.47	0.65	645.84	6.68
11:00 น.	13.30	2.24	43.79	1101	578	1679	52.40	67.65	22.35	2.28	1.47	0.65	711.07	6.16
11:15 น.	13.41	2.25	44.55	1157	489	1646	53.00	70.65	19.35	2.28	1.47	0.65	747.24	5.94
11:30 น.	13.63	2.35	47.08	1169	494	1663	53.50	73.40	16.60	2.28	1.47	0.65	754.99	6.24
11:45 น.	13.66	2.40	48.19	1186	413	1599	53.70	75.79	14.21	2.28	1.47	0.65	765.97	6.29
12:00 น.	13.88	2.43	49.58	1195	413	1608	53.60	77.58	12.42	2.28	1.47	0.65	771.78	6.42
12:15 น.	13.98	2.45	50.55	1210	417	1627	54.00	78.50	11.50	2.28	1.47	0.65	781.47	6.44
12:30 น.	13.84	2.39	48.62	1226	400	1626	54.50	78.34	11.66	2.28	1.47	0.65	791.80	6.14
12:45 น.	13.68	2.37	47.66	1248	337	1585	54.80	77.14	12.86	2.28	1.47	0.65	806.01	5.91
13:00 น.	13.50	2.33	46.24	1198	430	1628	54.70	75.15	14.85	2.28	1.47	0.65	773.72	5.98
13:15 น.	13.35	2.29	44.94	1187	376	1563	54.50	72.63	17.37	2.28	1.47	0.65	766.61	5.86
13:30 น.	13.34	2.26	44.32	1164	358	1522	54.30	69.80	20.20	2.28	1.47	0.65	751.76	5.90
13:45 น.	13.30	2.24	43.79	1124	349	1473	54.20	66.75	23.25	2.28	1.47	0.65	725.92	6.03
14:00 น.	13.20	2.21	42.88	1100	347	1447	53.50	63.57	26.43	2.28	1.47	0.65	710.42	6.04
14:15 น.	13.19	2.20	42.66	1098	341	1439	53.70	60.31	29.69	2.28	1.47	0.65	709.13	6.02
14:30 น.	13.18	2.19	42.43	1068	334	1402	53.60	56.98	33.02	2.28	1.47	0.65	689.76	6.15
14:45 น.	13.18	2.18	42.24	1000	333	1333	53.50	53.60	36.40	2.28	1.47	0.65	645.84	6.54
15:00 น.	13.18	2.18	42.24	989	332	1321	53.40	50.20	39.80	2.28	1.47	0.65	638.74	6.61

เอกสารนี้เป็นเอกสารทบทวนผลสำหรับการใช้งานเพื่อการศึกษาเท่านั้น ไม่อนุญาตให้นำไปใช้ประโยชน์ด้านการค้า
ไม่ว่ากรณีใดๆ ทั้งสิ้น อีกทั้งห้ามมิให้คัดแปลงเนื้อหาและต้องอ้างอิงถึงเจ้าของเอกสารทุกครั้งที่มีการนำไปใช้

ตารางที่ ข.7 แสดงค่าการทดลองโซล่าเซลล์ความเข้มแสงสูง ในวันที่ 02/06/66

เวลา	แรงดันไฟฟ้า (โวลต์)	กระแสไฟฟ้า (แอมแปร์)	กำลังไฟฟ้า (วัตต์)	ความเข้มแสงออกจากรังสี (วัดจากด้านบน)			อุณหภูมิ (องศาเซลเซียส)	มุมเอียงจุด (องศา)	มุมเงย (องศา)	อัตรา ส่วนรังสี	พื้นที่ เซลล์ (ตารางเมตร)	พื้นที่ แผง (ตารางเมตร)	พลังงานขาเข้า (Wh)	ประสิทธิภาพการแปลงไฟฟ้า (เปอร์เซ็นต์)
				รังสีตรง	รังสีกระจาย	รังสีรวม								
10:00 น.	13.06	2.18	28.47	641	541	1182	50.00	54.58	35.42	2.28	1.47	0.65	413.98	6.88
10:15 น.	13.03	2.15	28.01	778	533	1311	51.00	57.95	32.05	2.28	1.47	0.65	502.46	5.58
10:30 น.	13.17	2.29	30.16	894	582	1476	52.00	61.26	28.74	2.28	1.47	0.65	577.38	5.22
10:45 น.	12.93	2.30	29.74	1000	712	1712	52.60	64.51	25.49	2.28	1.47	0.65	645.84	4.60
11:00 น.	13.56	2.15	29.15	1101	578	1679	52.40	67.65	22.35	2.28	1.47	0.65	711.07	4.10
11:15 น.	13.21	2.25	29.72	1173	546	1719	53.00	70.65	19.35	2.28	1.47	0.65	757.57	3.92
11:30 น.	12.98	2.35	30.50	1225	494	1719	53.50	73.40	16.60	2.28	1.47	0.65	791.15	3.86
11:45 น.	12.68	2.24	28.40	1195	413	1608	53.70	75.79	14.21	2.28	1.47	0.65	771.78	3.68
12:00 น.	12.66	2.16	27.35	1186	382	1568	53.60	77.58	12.42	2.28	1.47	0.65	765.97	3.57
12:15 น.	12.89	2.18	28.10	1156	410	1566	53.40	78.50	11.50	2.28	1.47	0.65	746.59	3.76
12:30 น.	12.84	2.20	28.25	1226	400	1626	54.00	78.34	11.66	2.28	1.47	0.65	791.80	3.57
12:45 น.	12.59	2.10	26.44	1248	337	1585	54.00	77.14	12.86	2.28	1.47	0.65	806.01	3.28
13:00 น.	12.68	1.85	23.46	1047	430	1477	50.00	75.15	14.85	2.28	1.47	0.65	676.19	3.47
13:15 น.	12.35	1.32	16.30	821	376	1197	45.00	72.63	17.37	2.28	1.47	0.65	530.23	3.07
13:30 น.	12.34	1.40	17.28	153	102	255	35.00	69.80	20.20	2.28	1.47	0.65	98.81	17.48
13:45 น.	12.14	0.30	3.64	100	53	153	26.00	66.75	23.25	2.28	1.47	0.65	64.58	5.64
14:00 น.	12.18	0.03	0.37	0	0	0	25.00	63.57	26.43	2.28	1.47	0.65	0.00	0.00
14:15 น.	12.01	0.03	0.36	0	0	0	24.00	60.31	29.69	2.28	1.47	0.65	0.00	0.00
14:30 น.	12.00	0.03	0.36	0	0	0	23.00	56.98	33.02	2.28	1.47	0.65	0.00	0.00
14:45 น.	12.00	0.03	0.36	0	0	0	23.00	53.60	36.40	2.28	1.47	0.65	0.00	0.00
15:00 น.	12.00	0.03	0.36	0	0	0	23.00	50.20	39.80	2.28	1.47	0.65	0.00	0.00

เอกสารนี้เป็นเอกสารทบทวนผลสำหรับการใช้งานเพื่อการศึกษาเท่านั้น ไม่อนุญาตให้นำไปใช้ประโยชน์ด้านการค้า
ไม่ว่ากรณีใดๆ ทั้งสิ้น อีกทั้งห้ามมิให้คัดลอกเนื้อหาและต้องอ้างอิงถึงเจ้าของเอกสารทุกครั้งที่มีการนำไปใช้

ตารางที่ ข.8 แสดงค่าการทดลองโซล่าเซลล์ความเข้มแสงปกติ ในวันที่ 21/05/66

เวลา	แรงดันไฟฟ้า (โวลต์)	กระแสไฟฟ้า (แอมป์)	กำลังไฟฟ้า (วัตต์)	ความเข้มแสงออกจากรังสี (วัดจาก			อุณหภูมิ (องศาเซลเซียส)	มุมอาทิตย์ (องศา)	มุมเงย (องศา)	พื้นที่แสง (ตารางเมตร)	พลังงานขาเข้า (Qin) (วัตต์)	ประสิทธิภาพการผลิตไฟฟ้า (เปอร์เซ็นต์)
				ด้านหน้าของเลนส์ (วัดต่อตารางเมตร)	รังสีตรง	รังสีกระจาย						
10:00 น.	12.95	1.98	25.40	722	324	1046	48.20	53.32	36.68	0.65	466.30	5.45
10:15 น.	13.00	2.02	26.20	731	382	1113	45.00	58.77	31.23	0.65	472.11	5.55
10:30 น.	13.16	1.96	25.80	725	344	1069	46.60	62.18	27.82	0.65	468.23	5.51
10:45 น.	13.14	1.98	26.00	761	354	1115	45.70	65.54	24.46	0.65	491.48	5.29
11:00 น.	13.11	1.90	24.90	889	380	1269	48.40	68.49	21.51	0.65	574.15	4.34
11:15 น.	13.06	1.80	23.60	957	366	1323	48.50	41.67	48.33	0.65	618.07	3.82
11:30 น.	13.00	1.68	21.90	944	323	1267	49.80	74.65	15.35	0.65	609.67	3.59
11:45 น.	12.97	1.67	21.70	1057	348	1405	49.20	77.31	12.69	0.65	682.65	3.18
12:00 น.	13.09	0.67	8.70	209	127	336	42.80	79.39	10.61	0.65	134.98	6.45
12:15 น.	13.21	1.48	19.60	1062	387	1449	43.00	80.5	9.5	0.65	685.88	2.86
12:30 น.	13.25	1.59	21.10	996	301	1297	46.50	80.31	9.69	0.65	643.26	3.28
12:45 น.	13.06	0.73	9.60	223	135	358	39.30	78.89	11.11	0.65	144.02	6.67
13:00 น.	13.08	1.80	23.50	956	351	1307	46.10	76.61	13.39	0.65	617.42	3.81
13:15 น.	12.02	0.58	7.50	209	111	320	40.50	73.85	16.15	0.65	134.98	5.56
13:30 น.	13.14	1.21	16.20	917	351	1268	46.10	70.8	19.2	0.65	592.24	2.74
13:45 น.	13.20	1.11	14.70	764	298	1062	46.00	67.59	22.41	0.65	493.42	2.98
14:00 น.	13.07	1.08	14.10	830	303	1133	42.50	64.27	25.73	0.65	536.05	2.63
14:15 น.	13.13	1.08	14.20	817	281	1098	51.00	60.89	29.11	0.65	527.65	2.69
14:30 น.	13.09	1.05	13.70	757	278	1035	45.00	57.47	32.53	0.65	488.90	2.80
14:45 น.	12.91	0.53	6.60	732	262	994	42.50	54.01	35.99	0.65	209.25	3.15
15:00 น.	12.91	0.48	6.20	724	255	979	39.80	50.53	39.47	0.65	192.46	3.22

เอกสารนี้เป็นเอกสารที่สงวนไว้สำหรับการใช้งานเพื่อการศึกษาเท่านั้น ไม่อนุญาตให้นำไปใช้ประโยชน์ด้านการค้า
ไม่ว่ากรณีใดๆ ทั้งสิ้น อีกทั้งห้ามมิให้คัดแปลงเนื้อหาและต้องอ้างอิงถึงเจ้าของเอกสารทุกครั้งที่มีการนำไปใช้

ตารางที่ ข.9 แสดงค่าการทดลองโซล่าเซลล์ความเข้มแสงปกติ ในวันที่ 24/05/66

เวลา	แรงดันไฟฟ้า (โวลต์)	กระแสไฟฟ้า (แอมแปร์)	กำลังไฟฟ้า (วัตต์)	ความเข้มแสงออกจากเลนส์ (วัดจาก ด้านบนของเลนส์) (วัตต์ตารางเมตร)			อุณหภูมิ (องศาเซลเซียส)	มุมเอียงจุด (องศา)	มุมเงย (องศา)	พื้นที่แสง (ตาราง เมตร)	พลังงานขาเข้า (Qin) (วัตต์)	ประสิทธิภาพการผลิตไฟฟ้า (เปอร์เซ็นต์)
				รังสีตรง	รังสีกระจาย	รังสีรวม						
10:00 น.	12.91	1.55	20.00	724	559	1283	47.00	55.2	34.85	0.65	467.59	4.28
10:15 น.	12.13	0.73	8.70	250	168	418	44.00	58.6	31.42	0.65	161.46	5.48
10:30 น.	12.43	1.47	18.20	811	333	1144	46.00	62.0	28.04	0.65	523.78	3.49
10:45 น.	13.34	2.10	28.10	1000	368	1368	47.50	65.3	24.71	0.65	645.84	4.34
11:00 น.	13.41	1.95	26.20	975	349	1324	48.00	68.5	21.47	0.65	629.69	4.15
11:15 น.	14.31	1.78	25.40	929	289	1218	47.81	71.6	18.36	0.65	599.99	4.25
11:30 น.	13.04	1.90	24.80	945	353	1298	48.00	74.5	15.47	0.65	610.32	4.06
11:45 น.	13.32	1.71	22.80	958	353	1311	48.00	77.1	12.93	0.65	618.71	3.68
12:00 น.	13.13	1.65	21.60	981	350	1331	48.50	79.0	11.00	0.65	633.57	3.42
12:15 น.	13.23	1.47	19.70	944	306	1250	47.00	80.0	10.04	0.65	609.67	3.19
12:30 น.	13.28	1.40	18.60	958	360	1318	47.50	79.7	10.33	0.65	618.71	3.00
12:45 น.	13.21	1.43	18.90	985	491	1476	48.00	78.2	11.77	0.65	636.15	2.97
13:00 น.	13.32	1.49	19.90	1002	315	1317	47.00	76.0	14.01	0.65	647.13	3.07
13:15 น.	13.28	1.49	19.90	1013	375	1388	46.00	73.3	16.73	0.65	654.24	3.02
13:30 น.	13.20	1.38	18.20	964	382	1346	45.00	70.3	19.73	0.65	622.59	2.93
13:45 น.	13.27	1.26	16.80	889	323	1212	45.60	67.1	22.91	0.65	574.15	2.91
14:00 น.	13.21	1.17	15.50	854	320	1174	46.50	63.8	26.19	0.65	551.55	2.80
14:15 น.	13.04	1.13	14.70	809	283	1092	47.30	60.5	29.55	0.65	522.48	2.82
14:30 น.	13.07	1.03	13.40	764	241	1005	43.00	57.1	32.95	0.65	493.42	2.73
14:45 น.	13.20	0.98	13.00	746	263	1009	45.00	53.6	36.39	0.65	481.80	2.68
15:00 น.	13.16	0.81	10.70	744	246	990	45.00	50.5	39.49	0.65	480.50	2.22

เอกสารนี้เป็นเอกสารที่สงวนไว้สำหรับการใช้งานเพื่อการศึกษาเท่านั้น ไม่อนุญาตให้นำไปใช้ประโยชน์ด้านการค้า
ไม่ว่ากรณีใดๆ ทั้งสิ้น อีกทั้งห้ามมิให้คัดแปลงเนื้อหาและต้องอ้างอิงถึงเจ้าของเอกสารทุกครั้งที่มีการนำไปใช้

ตารางที่ ข.10 แสดงค่าการทดลองโซล่าเซลล์ความเข้มแสงปกติ ในวันที่ 25/05/66

เวลา	แรงดันไฟฟ้า (โวลต์)	กระแสไฟฟ้า (แอมป์)	กำลังไฟฟ้า (วัตต์)	ความเข้มแสงออกจาาเลนส์ (วัดจาก ตำแหน่งของเลนส์ (วัดต่อตารางเมตร)			อุณหภูมิ (องศาเซลเซียส)	มุมอัลติจูด (องศา)	มุมเซทิท (องศา)	พื้นผิว (ตารางเมตร)	พลังงานขาเข้า (Qin) (วัตต์)	ประสิทธิภาพการผลิตไฟฟ้า (เปอร์เซ็นต์)
				รังสีตรง	รังสีกระจาย	รังสีรวม						
10:00 น.	13.43	2.14	28.74	716	295	1011	45.50	55.1	34.90	0.65	462.42	6.22
10:15 น.	13.43	0.81	10.88	225	152	377	38.80	58.51	31.49	0.65	145.31	7.49
10:30 น.	13.43	2.12	28.47	800	378	1178	46.40	61.89	28.11	0.65	516.67	5.51
10:45 น.	13.43	2.05	27.53	832	345	1177	45.70	65.2	24.80	0.65	537.34	5.12
11:00 น.	13.43	1.98	26.59	894	358	1252	47.10	68.43	21.57	0.65	577.38	4.61
11:15 น.	13.43	1.71	22.97	949	365	1314	47.90	71.52	18.48	0.65	612.90	3.75
11:30 น.	13.43	1.76	23.64	970	335	1305	49.70	74.4	15.60	0.65	626.46	3.77
11:45 น.	13.43	1.90	25.52	1031	341	1372	50.20	76.92	13.08	0.65	665.86	3.83
12:00 น.	13.43	1.95	26.19	1026	298	1324	47.60	78.82	11.18	0.65	662.63	3.95
12:15 น.	13.43	1.74	23.37	1010	367	1377	48.00	79.77	10.23	0.65	652.30	3.58
12:30 น.	13.43	1.60	21.49	1020	308	1328	48.00	79.5	10.50	0.65	658.76	3.26
12:45 น.	13.25	1.59	21.07	1080	357	1437	49.80	78.09	11.91	0.65	697.51	3.02
13:00 น.	13.04	0.87	11.34	294	174	468	43.20	75.88	14.12	0.65	189.88	5.97
13:15 น.	13.25	1.49	19.74	988	340	1328	44.00	73.19	16.81	0.65	638.09	3.09
13:30 น.	13.16	1.33	17.50	964	382	1346	44.20	70.2	19.80	0.65	477.92	3.66
13:45 น.	13.13	1.28	16.81	889	323	1212	29.80	67.04	22.96	0.65	580.61	2.89
14:00 น.	0.08	9.80	0.78	854	320	1174	37.30	63.77	26.23	0.65	565.11	0.14
14:15 น.	13.11	1.30	17.04	809	283	1092	35.30	60.43	29.57	0.65	155.65	10.95
14:30 น.	12.75	0.80	10.20	764	241	1005	41.90	57.03	32.97	0.65	142.08	7.18
14:45 น.	12.74	0.73	9.30	746	263	1009	25.30	53.6	36.40	0.65	127.88	7.27
15:00 น.	12.95	1.22	15.80	744	246	990	46.60	50.15	39.85	0.65	348.75	4.53

เอกสารนี้เป็นเอกสารที่สงวนไว้สำหรับการใช้งานเพื่อการศึกษาเท่านั้น ไม่อนุญาตให้นำไปใช้ประโยชน์ด้านการค้า
ไม่ว่ากรณีใดๆ ทั้งสิ้น อีกทั้งห้ามมิให้คัดแปลงเนื้อหาและต้องอ้างอิงถึงเจ้าของเอกสารทุกครั้งที่มีการนำไปใช้

ตารางที่ ข.11 แสดงค่าการทดลองโซล่าเซลล์ความเข้มแสงปกติ ในวันที่ 26/05/66

เวลา	แรงดันไฟฟ้า (โวลต์)	กระแสไฟฟ้า (แอมแปร์)	กำลังไฟฟ้า (วัตต์)	ความเข้มแสงออกจากเลนส์ (วัดจาก ด้านบนของเลนส์) (วัตต์ต่อตารางเมตร)			อุณหภูมิ (องศาเซลเซียส)	มุมอาทิตย์ (องศา)	มุมเงย (องศา)	พื้นที่แผง (ตารางเมตร)	พลังงานขาเข้า (Q _{in}) (วัตต์)	ประสิทธิภาพการผลิตไฟฟ้า (เปอร์เซ็นต์)
				รังสีตรง	รังสีกระจาย	รังสีรวม						
10:00 น.	13.16	1.26	16.6	296	291	587	35.9	55.04	34.96	0.65	191.17	8.67
10:15 น.	13.34	2.24	29.9	839	417	1256	45.9	58.44	31.56	0.65	541.86	5.51
10:30 น.	13.41	1.99	26.7	576	330	906	47.0	61.81	28.19	0.65	372.00	7.17
10:45 น.	13.41	1.99	26.7	918	428	1346	35.1	65.12	24.88	0.65	592.88	4.50
11:00 น.	13.37	1.94	25.9	886	347	1233	45.8	68.33	21.67	0.65	572.21	4.53
11:15 น.	13.32	1.79	23.8	877	334	1211	46.0	71.41	18.59	0.65	566.40	4.21
11:30 น.	13.27	1.63	21.6	848	388	1236	48.8	74.27	15.73	0.65	547.67	3.95
11:45 น.	13.13	1.65	21.7	794	390	1184	46.3	76.76	13.24	0.65	512.80	4.22
12:00 น.	13.32	1.70	22.6	1008	334	1342	48.9	78.65	11.35	0.65	651.01	3.48
12:15 น.	13.28	1.51	20.1	827	374	1201	48.6	79.59	10.41	0.65	534.11	3.75
12:30 น.	13.30	1.68	22.3	1074	343	1417	50.6	79.33	10.67	0.65	693.63	3.22
12:45 น.	13.28	1.65	21.9	1048	314	1362	47.6	77.95	12.05	0.65	676.84	3.24
13:00 น.	13.23	1.61	21.3	1037	338	1375	46.9	75.77	14.23	0.65	669.74	3.18
13:15 น.	13.27	1.51	20.0	827	276	1103	47.6	73.10	16.90	0.65	534.11	3.75
13:30 น.	13.16	1.33	17.5	964	382	1346	44.2	70.14	19.86	0.65	622.59	2.81
13:45 น.	13.13	1.28	16.8	889	323	1212	29.8	67.00	23.00	0.65	574.15	2.93
14:00 น.	0.08	9.80	0.8	854	320	1174	37.3	63.74	26.26	0.65	551.55	0.14
14:15 น.	13.11	1.32	17.3	809	283	1092	35.3	60.40	29.60	0.65	522.48	3.31
14:30 น.	12.75	0.80	10.2	764	241	1005	41.9	57.02	32.98	0.65	493.42	2.07
14:45 น.	12.74	0.73	9.3	746	263	1009	25.3	53.60	36.40	0.65	481.80	1.93
15:00 น.	12.95	1.32	17.1	744	246	990	46.6	50.15	39.85	0.65	474.69	3.60

เอกสารนี้เป็นเอกสารที่สงวนไว้สำหรับการใช้งานเพื่อการศึกษาเท่านั้น ไม่นับผูกพันนำไปใช้ประโยชน์ด้านการค้า
ไม่ว่ากรณีใดๆ ทั้งสิ้น อีกทั้งห้ามมิให้คัดลอกเนื้อหาและต้องอ้างอิงถึงเจ้าของเอกสารทุกครั้งที่มีการนำไปใช้

ตารางที่ ข.12 แสดงค่าการทดลองโซล่าเซลล์ความเข้มแสงปกติ ในวันที่ 29/05/66

เวลา	แรงดันไฟฟ้า (โวลต์)	กระแสไฟฟ้า (แอมแปร์)	กำลังไฟฟ้า (วัตต์)	ความเข้มแสงออกจากรังสี (วัดจาก ตำแหน่งของเลนส์ (วัดต่อตารางเมตร)			อุณหภูมิ (องศาเซลเซียส)	มุมอัตรจุด (องศา)	มุมเงย (องศา)	พื้นที่ พื้นผิว (ตารางเมตร)	พลังงานขาเข้า (Jin) (วัตต์)	ประสิทธิภาพการผลิตไฟฟ้า (เปอร์เซ็นต์)
				รังสีตรง	รังสีกระจาย	รังสีรวม						
10:00 น.	13.07	1.61	21.04	600	428	1028	47.00	54.58	35.42	0.65	387.50	5.43
10:15 น.	13.25	1.79	23.72	721	384	1105	48.00	57.95	32.05	0.65	465.65	5.09
10:30 น.	13.39	1.89	25.31	880	481	1361	48.50	61.26	28.74	0.65	568.34	4.45
10:45 น.	13.40	1.98	26.53	957	482	1439	48.50	64.51	25.49	0.65	618.07	4.29
11:00 น.	13.57	2.12	28.77	1025	464	1489	49.00	67.65	22.35	0.65	661.99	4.35
11:15 น.	13.55	2.14	29.00	1021	459	1480	49.00	70.65	19.35	0.65	659.40	4.40
11:30 น.	13.37	2.22	29.68	1127	395	1522	49.00	73.40	16.60	0.65	727.86	4.08
11:45 น.	13.32	2.27	30.24	1124	341	1465	49.50	75.79	14.21	0.65	725.92	4.17
12:00 น.	13.28	2.34	31.08	1120	324	1444	50.00	77.58	12.42	0.65	723.34	4.30
12:15 น.	13.33	2.43	32.39	1134	359	1493	50.00	78.50	11.50	0.65	732.38	4.42
12:30 น.	13.21	2.38	31.44	1150	361	1511	49.80	78.34	11.66	0.65	742.72	4.23
12:45 น.	13.18	2.32	30.58	1148	322	1470	49.60	77.14	12.86	0.65	741.42	4.12
13:00 น.	12.34	2.39	29.49	1135	375	1510	49.40	75.15	14.85	0.65	733.03	4.02
13:15 น.	12.25	2.35	28.79	1125	366	1491	49.20	72.63	17.37	0.65	726.57	3.96
13:30 น.	12.25	2.31	28.30	1100	358	1458	49.00	69.80	20.20	0.65	710.42	3.98
13:45 น.	12.14	2.30	27.92	1097	343	1440	48.90	66.75	23.25	0.65	708.49	3.94
14:00 น.	12.18	2.26	27.53	1012	337	1349	48.80	63.57	26.43	0.65	653.59	4.21
14:15 น.	12.10	2.22	26.86	1000	327	1327	48.70	60.31	29.69	0.65	645.84	4.16
14:30 น.	12.09	2.16	26.11	989	312	1301	48.50	56.98	33.02	0.65	638.74	4.09
14:45 น.	12.05	2.15	25.91	976	299	1275	48.40	53.60	36.40	0.65	630.34	4.11
15:00 น.	12.00	2.15	25.80	967	289	1256	48.40	50.20	39.80	0.65	624.53	4.13

เอกสารนี้เป็นเอกสารทงสวนเวลาหรบการใชงานเพื่การศึกษาเท่านั้น ไมอนุญาติให้นำไปใชประโยชน์ดานการค้า
ไมวากรณีใดๆ ทั้งสิ้น อีกทั้งยังมีใหัดัดแปลงเนื้อหาและตองอ้างอิงถึงเจ้าของเอกสารทุกครั้งที่มีการนำไปใช

ตารางที่ ข.13 แสดงค่าการทดลองโซล่าเซลล์ความเข้มแสงปกติ ในวันที่ 02/06/66

เวลา	แรงดันไฟฟ้า (โวลต์)	กระแสไฟฟ้า (แอมแปร์)	กำลังไฟฟ้า (วัตต์)	ความเข้มแสงออกจาเซลล์ (วัดจาก ด้านหน้าของเซลล์ (วัดด้วยตารางเมตร)			อุณหภูมิ (องศาเซลเซียส)	มุมเอียงจุด (องศา)	มุมเงย (องศา)	พื้นที่แผง (ตารางเมตร)	พลังงานขาเข้า (Qin) (วัตต์)	ประสิทธิภาพการผลิตไฟฟ้า (เปอร์เซ็นต์)
				รังสีตรง	รังสีกระจาย	รังสีรวม						
10:00 น.	13.07	2.21	42.46	600	428	1028	47.00	54.58	35.42	0.65	387.50	10.96
10:15 น.	13.25	2.12	41.29	721	384	1105	48.00	57.95	32.05	0.65	465.65	8.87
10:30 น.	13.39	2.30	45.27	880	481	1361	48.50	61.26	28.74	0.65	568.34	7.97
10:45 น.	13.40	2.31	45.50	957	482	1439	48.50	64.51	25.49	0.65	618.07	7.36
11:00 น.	13.57	2.42	48.27	1025	464	1489	49.00	67.65	22.35	0.65	661.99	7.29
11:15 น.	13.55	2.34	46.61	1021	459	1480	49.00	70.65	19.35	0.65	659.40	7.07
11:30 น.	13.37	1.92	37.74	1127	395	1522	49.00	73.40	16.60	0.65	727.86	5.18
11:45 น.	13.32	1.81	35.44	1000	341	1341	49.50	75.79	14.21	0.65	645.84	5.49
12:00 น.	13.28	1.63	31.82	1120	324	1444	48.00	77.58	12.42	0.65	723.34	4.40
12:15 น.	13.33	1.54	30.18	1089	359	1448	48.50	78.50	11.50	0.65	703.32	4.29
12:30 น.	13.09	1.90	36.56	1150	361	1511	48.50	78.34	11.66	0.65	742.72	4.92
12:45 น.	13.21	1.49	28.93	1141	322	1463	49.00	77.14	12.86	0.65	736.90	3.93
13:00 น.	12.34	1.54	27.94	900	375	1275	47.00	75.15	14.85	0.65	581.26	4.81
13:15 น.	12.25	1.32	23.77	756	243	999	38.00	72.63	17.37	0.65	488.26	4.87
13:30 น.	12.25	1.12	20.17	142	75	217	32.00	69.80	20.20	0.65	91.71	21.99
13:45 น.	12.14	0.30	5.35	98	32	130	26.00	66.75	23.25	0.65	63.29	8.46
14:00 น.	12.18	0.03	0.54	0	0	0	25.00	63.57	26.43	0.65	0.00	0.00
14:15 น.	12.09	0.03	0.53	0	0	0	24.00	60.31	29.69	0.65	0.00	0.00
14:30 น.	12.00	0.03	0.53	0	0	0	23.00	56.98	33.02	0.65	0.00	0.00
14:45 น.	12.00	0.03	0.53	0	0	0	23.00	53.60	36.40	0.65	0.00	0.00
15:00 น.	12.00	0.03	0.53	0	0	0	22.00	50.20	39.80	0.65	0.00	0.00

เอกสารนี้เป็นเอกสารทงสวนเวลาหรบการใชงานเพื่การศึกษาเท่านั้น ไมอนุญาติให้นำไปใชประโยชน์ใดๆ ทั้งสิ้น อีกทั้งห้ามมิให้ดัดแปลงเนื้อหาและต้องอ้างอิงถึงเจ้าของเอกสารทุกครั้งที่มีการนำไปใช้

ตารางที่ ข.14 แสดงผลประสิทธิภาพการผลิตไฟฟ้า ในวันที่ 21/05/66

ประสิทธิภาพการผลิตกระแสไฟฟ้าของการทดลอง วันที่ 21.05.66								
	ความเข้มแสงอาทิตย์สูงสุด (รังสีตรง) (วัตต์ต่อตารางเมตร)	ความเข้มแสงอาทิตย์ต่ำสุด (รังสีตรง) (วัตต์ต่อตารางเมตร)	กำลังไฟสูงสุด (วัตต์)	กำลังไฟที่ต่ำสุด (วัตต์)	อุณหภูมิสูงสุด (องศาเซลเซียส)	อุณหภูมิต่ำสุด (องศาเซลเซียส)	ประสิทธิภาพสูงสุด (%)	ประสิทธิภาพต่ำสุด (%)
ความเข้มชั้นสูง	1270	160	26.60	3.10	51.20	39.80	4.46	1.54
ความเข้มชั้นปกติ	1062	209	26.20	6.20	51.00	39.30	6.67	2.63

ตารางที่ ข.15 แสดงผลประสิทธิภาพการผลิตไฟฟ้า ในวันที่ 24/05/66

ประสิทธิภาพการผลิตกระแสไฟฟ้าของการทดลอง วันที่ 24.05.66								
	ความเข้มแสงอาทิตย์สูงสุด (รังสีตรง) (วัตต์ต่อตารางเมตร)	ความเข้มแสงอาทิตย์ต่ำสุด (รังสีตรง) (วัตต์ต่อตารางเมตร)	กำลังไฟสูงสุด (วัตต์)	กำลังไฟที่ต่ำสุด (วัตต์)	อุณหภูมิสูงสุด (องศาเซลเซียส)	อุณหภูมิต่ำสุด (องศาเซลเซียส)	ประสิทธิภาพสูงสุด (%)	ประสิทธิภาพต่ำสุด (%)
ความเข้มชั้นสูง	1295	270	27.39	270	52.50	45.00	7.69	2.62
ความเข้มชั้นปกติ	1013	250	28.01	8.85	48.50	43.00	5.48	2.22

ตารางที่ ข.16 แสดงผลประสิทธิภาพการผลิตไฟฟ้า ในวันที่ 25/05/66

ประสิทธิภาพการผลิตกระแสไฟฟ้าของการทดลอง วันที่ 25.05.66								
	ความเข้มแสงอาทิตย์สูงสุด (รังสีตรง) (วัตต์ต่อตารางเมตร)	ความเข้มแสงอาทิตย์ต่ำสุด (รังสีตรง) (วัตต์ต่อตารางเมตร)	กำลังไฟสูงสุด (วัตต์)	กำลังไฟที่ต่ำสุด (วัตต์)	อุณหภูมิสูงสุด (องศาเซลเซียส)	อุณหภูมิต่ำสุด (องศาเซลเซียส)	ประสิทธิภาพสูงสุด (%)	ประสิทธิภาพต่ำสุด (%)
ความเข้มชั้นสูง	1391	214	25.18	1.26	51.10	27.90	7.82	0.21
ความเข้มชั้นปกติ	1080	198	28.74	0.78	50.20	25.30	10.95	0.14

ตารางที่ ข.17 แสดงผลประสิทธิภาพการผลิตไฟฟ้า ในวันที่ 26/05/66

ประสิทธิภาพการผลิตกระแสไฟฟ้าของการทดลอง วันที่ 26.05.66								
	ความเข้มแสงอาทิตย์สูงสุด (รังสีตรง) (วัตต์ต่อตารางเมตร)	ความเข้มแสงอาทิตย์ต่ำสุด (รังสีตรง) (วัตต์ต่อตารางเมตร)	กำลังไฟสูงสุด (วัตต์)	กำลังไฟที่ต่ำสุด (วัตต์)	อุณหภูมิสูงสุด (องศาเซลเซียส)	อุณหภูมิต่ำสุด (องศาเซลเซียส)	ประสิทธิภาพสูงสุด (%)	ประสิทธิภาพต่ำสุด (%)
ความเข้มชั้นสูง	1420	328	27.26	14.08	54.50	37.20	6.65	2.57
ความเข้มชั้นปกติ	1074	296	29.88	0.78	50.60	29.80	8.67	0.14

เอกสารนี้เป็นเอกสารที่สงวนไว้สำหรับการใช้งานเพื่อการศึกษาเท่านั้น ไม่อนุญาตให้นำไปใช้ประโยชน์ด้านการค้า
ไม่ว่ากรณีใดๆ ทั้งสิ้น อีกทั้งห้ามมิให้ตัดแปลงเนื้อหาและต้องอ้างอิงถึงเจ้าของเอกสารทุกครั้งที่มีการนำไปใช้

ตารางที่ ข.18 แสดงผลประสิทธิภาพการผลิตไฟฟ้า ในวันที่ 29/05/66

ประสิทธิภาพการผลิตกระแสไฟฟ้าของการทดลอง วันที่ 29.05.66								
	ความเข้มแสงอาทิตย์สูงสุด (รังสีตรง) (วัตต์ต่อตารางเมตร)	ความเข้มแสงอาทิตย์ต่ำสุด (รังสีตรง) (วัตต์ต่อตารางเมตร)	กำลังไฟฟ้าสูงสุด (วัตต์)	กำลังไฟฟ้าต่ำสุด (วัตต์)	อุณหภูมิสูงสุด (องศาเซลเซียส)	อุณหภูมิต่ำสุด (องศาเซลเซียส)	ประสิทธิภาพสูงสุด (%)	ประสิทธิภาพต่ำสุด (%)
ความเข้มชั้นสูง	1248	641	50.35	41.18	54.80	50.00	10.11	5.86
ความเข้มชั้นปกติ	1150	600	32.59	21.04	50.00	47.00	5.43	3.94

ตารางที่ ข.19 แสดงผลประสิทธิภาพการผลิตไฟฟ้า ในวันที่ 02/06/66

ประสิทธิภาพการผลิตกระแสไฟฟ้าของการทดลอง วันที่ 02.06.66								
	ความเข้มแสงอาทิตย์สูงสุด (รังสีตรง) (วัตต์ต่อตารางเมตร)	ความเข้มแสงอาทิตย์ต่ำสุด (รังสีตรง) (วัตต์ต่อตารางเมตร)	กำลังไฟฟ้าสูงสุด (วัตต์)	กำลังไฟฟ้าต่ำสุด (วัตต์)	อุณหภูมิสูงสุด (องศาเซลเซียส)	อุณหภูมิต่ำสุด (องศาเซลเซียส)	ประสิทธิภาพสูงสุด (%)	ประสิทธิภาพต่ำสุด (%)
ความเข้มชั้นสูง	1248	6	30.50	0.36	54.00	23.00	17.48	0.00
ความเข้มชั้นปกติ	1150	6	48.27	0.53	49.50	22.00	21.99	0.00

เอกสารนี้เป็นเอกสารที่สงวนไว้สำหรับการใช้งานเพื่อการศึกษาเท่านั้น ไม่อนุญาตให้นำไปใช้ประโยชน์ด้านการค้า
ไม่ว่ากรณีใดๆ ทั้งสิ้น อีกทั้งห้ามมิให้ตัดแปลงเนื้อหาและต้องอ้างอิงถึงเจ้าของเอกสารทุกครั้งที่มีการนำไปใช้

ประวัติผู้เขียน



ชื่อ-นามสกุล นายพลพีร์ คงพินิจ
 วัน เดือน ปีเกิด วันที่ 13 พฤษภาคม พ.ศ. 2542
 ภูมิลำเนา จังหวัดนครศรีธรรมราช
 ที่อยู่ บ้านเลขที่ 53/1 หมู่ 3 ถนนปากกล้วยสมอชัย
 ตำบลมะม่วงสองต้น อำเภอเมือง จังหวัด
 นครศรีธรรมราช 80000
 E-mail 62201119@KMITL.AC.TH

- ประวัติการศึกษา
- สำเร็จการศึกษาระดับมัธยมศึกษาตอนปลาย (วิทย์-คณิต) ปีการศึกษา 2559 จากโรงเรียนศรีธรรมราชศึกษา (English Program)
 - สำเร็จการศึกษาระดับปริญญาตรี วิศวกรรมศาสตรบัณฑิต (วิศวกรรมเครื่องกลเกษตรและอาหาร) ปีการศึกษา 2565 จากสถาบันเทคโนโลยีพระจอมเกล้าเจ้าคุณทหารลาดกระบัง วิทยาเขตชุมพรเขตรอุดมศักดิ์ จังหวัดชุมพร
- ผลงานและกิจกรรม
- นักศึกษาฝึกงานที่บริษัท S.V. Interglass

เอกสารนี้เป็นเอกสารที่สงวนไว้สำหรับการใช้งานเพื่อการศึกษาเท่านั้น ไม่อนุญาตให้นำไปใช้ประโยชน์ด้านการค้า ไม่ว่ากรณีใดๆ ทั้งสิ้น อีกทั้งห้ามมิให้ตัดแปลงเนื้อหาและต้องอ้างอิงถึงเจ้าของเอกสารทุกครั้งที่มีการนำไปใช้

ประวัติผู้เขียน



ชื่อ-นามสกุล นายศิวกร วงศ์ช่วยสุข
 วัน เดือน ปีเกิด วันที่ 14 มกราคม พ.ศ. 2542
 ภูมิลำเนา จังหวัด นครศรีธรรมราช
 ที่อยู่ บ้านเลขที่ 133 หมู่ 4 ถนนอัครวิถึ
 ตำบล ขนอม อำเภอ ขนอม
 จังหวัด นครศรีธรรมราช 80210
 E-mail Sivakornohm@gmail.com

ประวัติการศึกษา

สำเร็จการศึกษาระดับมัธยมศึกษาตอนปลาย (วิทย์-คณิต)
 ปีการศึกษา 2559 จากโรงเรียนศรีธรรมราชศึกษา (วิทย์-คณิต)
 สำเร็จการศึกษาระดับปริญญาตรี วิศวกรรมศาสตรบัณฑิต
 (วิศวกรรมเครื่องกลเกษตรและอาหาร) ปีการศึกษา 2566 จาก
 สถาบันเทคโนโลยีพระจอมเกล้าเจ้าคุณทหารลาดกระบัง วิทยา
 เขตชุมพรเขตอุดมศักดิ์ จังหวัดชุมพร

ผลงานและกิจกรรม

นักศึกษาฝึกงานที่บริษัท S.V. Interglass

เอกสารนี้เป็นเอกสารที่สงวนไว้สำหรับการใช้งานเพื่อการศึกษาเท่านั้น ไม่อนุญาตให้นำไปใช้ประโยชน์ด้านการค้า
 ไม่ว่ากรณีใดๆ ทั้งสิ้น อีกทั้งห้ามมิให้ตัดแปลงเนื้อหาและต้องอ้างอิงถึงเจ้าของเอกสารทุกครั้งที่มีการนำไปใช้